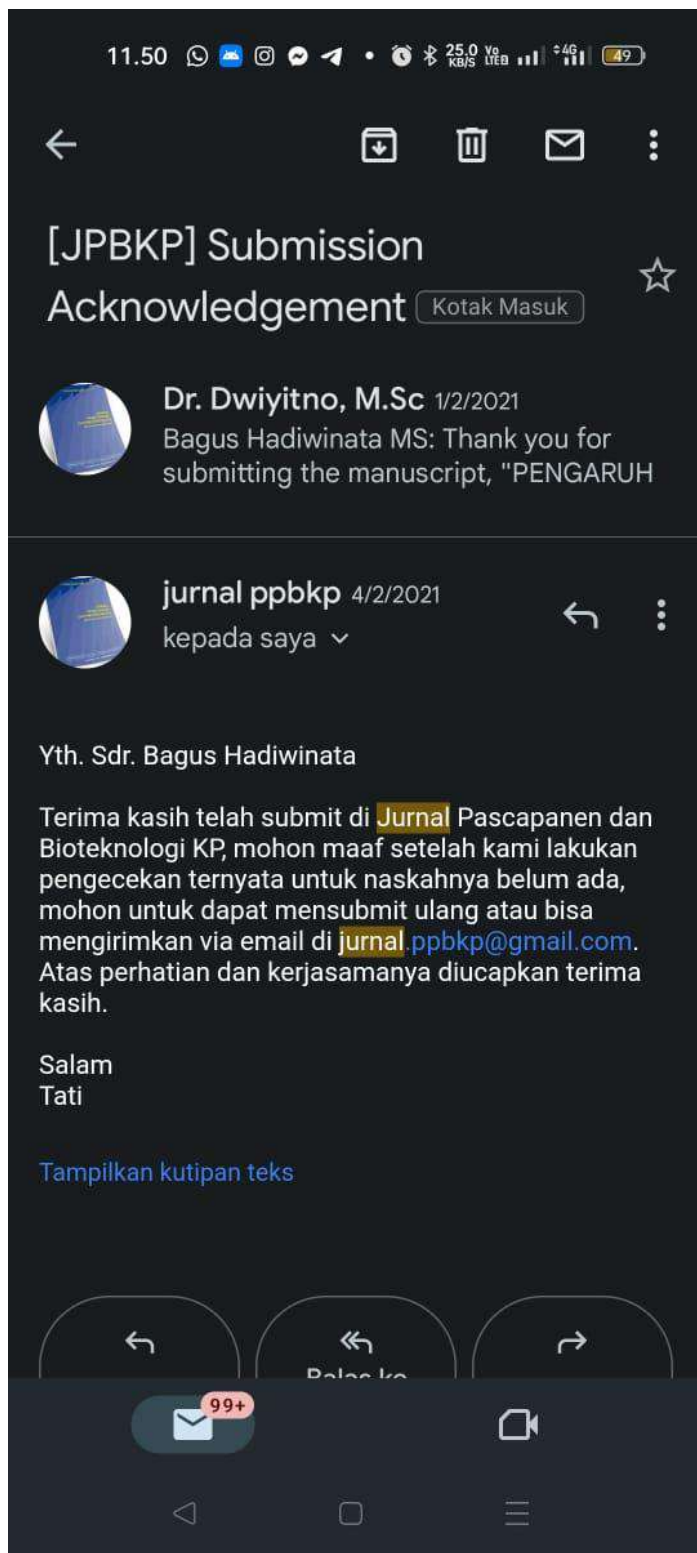


1. Bukti Submission acknowledgment tgl 01/02/2021



**EVALUASI MITRA BESTARI**  
**JURNAL PASCAPANEN DAN BIOTEKNOLOGI KELAUTAN DAN PERIKANAN**

**Judul Naskah :** PENGARUH SUHU DAN WAKTU KALSINASI TERHADAP KARAKTERISTIK TEPUNG KALSIUM OKSIDA (CaO) DARI CANGKANG RAJUNGAN (*Portunus sp.*) SEBAGAI BAHAN BAKU HIDROKSIAPATIT

**Reviewer :**

Mohon **Reviewer** menuliskan seluruh komentarnya dalam form ini (bukan di naskah), agar memudahkan redaksi dan penulis dalam menelaah kesesuaian antara saran dan perbaikan yang harus dilakukan penulis.

Bagian Naskah		Saran Reviewer	Tanggapan Penulis
<b>Komentar Umum</b>		Secara umum saran dari reviewer sudah terakomodasi, tetapi ada beberapa bagian yang perlu ditambahkan	
1. <b>Judul</b>			
2. <b>Abstrak</b>	<ul style="list-style-type: none"> <li>• Tambahkan hasil analisis statistiknya apakah perlakuan suhu dan waktu berpengaruh</li> </ul>		
3. <b>Pendahuluan</b>	<ul style="list-style-type: none"> <li>• </li> </ul>		
4. <b>Bahan dan Metode</b>	<ul style="list-style-type: none"> <li>• Perlu mempertimbangkan analisis statistiknya menggunakan ANOVA one way sehingga terlihat perlakuan mana yang terbaik</li> </ul>		
5. <b>Hasil dan Pembahasan</b>	<ul style="list-style-type: none"> <li>• Beberapa Tabel dan Gambar (Tabel 2 dan Gambar 2; Tabel 4 dan Gambar 5) memiliki interpretasi yang sama, pilih salah satu dalam menampilkan</li> <li>• Tambahkan standar eror pada gambar grafik dan anotasi statistiknya sehingga pembaca bisa langsung mengetahui perbedaan masing-masing perlakuan tanpa harus melihat teks hasil</li> <li>• Begitu juga pada Tabel, tambahkan anotasi statistiknya sehingga pembaca bisa langsung mengetahui perbedaan masing-masing perlakuan tanpa harus melihat teks hasil</li> <li>• Pernyataan pada hasil 3.3 Rendemen CaO bertolak belakang dengan hasil analisis statistiknya “Rendemen berat tepung CaO menunjukkan, semakin tinggi suhu</li> </ul>		

		dan waktu kalsinasi, maka nilai rendemen akan semakin kecil.”, sedangkan hasil ANOVA tidak berbeda nyata	
6.	<b>Kesimpulan</b>	•	
7.	<b>Daftar Pustaka</b>	Mohon reviewer dapat menelaah penjelasan penulis mengenai: •	
<b>Rekomendasi dari Reviewer</b>	Berdasarkan dari penelaahan ini, maka disarankan naskah ini untuk : 1. Dapat diterima dengan koreksi minor 2. <b>Dapat diterima dengan koreksi mayor</b> 3. Tidak layak untuk dipublikasi		
	<b>Komentar khusus ke <i>Section</i> dan <i>Chief editor</i> (Tidak akan diteruskan ke penulis):</b>		

Tanggal : .... - ..... - 2020

Reviewer.

---

**EVALUASI MITRA BESTARI**  
**JURNAL PASCAPANEN DAN BIOTEKNOLOGI KELAUTAN DAN PERIKANAN**

**Judul Naskah :** PENGARUH SUHU DAN WAKTU KALSINASI TERHADAP KARAKTERISTIK TEPUNG KALSIUM OKSIDA (CaO) DARI CANGKANG RAJUNGAN (*Portunus sp.*) SEBAGAI BAHAN BAKU HIDROKSIAPATIT

**Reviewer :**

Mohon **Reviewer** menuliskan seluruh komentarnya dalam form ini (bukan di naskah), agar memudahkan redaksi dan penulis dalam menelaah kesesuaian antara saran dan perbaikan yang harus dilakukan penulis.

Bagian Naskah	Saran Reviewer	Tanggapan Penulis
<b>Komentar Umum</b>	Secara umum naskah sudah bagus/sesuai kesesuaian alur justifikasi dalam pendahuluan dan pembuktian secara ilmiah dalam pembahasan dan data yang disajikan oleh penulisan cukup banyak. Namun banyak hal terkait metode, hasil, pembahasan dan penulisan yang perlu ditulis ulang. Beberapa penulisan kalimat belum mengikuti S+P+O+K. Penggunaan statistik perlu dikaji ulang. Detail mengenai komponen yang perlu diperbaiki, harap melihat naskah.	
1. <b>Judul</b>	Sudah sesuai dengan naskah	
2. <b>Abstrak</b>	<ul style="list-style-type: none"> <li>Beberapa kalimat pada abstrak masih perlu diperbaiki, kalimat di dalam abstrak banyak yang rancu (L11-12, L15, L17, L21)</li> <li>Pada abstrak baris pertama, tujuan penelitian untuk pengembangan prosedur atau mendapatkan CaO dari cangkang rajungan berdasarkan variasi waktu dan suhu V<sub>kalsinasi</sub>, disamakan dengan pada bagian pendahuluan</li> <li>Abstrak pada bahasa Inggris mengikuti perbaikannya</li> </ul>	<ul style="list-style-type: none"> <li>Kalimat abstrak sudah diperbaiki untuk L11-15, L15, L17, dan L21</li> <li>Tujuan penelitian sudah diperbaiki sesuai saran reviewer</li> <li>Abstrak bahasa Inggris sudah diperbaiki dan disesuaikan dengan abstrak yang terbaru</li> </ul>
3. <b>Pendahuluan</b>	<p>Pada bagian pendahuluan perlu diperbaiki pada beberapa bagian</p> <ul style="list-style-type: none"> <li>Riset ini menggunakan cangkang rajungan bukan daging rajungan, sebaiknya kalimat awal muncul mengenai cangkang rajungan, sebagai limbah atau samping industri pengalengan kepiting. Dan</li> </ul>	<ul style="list-style-type: none"> <li>Kalimat awal sudah diperbaiki dengan menceritakan cangkang rajungan dan potensinya (L35-L50)</li> </ul>

	<p>sebutkan potensinya sebagai bahan baku hidroksiapatit (L42-L58)</p> <ul style="list-style-type: none"> <li>• Idealnya pada bagian akhir paragraf menjelaskan bahwa suhu kalsinasi sangat tergantung pada tipe sampel atau efisiensi suhu (L 95-96).</li> <li>• Data ini menunjukkan bahwa suhu kalsinasi pada cangkang kepiting dilakukan pada suhu 1000 °C, Kenapa pada penelitian ini melakukan pada suhu 700 dan 800 °C, yang merupakan suhu kalsinasi sedang ? . Atau mungkin jelaskan bahwa pada cangkang rajungan belum ada yang melakukan kalsinasi suhu sedang dan informasi mengenai karakteristik hasil kalsinasinya belum pernah dilaporkan (L 97-95)</li> <li>• Harap cek lagi, kalimat ini membingungkan. Apakah tujuan penelitian ini untuk mendapatkan tepung CaO terbaik, atau untuk menemukan suhu dan waktu kalsinasi yang sesuai sehingga diperoleh tepung kalsinasi yang optimal (L107-108)</li> <li>• Paragraf 4 tertuliskan sumber buka lapak, 2020 namun di daftar pustaka tidak ada</li> </ul>	<ul style="list-style-type: none"> <li>• Suhu kalsinasi sudah menjelaskan tergantung tipe sampel dan efisiensi suhu pada L79-82</li> <li>• Alasan pemakaian suhu sedang pada kalsinasi sudah ditambahkan pada L91-92</li> <li>• Tujuan penelitian ini adalah untuk mendapatkan tepung CaO terbaik di L95-97</li> <li>• Sumber buka lapak sudah dihapuskan, karena tidak mengandung unsur sumber ilmiah, diganti dengan sumber Henggu, Ibrahim, &amp; Suptijah, 2019 (L46-48)</li> </ul>
4.	<p><b>Bahan dan Metode</b></p> <p>Penggunaan beberapa alat perlu disebutkan secara jelas, merek, jenis dan asal negara serta informasi lainnya apabila ada</p> <ul style="list-style-type: none"> <li>• Penulisan mesin blender Philips belanda kurang lengkap. ditambahkan kecepatan berapa rpm</li> <li>• Kata biasa pada kertas saring dihapus</li> <li>• Alat yang digunakan untuk penepungan, kalsinasi harus disebutkan dengan jelas dilekapi dengan informasi seris, merek dan negara. Untuk kalsinasi harus dilekapi dengan presisi alat yang digunakan (L125-126)</li> <li>• Proses kalsinasi dilakukan pada suhu tinggi, sebutkan alatnya apa</li> </ul>	<ul style="list-style-type: none"> <li>• Penulisan blender Philips sudah dilengkapi serinya dan kecepatannya (L110-112)</li> <li>• Kata biasa pada kertas saring sudah dihapuskan (L113-114)</li> <li>• Mesin untuk kalsinasi sudah dilengkapi series, merek dan Negara (L114-115)</li> <li>• Penanganan tepung CaO setelah kalsinasi sudah</li> </ul>

	<p>dikuti dengan perusahaan dan negara asal jika ada.. Kemudian apakah ada proses pendingin setelah kalsinasi ?. Harap dilengkapi metodenya (L118-L128)</p> <ul style="list-style-type: none"> <li>• Bagaimana perlakuan sampel setelah di kalsinasi ? (L127)</li> <li>• Harap cek cara penulisan penggunaan FTIR, biasanya disebutkan sampel di analisa dengan menggunakan FTIR pada bilangan gelombang xxx-xx dengan resolusi (L135-137)</li> <li>• Kata detektor dihapus diganti dengan bilangan gelombang IR tengah</li> <li>• Prosedur ini biasa disebut pembuatan pellet KBR, metode ini perlu diperbaiki. Lihat referensi cara menjelaskan metode preparasi dan pengujian sampel dengan FTIR. Sebutkan series FTIR yang digunakan diikuti oleh perusahaan dan negara asal di dalam kurung (L139-142)</li> <li>• Rubah urutan dari proses foto SEM, baru EDS (L143 dan L151)</li> <li>• Harap pastikan jumlah sampel yang digunakan, apakah diukur, bayangan saya 2 g sample calcium kering itu akan sangat banyak (L152-153).</li> <li>• Proses analisis kandungan Elemental dilakukan dengan menggunakan EDS, dengan pendekatan semu kualitatif, autor harus menjelaskan apakah rasio itu berdasarkan nilai massa, atau jumlah atom. Bisa lihat penjelasan seperti contoh pada paper ini (<a href="#">(19).pdf (upm.edu.my)</a> (L149-150))</li> <li>• Hasil foto SEM pada pembesaran 2000 tidak ada di bagian Hasil dan Pembahasan (L157).</li> <li>• Rumus untuk Analisa derajat kristalinitas tidak jelas, perlu dilengkapi (L164-165)</li> </ul>	<p>ditulis di L120-121</p> <ul style="list-style-type: none"> <li>• Perlakuan sampel setelah kalsinasi sudah dijelaskan di L120-L121</li> <li>• Penulisan penggunaan analisa FTIR sudah diperbaiki (L135-136)</li> <li>• Kata detector sudah dihilangkan dengan bilangan gelombang</li> <li>• Prosedur FTIR sudah diperbaiki (L1133-141)</li> <li>• Urutan proses foto SEM ke EDS sudah dirubah (142-158)</li> <li>• Jumlah sampel sudah diganti 2 mg (L137)</li> <li>• Analisis Elemental hanya menggunakan jumlah massa saja yang terbaca dalam EDS, dan tidak menghitung antar rasio elemental.</li> <li>• Pembesaran dengan SEM hanya memakai pembesaran 1000, untuk 2000 sudah dihapus (L148)</li> <li>• Rumus analisa derajat kristalinitas sudah diperbaiki dengan menambahkan keterangan</li> </ul>
--	--	---

		<ul style="list-style-type: none"> <li>Apakah data pada papar ini dilakukan dengan menggunakan Analisa statistik ? bagian mana yang dilakukan analisa statistik. Apakah dilakukan perhitungan Analisa standar deviasi, standar eror?, dibagikan mana besaran standar deviasi dan standar eror itu dilaporkan. Harap ini dicek Kembali (L 167-160).</li> <li>Tambahkan tujuan penggunaan alat karakterisasi pada setiap poin subbabnya</li> </ul>	<ul style="list-style-type: none"> <li>rumus (L165-168)</li> <li>Penulisan metode analisa statistik sudah diperbaiki (L169-174)</li> <li>Tujuan setiap alat sudah ditambahkan</li> </ul>
5.	<b>Hasil dan Pembahasan</b>	<p>Beberapa bagian pada hasil dan pembahasan perlu diperbaiki baik dari segi pencantuman hasil, gambar, statistik maupun pembahasannya. Biasakan menunjukan hasil terlebih dahulu lalu dibahas bagaimana hasilnya</p> <ul style="list-style-type: none"> <li>Tabel 1, Harap menambahkan keterangan data sebagai standar deviasi atau standar eror, dan berapa ulangan (L174-176).</li> <li>Apa yang dimaksud oleh author dengan representative, terhadap apa ?. Kalimat ini tidak efektif, dan berulang-ulang (L177-178)</li> <li>Memiliki sedikit kadar lemak, atau memiliki sedikit lemak ? (L179-180)</li> <li>Apakah penulis membandingkan kadar abu dan kadar lemak pada Tabel 1? (L181-L183).</li> <li>Harap menggunakan frase yang lebih tepat, kadar abur lebih tinggi ? (L185)</li> <li>Kesimpulan ini terlalu cepat untuk ditaruh di bagian bahan baku, harusnya pada tahap ini masih membahas kemungkinan penggunaan cangkang rajungan sebagai bahan baku hidroksiapatit (L191-193)</li> <li>Sebaiknya gambar diberi anotasi A, B, C , D dan bagian bawah dekat</li> </ul>	<ul style="list-style-type: none"> <li>Pada tabel 1, sudah ditambahkan keterangan standard error dan jumlah pengulangan (L181)</li> <li>Kata-kata representative sudah dihapus untuk menghilangkan kerancuan kalimat (L182)</li> <li>Kalimat memiliki sedikit kadar lemak, sudah diganti sedikit lemak (L182)</li> <li>Kalimat membandingkan kadar abu dengan kadar lemak sudah diganti menjadi “kadar abu dibandingkan kadar proksimat lainnya”. (L185-186)</li> <li>Kata lebih tinggi diganti dengan lebih besar pada kadar abu (L186)</li> <li>Kalimat terakhir pada bahan baku, sudah diganti dengan , kalsium pada cangkang rajungan memungkinkan dijadikan bubuk hidroksiapatit dengan menambahkan prekursor fosfat. (L194-195)</li> <li>Gambar sudah diberikan anotasi dan diberikan</li> </ul>

	<ul style="list-style-type: none"> <li>judul diberi keterangan sampel (L197-199)</li> <li>Penulis perlu membedakan dengan jelas apakah itu kalsinasi dan apa produk kalsinasi. Kalsinasi adalah proses, CaO adalah produk klasinasi (L200)</li> <li>Serbuk cangkang apa hasil kalsinasi ?, karena di metode dijelaskan ada proses pembuatan serbuk cangkang (L201-202)</li> <li>Perhitungan rendemen tepung CaO belum disebutkan dimetodologi, apakah dari berat Cangkang, tepung cangkang? atau cangkang basah? (L214-215)</li> <li>Sebikanya author menyebutkan hasil terlebih dahulu, diikuti dengan diskusi dan kesimpulan dari tiap parameter nya (L 215-225)</li> <li>Penulis mengklaim menggunakan statistik, berapa jumlah ulangan yang dilakukan pada penelitian ini ? apakah cukup untuk melakukan two way ANOVA, two way anova idealnya melihatkan interaksi (L224-L225)</li> <li>Penggunaan tidak begitu berpengaruh tidak tepat dalam term statistik, harunya tidak berbeda nyata atau berbeda nyata (L224)</li> <li>Data belum dilengkapi dengan standar deviasi dan standar eror, seperti yang diklaim di bagian metode. Dan informasi mengenai jumlah ulangan (L226-229)</li> <li>Sebaiknya gambar diberi anotasi A, B, C , D dan bagian bawah dekat judul diberi keterangan sampel. Letakan gambar dalam satu grafik, cek paper yang banyak menggabung FTIR. Tambahkan garis penanda sidik ragam pada bilangan gelombang spesifik (L230-L31)</li> <li>Pada gambar FTIR, setiap puncaknya tambahkan gugus molekulnya (OH, C-C, dll) tidak hanya bilangan gelombangnya sehingga informasinya lebih lengkap</li> <li>Di bagian atas penulis menyebutkan</li> </ul>	<ul style="list-style-type: none"> <li>keterangan (L197-198)</li> <li>Kalimat sudah dirubah menjadi tepung CaO (L200-204)</li> <li>Maksud dari kalimat tersebut adalah tepung CaO dan sudah diperbaiki kalimatnya (L200-204)</li> <li>Perhitungan rendemen telah disebutkan dalam metodologi (L129-132)</li> <li>Penulis sudah menyebutkan hasil diikuti pembahasan</li> <li>Penulis sudah memperbaiki kalimat jumlah ulangan dan melakukan uji statistic anova (L221-223)</li> <li>Penggunaan kalimat tidak begitu pengaruh sudah diganti dengan tidak berbeda nyata (L221-223)</li> <li>Data sudah dilengkapi standard error (L225-228)</li> <li>Gambar sudah diberikan anotasi dan keterangan (L229-232)</li> <li>Gambar sudah dilengkapi informasi gugus fungsinya (L234-235)</li> <li>Pada bab FTIR sudah</li> </ul>
--	--	---

	<p>kalsinasi adalah proses penghilangan senyawa organik dan CaO dapat ditambahkan dengan Fosfat untuk memperoleh hidroksiapatit.. Sebaiknya pembahasan hasil FTIR juga membahas bilangan gelombang posisi Ca, hilang senyawa carbon.</p> <ul style="list-style-type: none"> <li>• Cara pembahasan FTIR ini tidak umum, biasanya FTIR membahas bilangan gelombang dengan gugus apa yang dideteksi Cek papar yang membahas FTIR hidroksiapatit</li> <li>• Apakah ini 1089,15; 1048,30; 962,34; 873,96; 712,55; 603,84; serta 570,89 cm semua penanda phosphate ? (L233-L259)</li> <li>• Apakah OH ini karena sifat sampel yang hidroskopik bagaimana penanganan sampel, tambahkan di metodologi. Karena ir sudah pasti menguap pada suhu 800oC (L257-259).</li> <li>• Sebaiknya gambar diberi anotasi A, B, C , D dan bagian bawah dekat judul diberi keterangan sampel Hasil pembesaran 2000 seperti yang disebutkan di metodologi tidak ada ? (L265-268). Bagaimana melihat tajamnya CaO yang dihasilkan? (272-L273)</li> <li>• Penulis haru memberikan karangan dengan jelas, apakah presentasi yang dipakai ini berdasarkan rasio masa atau jumlah atom? (L279-280)</li> <li>• Apa yang dimaksud dengan kenaikan stabil ?. Harap cek paper lain cara melaporkan hasil ANOVA two way, bagaiman interaksinya ? (L284)</li> <li>• Dengan dus suhu 700 dan 800oC ini tidak relevant, Harap cek Paper lain cara melaporkan (L285)</li> <li>• Apa yang dimaksud dengan kenaikan stabil ?, Harap cek paper lain cara melaporkan hasil ANOVA two way, bagaiman interaksinya ?</li> </ul>	<p>disebutkan pembahasan gelombang Ca yang hilang (L253-262)</p> <ul style="list-style-type: none"> <li>• Pembahasan FTIR sudah diperbaiki</li> <li>• Bilangan gelombang kurang dari 1000 sudah dihapus karena yang termasuk phosfat, karena bilangan fosfat antara 1000-1100 cm<sup>-1</sup> (Riyanto &amp; Maddu, 2014) (L238-251)</li> <li>• Sebab munculnya OH sudah dijelaskan (L269-272)</li> <li>• Gambar sudah diberi anotasi dan keterangan. Keterangan pembesaran sudah direvisi dengan 1000 kali (L280-283)</li> <li>• Uji analisa presentasi menggunakan jumlah massa yang terbaca dari aplikasi EDS (L296-297)</li> <li>• Kata kenaikan stabil sudah dihapus, dan sudah dilakukan revisi cara pelaporan interaksi ANOVA (L298-304)</li> <li>• Kalimat sudah dirubah pada cara pelaporan (L302-304)</li> <li>• Kalimat sudah dirubah pada cara pelaporan (L309-311)</li> </ul>
--	--	--

		<p>(L291)</p> <ul style="list-style-type: none"> <li>• Harap cek paper lain cara melaporkan hasil ANOVA two way, bagaimana interaksinya ? (L306-312)</li> <li>• Ini pertama kali dari ratio massa apa jumlah atom ?, Apakah data diikuti standar deviasi atau standar error? (L316)</li> <li>• Data belum dilengkapi dengan standar deviasi dan standar error, seperti yang diklaim di bagian metode. Dan informasi mengenai jumlah ulangan (L327-330).</li> <li>• Tambahkan perhitungan Ca/P pada table 2</li> <li>• Yang dianggap kritisasi sempurna apa dan kapan ?, . Pelebaran apa yang dimaksud , Pembahasan tentang XRD sangat minim (L345-3460)</li> <li>• Untuk Analisa XRD, sebaiknya ditambahkan pembuktian karakteristik HAP pada sistem kristal hexagonal dengan Ca/p ratio = 1.67</li> </ul>	<ul style="list-style-type: none"> <li>• Kalimat sudah dirubah pada cara pelaporan (L316-319)</li> <li>• Jumlah massa diikuti dengan standard error (L330)</li> <li>• Data sudah dilengkapi standard error dan jumlah pengulangan (L330)</li> <li>• Tidak dilakukan perhitungan rasio Ca/P, karena masih berbentuk CaO. Besar kemungkinan rasio sangat jauh dari 1,67 karena tingginya jumlah massa kalsium</li> <li>• Kristalisasi sempurna ketika grafik menunjukkan ketajaman tanpa adanya kelonggaran pada gambar. Pembahasan pada XRD sangat minim karena uji hanya dilakukan 1 kali di Balai Uji Fisika LIPI.</li> <li>• Untuk pembahasan belum bisa dilakukan pembuktian Kristal heksagonal, karena rasio masih jauh dari 1,67</li> </ul>
6.	<b>Kesimpulan</b>	<ul style="list-style-type: none"> <li>• Kesimpulan sangat Panjang, fokus dengan tujuan yang akan dijawab saja (L349-364)</li> </ul>	Kesimpulan sudah dibuat sesuai tujuan (L369-372)
7.	<b>Daftar Pustaka</b>	Mohon reviewer dapat menelaah penjelasan penulis mengenai: <ul style="list-style-type: none"> <li>• Ada beberapa sitasi yang digunakan tidak ada daftar pustaka. coba dicek kembali</li> </ul>	Situs seluruhnya sudah dimasukkan
<b>Rekomendasi dari Reviewer</b>		Berdasarkan dari penelaahan ini, maka disarankan naskah ini untuk : <ol style="list-style-type: none"> <li>1. Dapat diterima dengan koreksi minor</li> <li>2. Dapat diterima dengan koreksi mayor</li> <li>3. Tidak layak untuk dipublikasi</li> </ol>	

	<b>Komentar khusus ke <i>Section</i> dan <i>Chief editor</i> (Tidak akan diteruskan ke penulis):</b>	
--	--	--

Tanggal : .... - ..... - 2020

Reviewer.

---

**EVALUASI MITRA BESTARI**  
**JURNAL PASCAPANEN DAN BIOTEKNOLOGI KELAUTAN DAN PERIKANAN**

**Judul Naskah :** PENGARUH SUHU DAN WAKTU KALSINASI TERHADAP KARAKTERISTIK TEPUNG KALSIUM OKSIDA (CaO) DARI CANGKANG RAJUNGAN (*Portunus sp.*) SEBAGAI BAHAN BAKU HIDROKSIAPATIT

**Reviewer :**

Mohon **Reviewer** menuliskan seluruh komentarnya dalam form ini (bukan di naskah), agar memudahkan redaksi dan penulis dalam menelaah kesesuaian antara saran dan perbaikan yang harus dilakukan penulis.

Bagian Naskah		Saran Reviewer	Tanggapan Penulis
<b>Komentar Umum</b>		Secara umum saran dari reviewer sudah terakomodasi, tetapi ada beberapa bagian yang perlu ditambahkan	
1. <b>Judul</b>			
2. <b>Abstrak</b>	<ul style="list-style-type: none"> <li>• Tambahkan hasil analisis statistiknya apakah perlakuan suhu dan waktu berpengaruh</li> </ul>		Hasil analisis statistis sudah ditambahkan pada Abstrak
3. <b>Pendahuluan</b>	<ul style="list-style-type: none"> <li>• </li> </ul>		
4. <b>Bahan dan Metode</b>	<ul style="list-style-type: none"> <li>• Perlu mempertimbangkan analisis statistiknya menggunakan ANOVA one way sehingga terlihat perlakuan mana yang terbaik</li> </ul>		Analisa statistic sudah memakai ANOVA one way
5. <b>Hasil dan Pembahasan</b>	<ul style="list-style-type: none"> <li>• Beberapa Tabel dan Gambar (Tabel 2 dan Gambar 2; Tabel 4 dan Gambar 5) memiliki interpretasi yang sama, pilih salah satu dalam menampilkan</li> <li>• Tambahkan standar eror pada gambar grafik dan anotasi statistiknya sehingga pembaca bisa langsung mengetahui perbedaan masing-masing perlakuan tanpa harus melihat teks hasil</li> <li>• Begitu juga pada Tabel, tambahkan anotasi statistiknya sehingga pembaca bisa langsung mengetahui perbedaan masing-masing perlakuan tanpa harus melihat teks hasil</li> <li>• Pernyataan pada hasil 3.3 Rendemen CaO bertolak belakang dengan hasil analisis statistiknya “Rendemen berat tepung CaO menunjukkan, semakin tinggi suhu</li> </ul>		<p>Tabel sudah di perbaiki sesuai arahan</p> <p>Gambar grafik sudah dihapus dan diganti dengan tabel.</p> <p>Pernyataan ‘Rendemen berat tepung CaO menunjukkan, semakin tinggi suhu dan waktu kalsinasi, maka nilai rendemen akan semakin</p>

		dan waktu kalsinasi, maka nilai rendemen akan semakin kecil.”, sedangkan hasil ANOVA tidak berbeda nyata	kecil.”dihapus.
6.	<b>Kesimpulan</b>	•	
7.	<b>Daftar Pustaka</b>	Mohon reviewer dapat menelaah penjelasan penulis mengenai: •	
<b>Rekomendasi dari Reviewer</b>	Berdasarkan dari penelaahan ini, maka disarankan naskah ini untuk : 1. Dapat diterima dengan koreksi minor 2. <b>Dapat diterima dengan koreksi mayor</b> 3. Tidak layak untuk dipublikasi		
	<b>Komentar khusus ke <i>Section</i> dan <i>Chief editor</i> (Tidak akan diteruskan ke penulis):</b>		

Tanggal : .... - ..... - 2020

Reviewer.

---

1  
2  
3  
4  
5  
6  
7  
8  
9

# PENGARUH SUHU DAN WAKTU KALSINASI TERHADAP KARAKTERISTIK TEPUNG KALSIUM OKSIDA (CaO) DARI CANGKANG RAJUNGAN (*Portunus sp.*) SEBAGAI BAHAN BAKU HIDROKSIAPATIT

(*Effect Of Temperature And Time Of Calcination On The Characteristics Of Calcium Oxide (CaO) Powder From Blue Swimming Crab (*Portunus Sp.*) Shells As A Hydroxyapatite Raw Material*)

## ABSTRAK

Penelitian ini bertujuan untuk mengkalsinasi cangkang rajungan (*Portunus sp.*) menjadi tepung kalsium oksida (CaO) sebagai bahan baku sintesis hidroksiapatit. Kalsinasi merupakan salah satu tahapan penting dalam sintesis hidroksiapatit karena kemurnian tepung CaO sangat bergantung pada suhu dan waktu kalsinasi. Pada penelitian ini kalsinasi cangkang rajungan dilakukan pada suhu 700 dan 800 °C selama 4 dan 5 jam. Tepung CaO kemudian diidentifikasi gugus fungsi, morfologi, komposisi dan kristalinitas dengan menggunakan *fourier-transform infrared spectroscopy (FTIR)*, *scanning electron microscope (SEM)* dengan *energy dispersive spectroscopy (EDS)* dan *X-Ray diffraction (XRD)*. Hasil penelitian menunjukkan bahwa kalsinasi pada suhu 800 °C selama 5 jam menghasilkan morfologi yang lebih seragam pada ukurannya, dan pori-pori yang lebih halus dan lebih kecil dibanding kombinasi proses lainnya. Selain itu, kadar kalsium yang dihasilkan pada perlakuan ini lebih besar ( $91,96 \pm 5,07\%$ ) dibanding dengan perlakuan lainnya. Hasil analisa XRD pada perlakuan ini menghasilkan derajat kristalinitas sebesar 75%. Dari beberapa hasil tersebut dapat disimpulkan bahwa proses kalsinasi pada suhu 800 °C selama 5 jam menghasilkan tepung CaO yang baik untuk dijadikan bahan baku sintesis hidroksiapatit.

Kata kunci : Cangkang rajungan, Kalsinasi, Tepung CaO

## ABSTRACT

This study aims to calcine the crab shell (*Portunus sp.*) into calcium oxide (CaO) powder as a raw material for hydroxyapatite synthesis. Calcination is one of the important steps in hydroxyapatite synthesis because the purity of CaO powder is very dependent on the temperature and time of calcination. The crab shell calcination was carried out at 700 and 800 °C for 4 and 5 h. The CaO powder were identified its functional groups, morphology, composition and crystallinity using *fourier-transform infrared spectroscopy (FTIR)*, *scanning electron microscope (SEM)* with *energy dispersive spectroscopy (EDS)* and *X-Ray diffraction (XRD)*. The results showed calcination at 800 °C for 5 hours gave uniform size, and finer and smaller pores compare to others combination process. In addition, the total mass of calcium content produced in this treatment also higher ( $91.96 \pm 5.07\%$ ) compare to other treatments with 75% degree of crystallinity using XRD analysis. To be conclude, calcination at 800 °C for 5 h was yielded CaO powder that could be used as the raw material for hydroxyapatite synthesis.

Keywords: crab shell, calcination, CaO powder

## 1. PENDAHULUAN

Cangkang rajungan merupakan hasil samping produksi pengolahan rajungan yang belum optimal dimanfaatkan. Dalam industri pengolahan rajungan di Indonesia, sebagian

44 besar rajungan dimanfaatkan dagingnya sebanyak 30,07% sampai 42,1% sebagai produk  
45 kaleng (Suharto, Romadhon, & Redjeki, 2016). Dari nilai tersebut, 50%nya merupakan  
46 cangkang rajungan yang merupakan limbah produksi. Padahal, cangkang rajungan memiliki  
47 kalsium karbonat ( $\text{CaCO}_3$ ) sekitar 40 sampai 70% (Suharto, Romadhon, and Redjeki 2016),  
48 yang berperan sebagai pembentuk kalsium untuk hidroksiapit (Raya, Mayasari, Yahya,  
49 Syahrul, & Latunra, 2015). Hidroksiapit merupakan anggota mineral apatit dan  
50 mengandung hidroksida dengan rumus kimia  $\text{Ca}_{10}(\text{PO}_4)_6(\text{OH})_2$  (Ngapa 2018). Hidroksiapit  
51 memiliki kadar basa atau netral sebagai komponen utama jaringan tulang yang bersifat  
52 rapuh (Yang et al. 2014). Oleh karena itu, cangkang rajungan dapat di ekstraksi kalsiumnya  
53 menjadi bahan baku hidroksiapit. Kebutuhan hidroksiapit dalam negeri masih sangat  
54 kurang. Dalam data BPPT (2015), Indonesia masih mengimpor hidroksiapit dengan harga  
55 Rp. 1,5 miliar per 5 mg untuk perancah tulang (Henggu, Ibrahim, & Suptijah, 2019). Oleh  
56 karena itu, cangkang rajungan memiliki potensi sebagai material hidroksiapit dalam negeri.

57 Pada bidang farmasi, hidroksiapit berfungsi sebagai *Drug Delivery System*, yaitu  
58 media penghantar obat lewat strukturnya yang berpori. Jadi obat-obatan dimasukkan dalam  
59 pori-pori hidroksiapit dan mengirimkan ke area yang akan diobati untuk mencegah  
60 osteoporosis atau kerapuhan tulang (Bose, Tarafdel, Edgington, & Bandyopadhyay, 2011).  
61 Selain itu, hidroksiapit berfungsi sebagai anti kanker pada penyakit kanker tulang, dimana  
62 hidroksiapit akan memperbaiki tulang yang terkikis, serta mengisi jaringan tulang yang  
63 hilang (Kolmas, Kruckowski, Laskus, & Jurkiewicz, 2016). Hidroksiapit juga diaplikasikan  
64 sebagai keramik biokompatibel yang berkontak dengan jaringan tulang (*bone tissue*), dan  
65 sebagai pelapis (*coating*) pada implan tulang manusia (Harahap & Helwani 2015).  
66 Hidroksiapit selanjutnya dimanfaatkan sebagai pasta IBS yang disintesis dengan  
67 menggunakan radiasi dan dapat digunakan sebagai graft biomaterial (Warastuti & Abbas  
68 2011).

69 Sebelum menjadi hidroksiapit, cangkang rajungan perlu dijadikan tepung kalsium  
70 oksida ( $\text{CaO}$ ) untuk menghilangkan unsur karbonat pada  $\text{CaCO}_3$ . Keberadaan karbonat  
71 dalam cangkang rajungan harus didekomposisi karena akan menghambat pembentukan  
72 hidroksiapit. Proses dekomposisi tersebut membantu menghasilkan kalsium atau tepung  
73  $\text{CaO}$  yang tinggi (Khoirudin, Yelmida, & Zultiniar, 2017). Tepung  $\text{CaO}$  merupakan salah satu  
74 prekursor kalsium pada hidroksiapit yang direaksikan dengan fosfat sehingga membentuk  
75 rasio kalsium dan pospor ( $\text{Ca}/\text{P}$ ). Salah satu tanda hidroksiapit terbaik adalah adanya  
76 rasio  $\text{Ca}/\text{P}$  dengan nilai 1,67 (Kantharia et al. 2014). Oleh karena itu perlu dilakukan metode  
77 perlakuan untuk mengubah cangkang rajungan menjadi tepung  $\text{CaO}$ .

78 Metode kalsinasi bertujuan melepaskan unsur-unsur karbonat pada cangkang  
79 rajungan. Metode ini merupakan reaksi endotermik, dimana membutuhkan panas dari luar  
80 untuk melepas kandungan air, senyawa organik, serta  $\text{CO}_2$  pada sampel (Supangat and  
81 Cahyaningrum 2017). Prinsip metode ini yaitu melakukan sistem pembakaran tanpa  
82 menggunakan udara untuk melepaskan zat yang mudah terbakar seperti  $\text{CO}$ ,  $\text{CH}_4$ ,  $\text{H}_2$ , serta  
83 yang tidak mudah terbakar seperti  $\text{CO}_2$  dan  $\text{H}_2\text{O}$ . Proses kalsinasi dapat dilakukan pada  
84 suhu 500 – 700 °C untuk temperatur rendah, suhu 700 – 900 °C untuk temperatur sedang,  
85 dan >900 °C untuk temperatur tinggi (Handayani, Zuhrayani, Putri, & Nanda, 2020). Oleh  
86 karena itu, temperatur kalsinasi sangat menentukan  $\text{CaO}$  yang dihasilkan, selain itu faktor  
87 bahan baku dan waktu pemanasan yang dipakai juga akan menentukan kualitas tepung  
88  $\text{CaO}$  tersebut.

89 Dalam penelitian sebelumnya, kalsinasi cangkang landak laut pada suhu 600 °C  
90 selama 2 jam, menghasilkan tepung  $\text{CaO}$  dengan kadar kalsium  $25,53 \pm 2,5\%$  (Cahyono,  
91 Jonas, Laleno, & Kota, 2019). Selanjutnya, pada cangkang kepiting yang dikalsinasi  
92 menjadi tepung  $\text{CaO}$  dengan suhu 1000 °C selama 6 dan 10 jam, menghasilkan warna yang  
93 putih dengan struktur kristal, tetapi tidak berbentuk amorf (Malau and Azzahra 2020). Pada  
94 penelitian cangkang rajungan Rizkayanti dan Yusuf (2019), telah dilakukan penelitian  
95 tentang kalsinasi  $\text{CaO}$  dengan suhu 1000 °C selama 3 jam, tetapi belum diketahui  
96 bagaimana karakteristik kadar kalsium, gugus fungsi yang terbentuk, serta derajat  
97 kristalinitasnya. Selain itu, belum ada penelitian yang menjelaskan hasil tepung  $\text{CaO}$  dari  
98 cangkang rajungan dengan pemakaian suhu sedang.

99        Oleh karena itu, penelitian ini mencoba mengetahui karakteristik tepung CaO dari  
100      cangkang rajungan, dengan perlakuan suhu di level sedang dengan waktu berbeda.  
101      Tujuannya adalah untuk mendapatkan tepung CaO terbaik dari 4 perlakuan kalsinasi  
102      terhadap rendemen, gugus fungsi, morfologi, kadar kalsium, fosfat, dan oksida, serta  
103      persentase kristalinitas sebagai bahan dasar hidroksiapatit.

104     **2. BAHAN DAN METODE**

105     **2.1. Bahan**

106      Bahan utama yang dipakai pada penelitian ini adalah cangkang rajungan yang berasal  
107      dari unit pengolahan rajungan di TPI Pasir Putih, Karawang Jawa Barat. Cangkang rajungan  
108      semi basah dikemas dalam karung untuk kemudian diangkut menuju Balai Besar Riset  
109      Pengolahan Produk dan Bioteknologi Kelautan dan Perikanan (BBRP2B-KP) di Jakarta.

110     **2.2. Metode**

111      Tahapan kalsinasi cangkang rajungan mengacu pada metode Rizkayanti dan Yusuf  
112      (2019). Cangkang rajungan semi basah dicuci menggunakan air bersih segera setelah  
113      sampai di Laboratorium. Cangkang dibersihkan dari kotoran dan sisa daging yang  
114      menempel dengan cara menyikat cangkang. Cangkang yang telah disikat kemudian dicuci  
115      kembali dengan air bersih. Cangkang yang telah bersih dijemur dengan menggunakan para  
116      hingga kering selama 2 hari. Cangkang kering selanjutnya dihancurkan dengan mesin  
117      blender HR2106 (*philips*, Belanda) dengan kecepatan 30 rpm. Tujuan pemakaian blender  
118      adalah proses nya yang cepat dan kapasitas mesin yang mampu menghancurkan cangkang  
119      rajungan sampai sedikit halus. Setelah dihancurkan, cangkang kemudian disaring dengan  
120      kertas saring 100 mesh.

121      Tepung cangkang rajungan selanjutnya dikalsinasi dengan mesin furnace 6000  
122      (*barnstead*, USA). Tujuan pemakaian mesin furnace ini karena mampu mengkalsinasi  
123      sampel sampai 1000 °C, selain itu, mesin ini aman dan mudah untuk digunakan. pada suhu  
124      level sedang, yaitu dengan suhu 700, dan 800 °C serta dengan variabel waktu selama 4 dan  
125      5 jam. Penggunaan kalsinasi tepung CaO dari cangkang rajungan dengan suhu sedang  
126      dikarenakan belum pernah dilakukan pada penelitian sebelumnya.

127      Setelah kalsinasi, suhu pada mesin furnace diturunkan sampai 300 °C, selanjutnya  
128      mesin furnace dimatikan, dan tepung CaO dibiarkan dalam furnace selama 5 jam. Tepung  
129      CaO yang dihasilkan kemudian dilakukan pengangkatan dengan spatula ke dalam  
130      desikator. Tepung CaO didiamkan selama 3 jam. Tepung CaO yang dihasilkan selanjutnya  
131      dilakukan perhitungan rendemen, analisa gugus fungsi, derajat kristalinitas, morfologi, dan  
132      kadar kalsium, fosfat, oksida, serta karbon.

133     **2.3. Analisa proksimat cangkang rajungan**

134      Cangkang rajungan yang sudah disaring, kemudian diambil sampel untuk dianalisa  
135      proksimat. Analisa proksimat dilakukan meliputi kadar air (SNI 01-2354.2:2006), kadar  
136      lemak (SNI 01-2354.3-2006), kadar protein (SNI 01-2354.4-2006), dan kadar abu (SNI  
137      2354.1:2010).

138     **2.4. Perhitungan Rendemen**

139      Perhitungan rendemen dilakukan dengan membandingkan berat tepung CaO,  
140      dibandingkan dengan tepung cangkang rajungan kering sebelum proses kalsinasi.  
141      Selanjutnya hasil pembagian dikalikan 100% untuk mendapatkan persentase rendemen  
142      tepung CaO.

143     **2.5. Analisa gugus fungsi**

144      Analisa gugus fungsi menggunakan instrument mesin *Spectrum One FTIR* (*fourier*  
145      *transform infrared spectroscopy*), seri C69526 (*Perkin Elmer Precisely*, Jerman) yang  
146      mampu membaca bilangan gelombang 4.000-400 cm<sup>-1</sup> dengan resolusi 4 cm<sup>-1</sup>. Sebelum  
147      dilakukan analisa gugus fungsi sampel dipelletkan dengan KBr. Sebanyak 2 mg sampel

148 dicampur dengan pellet KBr dengan perbandingan 1/100, selanjutnya dimasukkan ke dalam  
149 logam untuk dilakukan pengepresan dan pemvakuman dengan tekanan 7 ton selama 15  
150 menit.sampel yang sudah di vakum selanjutnya dimasukkan ke intrumen FTIR. Langkah  
151 selanjutnya adalah pembacaan gelombang gugus fungsi dengan aplikasi *spectrum* 9.

152 **2.6. Analisa morfologi**

153 Analisa morfologi menggunakan instrument SEM (*Scanning Electron Microscopy*).  
154 Tepung CaO diambil secara *swab*, diletakkan pada plat logam tembaga yang berbentuk  
155 bulat (*sample holder*). Selanjutnya, dilakukan proses pelapisan (*coating*) selama 1 menit  
156 dengan lapisan emas, agar sampel memiliki sifat konduktif. Mikrostruktur tepung CaO  
157 diamati menggunakan aplikasi software *JEOL 6000*, serta diambil gambarnya dengan  
158 perbesaran hingga 1000 kali. Proses pengukuran dilakukan pada akselerasi tegangan 20 kV.

159 **2.7. Analisa Persentase Kalsium, Fosfat, Karbon, dan Oksida**

160 Analisa persentase kadar kalsium, fosfat, dan oksida menggunakan SEM (*Scanning  
161 Electron Microscopy*), yang sudah dilengkapi EDS (*Energy Dispersive Spectroscopy*) untuk  
162 menentukan persentase kadar kalsium, fosfat, dan oksida. Tepung CaO diambil secara  
163 *swab*, diletakkan pada plat sampel (*sample holder*). tepung CaO diamati menggunakan  
164 aplikasi software *JEOL 6000*, dengan perbesaran 1000 kali. Proses pengukuran dilakukan  
165 pada akselerasi tegangan 20 kV. Selanjutnya objek diambil secara area, selanjutnya  
166 dilakukan analisa terhadap persentase kalsium, fosfor, dan oksida. Jumlah massa yang  
167 dihasilkan oleh software dijadikan dasar dalam perhitungan persentase kadar kalsium,  
168 fosfat, karbon, dan oksida.

169 **2.8. Analisa derajat kristalinitas**

170 Analisa persentase kristalinitas tepung CaO dilakukan di Laboratorium Pusat  
171 Penelitian Kimia, Lembaga Ilmu Pengetahuan Indonesia (LIPI), Serpong, Tangerang  
172 Selatan. Analisa persentase derajat kristalinitas dilakukan dengan metode kuantitatif  
173 menggunakan instrumen X-ray *Difraction* tipe *Rigaku Smartlab*, selanjutnya hasil analisa  
174 dilakukan perhitungan dengan rumus di bawah ini berdasarkan Purwasasmita dan Gultom  
175 (2008).

176 
$$\% \text{ Kristalinitas} = 1 - ((V110-I300)/I300) \times 100\%$$

177 Keterangan;  
178 V110-I300 = puncak terendah antara puncak hasil difraksi 112 sampai 300  
179 I300 = intensitas puncak yang dihasilkan V300

180 **2.9. Analisa Statistik**

181 Data diolah menggunakan dengan aplikasi SPSS seri 23 dalam mengolah nilai rata-  
182 rata, dan standar error pada analisa proksimat, perhitungan rendemen, serta analisa jumlah  
183 kadar kalsium, fosfat, karbon, dan oksida. Serta pemakaian *analysis of varian* (ANOVA) *two  
184 ways* untuk menganalisa perbedaan nyata atau tidaknya pada perhitungan rendemen, serta  
185 pada analisa jumlah kadar kalsium, fosfat, karbon, dan oksida.

186 **3. HASIL DAN PEMBAHASAN**

187 **3.1. Analisa Proksimat Cangkang Rajungan**

188 Hasil pengujian proksimat cangkang rajungan dapat dilihat pada tabel 1. Hasil yang  
189 ditampilkan merupakan hasil analisa dari 3 kali ulangan dan standard error.

190

191

192

193 Tabel 1. Hasil Standar Error Analisa Proksimat Cangkang Rajungan  
194 *Table 1. Results of Standard Error of Analysis of Proximate Of Crab Shell*

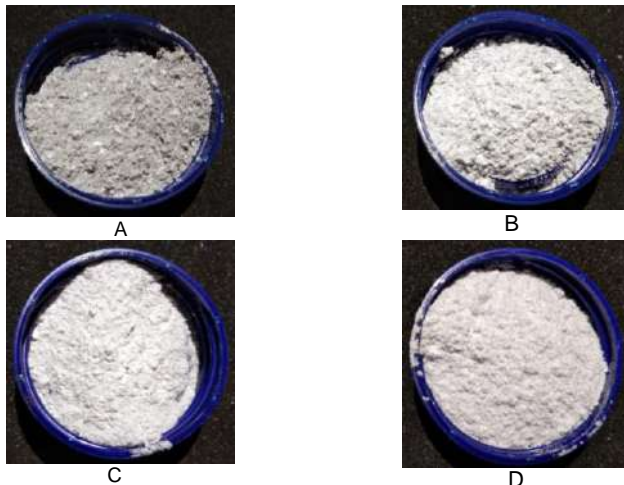
<b>PROKSIMAT/ Proximate</b>	<b>Air/Moisture</b>	<b>Abu/Ash</b>	<b>Lemak/Fat</b>	<b>Protein/Protein</b>
<b>Nilai Rata-Rata dan Standar Error/ Average Value and Standard Error (%)</b>	<b>7.36±0.001</b>	<b>63.12±0.004</b>	<b>0.28±0.004</b>	<b>13.18±0.006</b>

195 Ket: n = 3

196 Cangkang rajungan memiliki sedikit lemak dan air dengan rata-rata masing-masing  
197  $0,28\pm0,004\%$  dan  $7,36\pm0,001\%$ . Tetapi, cangkang rajungan memiliki kadar abu yang tinggi  
198 sekitar  $63,12\pm0,004\%$ . Sedangkan protein, hanya sekitar  $13,18\pm0,006\%$ . Tingginya kadar  
199 abu menggambarkan unsur mineral dan kekerasan cangkang rajungan. Kadar abu pada  
200 cangkang rajungan lebih besar dibandingkan dengan kadar proksimat lainnya. Hal tersebut  
201 juga dibuktikan pada penelitian Lubena et al. (2020), yang menyatakan cangkang rajungan  
202 mengandung kadar abu lebih besar 44,03%, daripada kadar protein 29,91%, dan kadar air  
203 0,45%. Semakin besar kadar abu dibandingkan kadar protein, maka cangkang rajungan  
204 semakin keras dan memiliki kandungan mineral yang tinggi (Kusumaningrum, Sutono, &  
205 Fajar, 2016). Dalam kandungan mineral terdapat mineral makro yaitu Ca, Mg, Na, dan K  
206 (Hafiludin 2015). Hal ini berarti cangkang rajungan dapat dijadikan sebagai tepung kalsium  
207 oksida ( $\text{CaO}$ ) karena memiliki nilai kadar abu yang tinggi dibandingkan kadar protein, air,  
208 dan lemak. Artinya, kalsium pada cangkang rajungan memungkinkan dijadikan bubuk  
209 hidroksiapatit dengan menambahkan prekursor fosfat.

### 210 **3.2. Penampakan Tepung $\text{CaO}$ Cangkang Rajungan**

211 Hasil penampakan tepung  $\text{CaO}$  dapat dilihat pada Gambar 1.



- Keterangan/ ;      A. Bubuk  $\text{CaO}$   $700\text{ }^{\circ}\text{C}$  4 jam/  $700\text{ }^{\circ}\text{C}$   $\text{CaO}$  powder 4 hours  
Information      B. Bubuk  $\text{CaO}$   $700\text{ }^{\circ}\text{C}$  5 jam/  $700\text{ }^{\circ}\text{C}$   $\text{CaO}$  powder 4 hours  
                    C. Bubuk  $\text{CaO}$   $800\text{ }^{\circ}\text{C}$  4 jam/  $800\text{ }^{\circ}\text{C}$   $\text{CaO}$  powder 4 hours  
                    D. Bubuk  $\text{CaO}$   $800\text{ }^{\circ}\text{C}$  5 jam/  $800\text{ }^{\circ}\text{C}$   $\text{CaO}$  powder 4 hours

212 Gambar 1. Tepung  $\text{CaO}$  hasil kalsinasi tepung cangkang rajungan

213 Figure 1.  $\text{CaO}$  powder from calcination of crab shell powder

214 Hasil penampakan tepung  $\text{CaO}$  dengan suhu  $700\text{ }^{\circ}\text{C}$  selama 4 jam memiliki warna  
215 putih kehitaman, artinya belum sepenuhnya menghasilkan warna yang seragam. Selain itu,  
216 tekstur tepung  $\text{CaO}$  masih kasar dan belum sepenuhnya menjadi abu. Untuk suhu  $700\text{ }^{\circ}\text{C}$

**Commented [g1]:** Tepung  $\text{CaO}$  hasil kalsinasi tepung cangkang rajungan pada berbagai perlakuan suhu dan waktu kalsinasi. A: Perlakuan kalsinasi  $700\text{ }^{\circ}\text{C}$  selama 4 jam; B:  $700\text{ }^{\circ}\text{C}$  selama 5 jam; C:  $800\text{ }^{\circ}\text{C}$  selama 4 jam; D:  $800\text{ }^{\circ}\text{C}$  selama 5 jam.?

217 selama 5 jam, penampakan tepung CaO hampir seluruhnya putih, tetapi masih ada  
218 cangkang yang berwarna kehitaman.

219 Tepung CaO pada perlakuan suhu 800°C selama 4 jam telah menjadi putih  
220 sedikit kemerahan. Sedangkan, pada saat dikalsinasi 5 jam, tekstur tepung CaO sangat  
221 halus dan mulai menunjukkan warna putih seragam. Menurut Kusrini dan Sontang (2012),  
222 warna tepung CaO setelah kalsinasi berwarna hitam, menandakan bahwa dekomposisi  
223 matriks organik seperti protein dan kolagen tidak sempurna. Sedangkan warna putih  
224 menandakan sebaliknya dalam hal dekomposisi matriks organik yang sempurna (Rosalina,  
225 Pascawinata, & Roesnoer, 2017). Berdasarkan morfologi hasil kalsinasi tepung CaO, maka  
226 dipilih perlakuan 800 °C selama 5 jam yang menghasilkan warna putih dan tekstur halus.

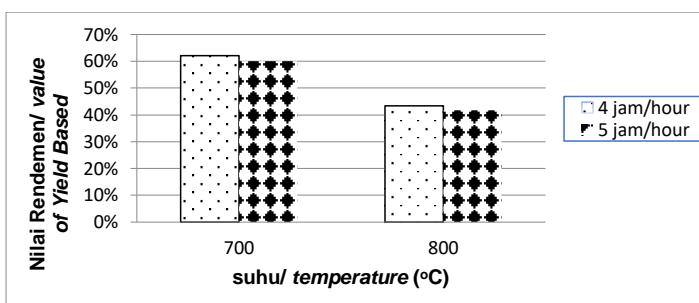
### 227 **3.3. Rendemen Tepung CaO**

228 Berdasarkan jumlah perhitungan rendemen sebanyak 2 kali pengulangan proses,  
229 perlakuan suhu 700 °C selama 4 jam menghasilkan rendemen terbesar yaitu  $62,10 \pm 1,43\%$ ,  
230 sedangkan pada perlakuan 800 °C selama 5 jam yaitu sebesar  $41,68 \pm 0,02\%$ . Rendemen  
231 berat tepung CaO menunjukkan, semakin tinggi suhu dan waktu kalsinasi, maka nilai  
232 rendemen akan semakin kecil. Hal ini disebabkan banyaknya berat karbon yang hilang pada  
233 cangkang, karena perlakuan suhu dan waktu kalsinasi. Semakin rendah persentase  
234 rendemen, maka semakin baik dekomposisi CO<sub>2</sub> sehingga CaO yang dihasilkan sempurna  
235 (Handayani et al., 2020). Berdasarkan ANOVA two ways, suhu dan waktu kalsinasi tidak  
236 berbeda nyata terhadap perhitungan rendemen, hal ini dibuktikan dengan nilai signifikan  
237 lebih dari 0,05 yaitu 0,434. Hasil perhitungan rendemen tepung CaO sesudah kalsinasi,  
238 dapat dilihat pada Tabel 2 dan Gambar 2.

239 **Tabel 2. Hasil Perhitungan Standar Error Rendemen Tepung CaO Cangkang Rajungan**  
240 *Table 2. Results of Calculation of Standard Error of Yield of Crab Shell CaO Powder*

Suhu dan Waktu Kalsinasi/ Temperature and Time Of Calcination	700°C 4 jam/ 700°C 4 hours	700°C 5 jam/ 700°C 5 hours	800°C 4 jam/ 800°C 4 hours	800°C 5 jam/ 800°C 5 hours
Rata-rata dan Standar Error Rendemen/ Average and Standard Error of Yield (%)	$62.10 \pm 1.43$	$60.07 \pm 0.09$	$43.38 \pm 0.19$	$41.68 \pm 0.02$

241 Ket : n = 6 (n per proses = 3)



242 Gambar 2. Perbandingan Rendemen Berdasarkan Pengaruh Suhu dan Waktu.  
243 *Figure 2. Comparison of Yield Based on The Influence of Temperature and Time.*

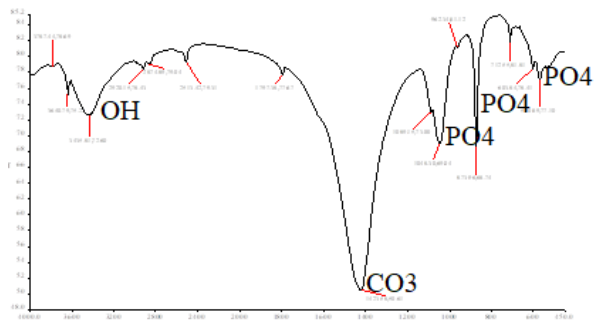
### 244 **3.4. Analisa Karakteristik Gugus Fungsi Tepung CaO Cangkang Rajungan**

245 Hasil analisa karakteristik gugus fungsi dapat dilihat pada Gambar 3.

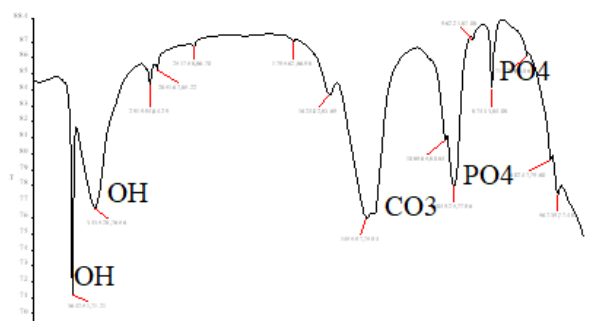
**Commented [g2]:** Pernyataan ini bertentangan dengan kalimat sebelumnya "Rendemen berat tepung CaO menunjukkan, semakin tinggi suhu dan waktu kalsinasi, maka nilai rendemen akan semakin kecil."

Atau apakah memungkinkan analisis statistiknya dirubah menjadi one way ANOVA? Sehingga masing-masing perlakuan akan terlihat perbedaannya

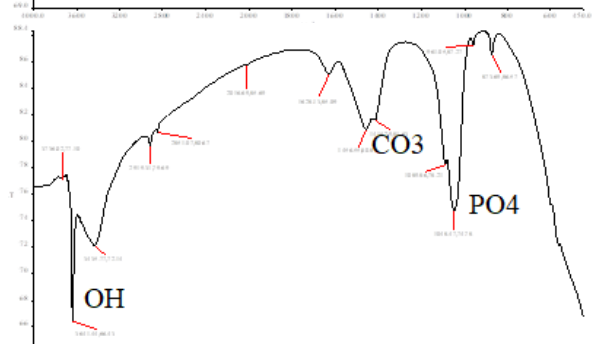
**Commented [g3]:** Tabel ini sama dengan Gambar 2, pilih salah satu  
Jika menggunakan grafik tambahkan standar eror pada grafik tersebut dan anotasi statistiknya



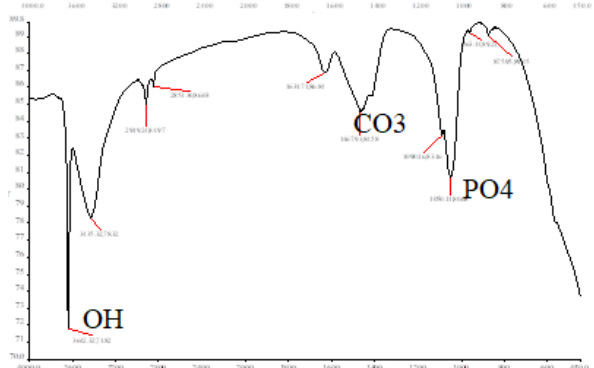
A



B



C



D

247

- Keterangan/ ; A. Hasil grafik gugus fungsi dengan kalsinasi dengan suhu 700°C selama 4 jam/  
*Information*      *Result of graphic of molecule groups with calcination at 700 °C for 4 hours*  
 B. Hasil grafik gugus fungsi dengan kalsinasi dengan suhu 700°C selama 5 jam/  
*Result of graphic of molecule groups with calcination at 700 °C for 5 hours*  
 C. Hasil grafik gugus fungsi dengan kalsinasi dengan suhu 800°C selama 4 jam/  
*Result of graphic of molecule groups with calcination at 800 °C for 4 hours*  
 D. Hasil grafik gugus fungsi dengan kalsinasi dengan suhu 800°C selama 5 jam/  
*Result of graphic of molecule groups with calcination at 800 °C for 5 hours*

248 Gambar 3. Hasil Analisa Gugus Fungsi Tepung Cao Cangkang Rajungan

249 *Figure 3. Results of Analysis of Molecule Groups of Cao Powder From Crab Shells*

250 Hasil analisa gugus fungsi pada Gambar 3 menjelaskan bahwa, gugus fosfat ( $\text{PO}_4^{3-}$ )  
 251 muncul pada perlakuan suhu 700 °C selama 4 jam terdeteksi sebanyak tujuh lengkungan  
 252 tajam pada gelombang 1089,15; dan 1048,30  $\text{cm}^{-1}$ . Selanjutnya pada perlakuan 700 °C  
 253 selama 5 jam masih terdapat tujuh lengkungan tajam, tetapi terjadi peningkatan pada  
 254 gelombang  $\text{PO}_4^{3-}$  1089,85; dan 1049,25  $\text{cm}^{-1}$ . Sedangkan pada perlakuan 800 °C,  
 255 berkurangnya lengkungan tajam menjadi empat yaitu pada saat 4 jam dengan gelombang  
 256 1089,86; dan 1048,47  $\text{cm}^{-1}$ , serta saat 5 jam dengan gelombang 1090,16; dan 1050,11  $\text{cm}^{-1}$ .  
 257 Berkurangnya lengkungan tajam, menandakan bahwa kandungan fosfat pada tepung CaO  
 258 berkurang. Pada empat perlakuan menandakan sudah ada unsur fosfat pada tepung CaO,  
 259 karena pada hidroksiapatit dibentuk oleh fosfat dengan ditandai pada gelombang 1000-1100  
 260  $\text{cm}^{-1}$  (Riyanto & Maddu, 2014). Keberadaan gugus fosfat menandakan bahwa tepung CaO  
 261 dapat dijadikan bahan baku hidroksiapatit (Supangat & Cahyaningrum, 2017). Oleh karena  
 262 itu, keberadaan gugus  $\text{PO}_4^{3-}$  pada perlakuan suhu 800 °C selama 5 jam mengindikasikan  
 263 sebagai perlakuan terbaik sementara, dalam kalsinasi tepung CaO cangkang rajungan.

264 Masih terdapat gugus fungsi karbonat ( $\text{CO}_3^{2-}$ ) pada seluruh perlakuan. Indikasi adanya  
 265 gugus fungsi karbonat terdapat pada gelombang 1400-1500  $\text{cm}^{-1}$  (Hanura, Trilaksani, &  
 266 Suptijah, 2017). Hal ini ditandai dengan munculnya gelombang  $\text{CO}_3^{2-}$  pada perlakuan 700 °C  
 267 selama 4 jam sebesar 1423,58  $\text{cm}^{-1}$ , dan pada saat 5 jam sebesar 1455,97  $\text{cm}^{-1}$ . Sedangkan  
 268 pada perlakuan suhu 800 °C selama 4 jam, gelombang  $\text{CO}_3^{2-}$  sebesar 1456,55  $\text{cm}^{-1}$ , dan  
 269 saat 5 jam sebesar 1467,93  $\text{cm}^{-1}$ . Munculnya gugus fungsi  $\text{CO}_3^{2-}$  disebabkan munculnya  
 270 karbon dioksida dari udara bebas saat pengangkutan tepung CaO dari furnace ke desikator.  
 271 Selain itu, pengerjaan di ruang terbuka menyebabkan karbon dioksida masuk ke dalam  
 272 tepung CaO. Pengkalsinasi di ruangan bebas mengakibatkan munculnya karbon dioksida  
 273 pada sampel hasil kalsinasi (Kurniawan, Hartini, & Cahyanti, 2019).

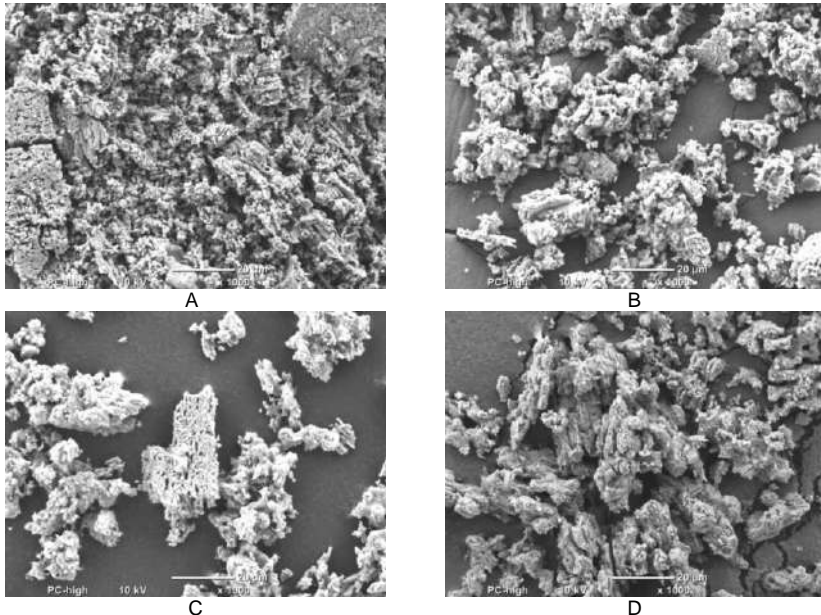
274 Gugus hidrosil ( $\text{OH}^-$ ) juga terjadi perlakuan kalsinasi pada suhu 700 °C selama 4 jam  
 275 sekitar 3746,02; 3641,44; dan 3435,77  $\text{cm}^{-1}$ . Sedangkan pada waktu 5 jam, gelombang  $\text{OH}^-$   
 276 3642,32 dan 2919,24  $\text{cm}^{-1}$ . Untuk perlakuan kalsinasi cangkang rajungan pada suhu 800 °C  
 277 selama 4 jam, gelombang  $\text{OH}^-$  sekitar 3642,51 dan 3435,28  $\text{cm}^{-1}$ . Sedangkan pada waktu 5  
 278 jam, gelombang  $\text{OH}^-$  3787,44, dan 3640,79  $\text{cm}^{-1}$ . Pada suhu 800 °C selama 5 jam, terlihat  
 279 bahwa lengkungan tajam pada gelombang 3640,79  $\text{cm}^{-1}$  masih ada. Hal ini menandakan  
 280 bahwa pemanasan dalam pelepasan  $\text{H}_2\text{O}$  kurang sempurna. Hilangnya lengkungan tajam  
 281 pada gelombang 4000-3000  $\text{cm}^{-1}$ , menandakan bahwa dekomposisi  $\text{H}_2\text{O}$  berjalan dengan  
 282 baik (Sunardi, Utami Irawati, & Wianto 2011). Masih adanya gugus  $\text{OH}^-$  disebabkan  
 283 penyimpanan tepung CaO yang terlalu lama di dalam furnace selama 5 jam setelah furnace.

284 Berdasarkan hasil analisa gugus fungsi, maka variabel perlakuan kalsinasi 800 °C  
 285 menjadi yang terbaik. Hal ini ditandai dengan rendahnya gugus  $\text{OH}^-$ . akan tetapi, hal  
 286 tersebut perlu dilakukan analisa morfologi dan kadar kalsium fosfat untuk memastikan  
 287 perlakuan terbaik dari kalsinasi tepung CaO.

### 288 3.5. Analisa Morfologi Tepung CaO

289 Hasil analisa morfologi tepung CaO dapat dilihat pada Gambar 4 dengan pembesaran  
 290 1000 kali.

**Commented [g4]:** Hasil Analisa Gugus Fungsi Tepung Cao Cangkang Rajungan dari beberapa perlakuan waktu dan suhu kalsinasi. A: Kalsinasi suhu 700°C selama 4 jam; B: 700°C selama 5 jam; C: 800°C selama 4 jam; D: 800°C selama 5 jam?



- Keterangan/  
information ;
- A. Morfologi tepung CaO dengan kalsinasi suhu 700°C selama 4 jam/  
*Morphology of CaO powder by temperature calcination at 700 °C for 4 hours*
  - B. Morfologi tepung CaO dengan kalsinasi suhu 700°C selama 5 jam/  
*Morphology of CaO powder by temperature calcination at 700 °C for 5 hours*
  - C. Morfologi tepung CaO dengan kalsinasi suhu 800°C selama 4 jam/  
*Morphology of CaO powder by temperature calcination at 800 °C for 4 hours*
  - D. Morfologi tepung CaO dengan kalsinasi suhu 800°C selama 5 jam/  
*Morphology of CaO powder by temperature calcination at 800 °C for 5 hours*

291 Gambar 4. Hasil Analisa Morfologi Tepung CaO  
292 *Figure 4. Morphological Analysis Results of CaO Powder*

293 Hasil analisa morfologi dengan pembesaran 1000 kali menunjukkan bahwa cangkang  
294 rajungan yang telah dikasinasi membentuk algomerasi atau gumpalan. Hal ini sesuai  
295 dengan (Ichsan, Helwani, & Zultiniar, 2015) bahwa setelah proses kalsinasi, morfologi  
296 tepung CaO berbentuk gumpalan. Terdapat hampir kesamaan antara gambar a sampai c,  
297 dimana tepung kalsium berbentuk gumpalan datar berpori, serta masih terdapat granula  
298 yang tidak seragam. Permasalahan pada tepung CaO A sampai C adalah, bentuk morfologi  
299 partikelnya yang masih kasar. Hal ini terlihat berbeda dari tepung CaO D, dimana bentuk  
300 partikelnya mulai halus dan tidak kasar pada permukaannya. Morfologi CaO yang tajam  
301 dapat menyebabkan peradangan sampai melukai jaringan pada tubuh, sehingga  
302 memungkinkan membahayakan (Dorozhkin 2010). Untuk gambar d, terlihat bentuk sudah  
303 mulai halus dan pori sedikit kecil. Semakin besar suhu pemanasan, maka akan  
304 mengakibatkan pengecilan hingga penutupan pori-pori, serta akan menghilangnya batas-  
305 batas dari granula tersebut (Kurniawan, Nizar, Rijal, Bagas, & Setyarsih, 2014).

### 306 3.6. Analisa Persentase Jumlah Massa Kalsium (Ca), Fosfat (P), dan Oksida (O), dan 307 Karbon (C) Tepung CaO Cangkang Rajungan

308 Hasil analisa persentase jumlah massa kalsium, fosfat, oksida, dan karbon tepung  
309 CaO (Tabel 3) menunjukkan bahwa, persentase kadar kalsium mengalami kenaikan dari  
310 34,65% menjadi  $78,61 \pm 4,58\%$  setelah dikalsinasi dengan suhu 700 °C. Persentase kalsium

**Commented [g5]:** Hasil Analisa Morfologi Tepung CaO dari beberapa perlakuan waktu dan suhu kalsinasi. A: Kalsinasi suhu 700°C selama 4 jam; B: 700°C selama 5 jam; C: 800°C selama 4 jam; D: 800°C selama 5 jam?

311 mengalami kenaikan mulai dari suhu 700 °C sebesar  $78,61\pm4,58\%$  sampai dengan  
312 perlakuan 800 °C selama 5 jam hingga mencapai  $91,96\pm5,07\%$ . Hasil analisa statistik  
313 menunjukkan, suhu dan waktu kalsinasi tidak berbeda nyata pada jumlah massa kalsium  
314 tepung CaO ( $p > 0,05$ ).

315 Untuk persentase kadar fosfat, mengalami kenaikan dari 1,65% pada bahan baku  
316 sampai pada perlakuan 700 °C selama 5 jam menjadi  $3,84\pm1,52\%$ . Akan tetapi, pada  
317 perlakuan suhu 800 °C terjadi penurunan persentase kadar fosfat sebanyak  $5,09\pm2,72\%$ ,  
318 sehingga jika dipanaskan pada suhu tersebut, kandungan fosfat akan mengalami  
319 dekomposisi. Hasil Analisa statistik menunjukkan bahwa suhu dan waktu kalsinasi tidak  
320 berbeda nyata pada jumlah masa fosfat tepung CaO ( $p > 0,05$ ).

321 Kadar oksida, mengalami penurunan yang signifikan. Semakin tinggi perlakuan suhu  
322 dan waktu, maka semakin rendah kadar oksida, dari 11,07% pada bahan baku cangkang  
323 rajungan, menjadi  $2,63\pm1,27\%$  pada perlakuan 800 °C selama 5 jam. Hal ini disebabkan  
324 penguapan saat kalsinasi yang menyebabkan lepasnya kandungan oksida pada cangkang  
325 rajungan. Hasil stastistik juga menunjukkan bahwa waktu kalsinasi tidak berbeda nyata  
326 terhadap kenaikan oksida tepung CaO ( $p > 0,05$ ). Namun suhu diketahui berpengaruh nyata  
327 terhadap kenaikan kadar oksida ( $p < 0,05$ ).

328 Persentase jumlah massa karbon menandakan pembakaran saat kalsinasi sempurna  
329 dalam hal mendekomposisi kandungan karbon pada cangkang rajungan. Persentase karbon  
330 terbesar terdapat pada suhu 700 °C selama 4 jam sebanyak  $8,76\pm2,76\%$ . Sedangkan yang  
331 paling kecil kadar karbonnya terdapat pada suhu 800 °C selama 5 jam sebesar  $3,14\pm1,49\%$ .  
332 Berdasarkan hasil uji statistik , suhu dan waktu kalsinasi tidak berbeda nyata pada jumlah  
333 massa karbon tepung CaO ( $p > 0,05$ ).

334 Tabel 3. Hasil Standar Error Analisa Jumlah Massa Persentase Ca, P, dan O, Dan C  
335 Tepung CaO dengan Instrumen SEM Dengan 2 Kali Pengulangan

336 *Table 3. Results of Standard Error of Percentage Analysis of Ca, P, and O, and C CaO  
337 Powder with SEM Instruments With 2 Repetitions*

NO	Suhu/ Temperature (°C)	Jam /hour	Ca (%)	P (%)	O (%)	C (%)
1	Cangkang rajungan/ Crab shell		34.65	1.65	11.07	49.49
2	700	4	$78.61\pm4.58$	$3.84\pm1.52$	$8.79\pm4.93$	$8.76\pm2.76$
3	700	5	$80.36\pm2.27$	$5.12\pm3.54$	$6.60\pm0.90$	$4.33\pm0.32$
4	800	4	$89.88\pm0.39$	$2.40\pm0.39$	$4.21\pm0.99$	$3.51\pm0.31$
5	800	5	$91.96\pm5.07$	$5.09\pm2.72$	$2.63\pm1.27$	$3.14\pm1.49$

338 Berdasarkan hasil analisa EDS, dapat disimpulkan perlakuan terbaik adalah pada  
339 suhu 800 °C dengan waktu 5 jam karena menghasilkan kadar kalsium yang terbesar.  
340 Tepung CaO ini kemudian dapat diolah lebih lanjut menjadi bubuk hidroksiapatit dengan  
341 dicampur prekursor fosfat. Fosfat jenis  $H_3PO_4$  berfungsi untuk menambahkan kadar fosfat  
342 pada reaksi sintesis hidroksiapatit (Puspita and Cahyaningrum 2017).

### 344 **3.7. Analisa Persentase Derajat Kristalinitas Tepung CaO Cangkang Rajungan**

345 Hasil perhitungan derajat kristalinitas tepung CaO dapat dilihat pada Tabel 4, dan  
346 Gambar 5. Sedangkan analisa kualitatif terdapat pada Gambar 6.

**Commented [g6]:** Cek angkanya

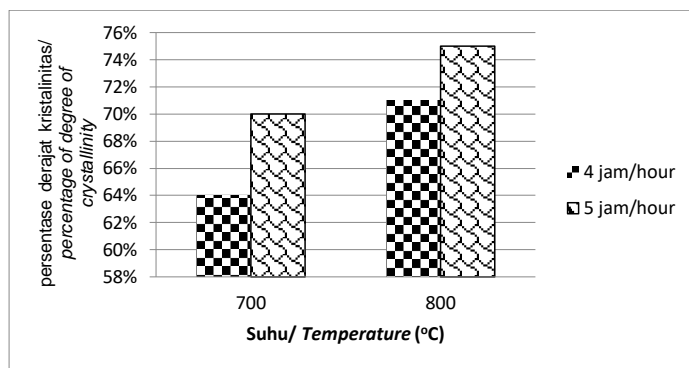
**Commented [g7]:** Tambahkan anotasi statistiknya pada tabel

347 **Tabel 4. Hasil Perhitungan Derajat Kristalinitas Tepung CaO Cangkang Rajungan Dengan**  
 348 **Tanpa Pengulangan**

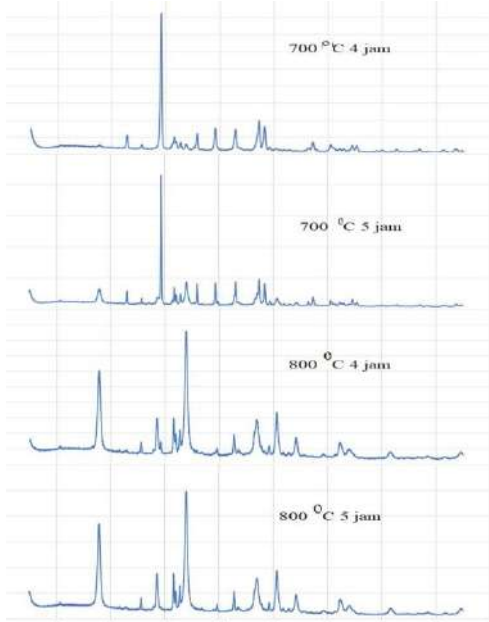
349 **Table 4. Results of Calculation of Degree of Crystallinity of Crab Shell CaO Powder Tanpa**  
 350 **Pengulangan**

Suhu dan Kalsinasi/	Waktu	700°C 4 jam/ 700°C 4 hours	700°C 5 jam/ 700°C 5 hours	800°C 4 jam/ 800°C 4 hours	800°C 5 jam/ 800°C 5 hours
<b>Derajat Kristalinitas/</b> <b>Degree of Crystallinity (%)</b>		64	70	71,67	75,71

**Commented [g8]:** Tabel sama dengan grafik, pilih salah satu, tambahkan standar eror jika hasil rata-rata, tambahkan juga anotasi statistiknya pada table atau grafik



352 **Gambar 5. Persentase Derajat Kristalinitas Tepung CaO Cangkang Rajungan**  
 353 **Figure 5. Percentage Of Degree of Crystallinity of CaO Powder.**



355 **Gambar 6. Hasil Analisa Kualitatif XRD Tepung CaO**  
 356 **Figure 6. Results of Qualitative XRD Analysis of CaO Powder**

358 Berdasarkan diagram pada Gambar 5, dapat disimpulkan bahwa suhu dan waktu  
359 berpengaruh terhadap derajat kristalinitas tepung CaO. Semakin tinggi suhu dan waktu,  
360 maka semakin besar derajat kristalinitas pada tepung CaO cangkang rajungan. Derajat  
361 kristalinitas terendah terdapat pada perlakuan suhu 700 °C 4 jam dengan nilai 64%.  
362 Sedangkan pada perlakuan tertinggi terdapat pada suhu 800 °C selama 5 jam yaitu 75%.  
363 Sebagai material pembuatan hidroksipatit, perlakuan tepung CaO terpilih adalah pada  
364 derajat kristalinitas yang terbesar yaitu pada perlakuan 800 °C selama 5 jam.  
365

366 Pada Gambar 6, getaran gelombang kristalinitas masih terdapat pelebaran  
367 lengkungan getaran atau belum tajam. Hal tersebut menandakan pemanasan masih belum  
368 sepenuhnya sempurna menjadi hidroksipatit, artinya masih harus dilakukan pemanasan  
369 lanjutan. Hal tersebut dikatakan wajar karena masih berupa tepung CaO. Dengan drajat  
370 kristalinitas tepung CaO 75%, dapat dilakukan pemanasan lebih lanjut menjadi hidroksipatit  
371 sehingga pemanasan dapat menjadi sempurna. Selain itu, masih terdapat kontaminan pada  
372 tepung CaO. Jika puncak yang semakin tajam pada grafik, menandakan seluruh perlakuan  
373 hidroksipatit sudah menghasilkan kristal murni. Jika puncak melebar, maka masih terdapat  
374 kontaminan lain atau pemanasan saat kalsinasi atau sintering belum optimal (Negara dan  
375 Simpen 2018).

#### 376 **4. KESIMPULAN**

377 Tepung CaO terbaik terpilih pada perlakuan suhu 800 °C selama 5 jam dengan  
378 karakteristik morfologi penampakan yang halus, berkurangnya granula yang tidak seragam,  
379 dan pori yang lebih kecil, kadar kalsium  $91,96 \pm 5,07\%$ , serta persentase derajat kristalinitas  
380 sebesar 75%. Selanjutnya perlu dilakukan penelitian lanjutan untuk menaikkan suhu diatas  
381 800 °C, sehingga didapatkan morfologi tepung CaO yang lebih halus dan rasio Ca/P yang  
382 lebih rendah mendekati rasio Ca/P hidroksipatit 1,67.

#### 383 **UCAPAN TERIMA KASIH**

384 Ucapan terima kasih kepada pihak Balai Besar Riset Pengolahan Produk dan  
385 Bioteknologi Kelautan dan Perikanan atas dukungan finansial dan fasilitas dalam  
386 melaksanakan penelitian ini.

#### 387 **DAFTAR PUSTAKA**

- 388 Bose, Susmita, Solaiman Tarafder, Joe Edgington, and Amit Bandyopadhyay. 2011.  
389 "Calcium Phosphate Ceramics in Drug Delivery." *Biomaterials for regenerative*  
390 *medicine Calcium* 63(4): 93–98. [www.tms.org/jom.html](http://www.tms.org/jom.html).
- 391 Cahyono, Eko, Juanita Fani Jonas, Bella Anjelika Lalenoh, and Nurfaida Kota. 2019.  
392 "Karakterisasi Kalsium Karbonat (CaCO<sub>3</sub>) Dari Cangkang Landak Laut (Diadema  
393 Setosum)." *Jurnal Fishtech* 8(1): 28–34.
- 394 Dorozhkin, Sergey V. 2010. "Bioceramics of Calcium Orthophosphates." *Biomaterials* 31(7):  
395 1465–85. <http://dx.doi.org/10.1016/j.biomaterials.2009.11.050>.
- 396 Hafiludin. 2015. "Analisis Kandungan Gizi Pada Ikan Bandeng Yang Berasal Dari Habitat  
397 Yang Berbeda." *Jurnal Kelautan* 8(1): 37–43.
- 398 Handayani, Lia, Reza Zuhrayani, Nadia Putri, and Riska Nanda. 2020. "Pengaruh Suhu  
399 Kalsinasi Terhadap Nilai Rendemen CaO." *Jurnal TILAPIA* 1(1): 1–6.
- 400 Hanura, Aditya Bayu, Wini Trilaksani, and Pipih Suptijah. 2017. "Karakterisasi  
401 Nanohidroksipatit Tulang Tuna Thunnus Sp. Sebagai Sediaan Biomaterial." *Jurnal*  
402 *Ilmu dan Teknologi Kelautan Tropis* 9(2): 619–30.  
403 <http://journal.ipb.ac.id/index.php/jurnalikt>.
- 404 Harahap, Ari Wibowo, and Zuchra Helwani. 2015. "Sintesis Hidroksipatit Melalui  
405 Precipitated Calcium Carbonate ( PCC ) Cangkang Kerang Darah Dengan Metode  
406 Hidrotermal Pada Variasi PH Dan Waktu Reaksi." *Jom FTEKNIK* 2(2).
- 407 Henggu, Krisman Umbu, Bustami Ibrahim, and Pipih Suptijah. 2019. "Hidroksipatit Dari  
408 Cangkang Sotong Sebagai Sediaan Biomaterial Perancah Tulang." *JPHPI, Masyarakat*  
409 *Pengolahan Hasil Perikanan Indonesia* 22(1): 1–13.

- 410 Ichsan, R.H.N.A, Zuchra Helwani, and Zultiniar. 2015. "Sintesis Hidroksiapatit Melalui  
411 Precipitated Calcium Carbonate (PCC) Dari Cangkang Kerang Darah Dengan Metode  
412 Hidrotermal Pada Variasi Waktu Reaksi Dan Rasio Ca/P." *JOM FTEKNIK* 2(2): 1–9.
- 413 Kantharia, Nidhi et al. 2014. "Nano-Hydroxyapatite and Its Contemporary Applications."  
414 *Journal of Dental Research and Scientific Development* 1(1): 15.
- 415 Khoirudin, Mukhlis, Yelmida, and Zultiniar. 2017. "Sintesis Dan Karakterisasi Hidroksiapatit  
416 Dari Kulit Kerang Darah (Anadara Granosa) Dengan Proses Hidrotermal." *Jom  
417 FTEKNIK* 2(2): 1–8.
- 418 Kolmas, Joanna, Sylvester Krukowski, Aleksandra Laskus, and Maria Jurkiewicz. 2016.  
419 "Synthetic Hydroxyapatite in Pharmaceutical Applications." *Ceramics International*  
420 42(2): 2472–87. <http://dx.doi.org/10.1016/j.ceramint.2015.10.048>.
- 421 Kurniawan, Akhmad et al. 2014. "Studi Pengaruh Variasi Suhu Kalsinasi Terhadap  
422 Kekerasan Bentuk Morfologi, Dan Analisis Porositas Nanokomposit CaO/SiO<sub>2</sub> Untuk  
423 Aplikasi Bahan Biomaterial." *Jurnal Penelitian Fisika dan Aplikasinya (JPFA)* 4(2): 22.
- 424 Kurniawan, Asep Mufti, Sri Hartini, and Margareta Novian Cahyanti. 2019. "Pengaruh  
425 Konsentrasi Fosfat Terhadap Perbandingan Ca / P Hidroksiapatit Dari Limbah Gipsum  
426 Industri Keramik." *Ilmu-ilmu MIPA* 19(1): 46–56.
- 427 Kusumaningrum, Indrati, Doddy Sutono, and Bagus Fajar. 2016. "Pemanfaatan Tulang Ikan  
428 Belida Sebagai Tepung Sumber Kalsium Dengan Metode Alkali." *Jphpi* 19(2): 148–55.
- 429 Malau, N.D., and S.F. Azzahra. 2020. "Pengaruh Waktu Kalsinasi Terhadap Karakteristik  
430 Kristal CaO Dari Limbah Cangkang Kepiting." *Jurnal Pendidikan, Matematika, dan  
431 Sains* 5(1): 83–92. <http://ejournal.uki.ac.id/index.php/edumatsains>.
- 432 Negara, I Made Sutha, and I Nengah Simpen. 2018. "Karakteristik Hidroksiapatit Hasil  
433 Ekstraksi Termal Dari Tulang Limbah Dan Aplikasinya Untuk Adsorpsi Ion Selektif Biru  
434 Metilen." *Cakra Kimia* 6(2): 123–30.
- 435 Ngapa, Yulius D. 2018. "Sintesis Dan Karakterisasi Hidroksiapatit ( HA ) Dari Limbah  
436 Dengan Metode Basah Presipitasi." *Jurnal Dinamika Sains* 2(1): 67–72.
- 437 Purwasasmita, BS, and RS Gultom. 2008. "Sintesis Dan Karakterisasi Serbuk Hidroksiapatit  
438 Skala Sub Mikron Menggunakan Metode Presipitasi." *Jurnal Bionatura* 10(2): 155–67.
- 439 Puspita, Fenty Wiana, and Sari Edi Cahyaningrum. 2017. "Sintesis Dan Karakterisasi  
440 Hidroksiapatit Dari Cangkang Telur Ayam Ras (*Gallus Gallus*) Menggunakan Metode  
441 Pengendapan Basah." *UNESA Journal of Chemistry* 6(2): 100–106.
- 442 Raya, Indah et al. 2015. "Shynthesis and Characterizations of Calcium Hydroxyapatite  
443 Derived from Crabs Shells ( *Portunus Pelagicus* ) and Its Potency in Safeguard against  
444 to Dental Demineralizations." *International Journal ofBiomaterials* 2015.
- 445 Rizkayanti, Yazida, and Yusril Yusuf. 2019. "In Press , Accepted Manuscript – Note to Users  
446 Optimization of the Temperature Synthesis of Hydroxyapatite from Indonesian Crab  
447 Shells In Press , Accepted Manuscript – Note to Users." *International Journal of  
448 Nanoelectronics and Materials In*.
- 449 Rosalina, Wenny, Andries Pascawinata, and Masra Roesnoer. 2017. "Karakteristik Scaffold  
450 Hidroksiapatit Dari Gigi Manusia Menggunakan Uji X-Ray Diffraction (XRD)." *Jurnal B-  
451 Dent* 4(2): 133–40.
- 452 Suharto, Slamet, Romadhon, and Sri Redjeki. 2016. "Analisis Susut Bobot Pengukusan Dan  
453 Rendaman Pengupasan Rajungan Berukuran Berbeda Dan Rajungan Bertelur."  
454 *Fisheries Science and Technology (IJFST)* 12(1): 47–51.
- 455 Sunardi, Utami Irawati, and Totok Wianto. 2011. "Karakterisasi Kaolin Lokal Kalimantan  
456 Selatan Hasil Kalsinasi." *Jurnal Fisika FLUX* Vol 8: 59–65.
- 457 Supangat, Dicky, and Sari Edi Cahyaningrum. 2017. "Sintesis Dan Karakterisasi  
458 Hidroksiapatit Dari Cangkang Kepiting (*Scylla Serrata*) Dengan Metode Pengendapan  
459 Basah." *UNESA Journal of Chemistry* 6(3): 143–49.
- 460 Warastuti, Yessy, and Basril Abbas. 2011. "Sintesis Dan Karakterisasi Pasta Injectable Bone  
461 Substitute Irradiasi Berbasis Hidroksiapatit." *A Scientific Journal for The Applications of  
462 sotopes and Radiation* 7(2): 73–82.
- 463 Yang, Yushi et al. 2014. "Hydrothermal Synthesis of Hydroxyapatite with Different  
464 Morphologies : Influence of Supersaturation of the Reaction System Hydrothermal

465  
466  
467  
468

Synthesis of Hydroxyapatite with Different Morphologies: Influence of Supersaturation of the Reaction System." *American Chemical Society, Crystal Growth & Design* (January 2019). <https://www.researchgate.net/publication/272135311>.

# PENGARUH SUHU DAN WAKTU KALSINASI TERHADAP KARAKTERISTIK TEPUNG KALSIUM OKSIDA (CaO) DARI CANGKANG RAJUNGAN (*Portunus sp.*) SEBAGAI BAHAN BAKU HIDROKSIAPATIT

(Effect Of Temperature And Time Of Calcination On The Characteristics Of Calcium Oxide (CaO) Powder From Blue Swimming Crab (*Portunus Sp*) Shells As A Hydroxyapatite Raw Material)

## ABSTRAK

Penelitian ini bertujuan untuk mengkalsinasi cangkang rajungan (*Portunus sp.*) menjadi tepung kalsium oksida (CaO) sebagai bahan baku sintesis hidroksiapatit. Kalsinasi merupakan salah satu tahapan penting dalam sintesis hidroksiapatit, karena kemurnian tepung CaO sangat bergantung pada suhu dan waktu kalsinasi. Pada penelitian ini, cangkang rajungan dikalsinasi pada suhu 700 dan 800 °C selama 4 dan 5 jam. Tepung CaO kemudian diidentifikasi gugus fungsi, morfologi, komposisi dan kristalinitas dengan menggunakan *fourier-transform infrared spectroscopy* (FTIR), *scanning electron microscope* (SEM) dengan *energy dispersive spectroscopy* (EDS) dan *X-Ray diffraction* (XRD). Hasil penelitian menunjukkan bahwa kalsinasi pada suhu 800 °C selama 5 jam menghasilkan morfologi yang lebih seragam pada ukurannya, dan pori-pori yang lebih halus dan lebih kecil dibanding perlakuan lainnya. Selain itu, kadar kalsium yang dihasilkan pada perlakuan ini lebih besar ( $91,96 \pm 5,07\%$ ) dibanding dengan perlakuan lainnya. Hasil analisa XRD pada perlakuan ini menghasilkan derajat kristalinitas sebesar 75%. Dari beberapa hasil tersebut dapat disimpulkan bahwa proses kalsinasi pada suhu 800 °C selama 5 jam menghasilkan tepung CaO yang baik untuk dijadikan bahan baku sintesis hidroksiapatit. Perlakuan suhu dan waktu tidak berbeda nyata terhadap hasil perhitungan rendemen, jumlah massa kalsium, serta fosfat. Akan tetapi, perlakuan suhu dan waktu berbeda nyata terhadap jumlah massa karbon, dan oksida.

**Kata kunci :** Cangkang rajungan, Kalsinasi, Tepung CaO

## ABSTRACT

*This study aims to calcine the crab shell (*Portunus sp.*) Into calcium oxide (CaO) powder as a raw material for hydroxyapatite synthesis. Calcination is one of the important steps in hydroxyapatite synthesis because the purity of CaO powder is very dependent on the temperature and time of calcination. The crab shell calcination was carried out at 700 and 800 °C for 4 and 5 h. The CaO powder were identified its functional groups, morphology, composition and crystallinity using fourier-transform infrared spectroscopy (FTIR), scanning electron microscope (SEM) with energy dispersive spectroscopy (EDS) and X-Ray diffraction (XRD). The results showed calcinantwort at 800 °C for 5 hours gave uniform size, and finer and smaller pores compare to others combination process. In addition, the total mass of calcium content produced in this treatment also higher ( $91.96 \pm 5.07\%$ ) compare to other treatments with 75% degree of crystallinity using XRD analysis. To be conclude, calcination at 800 °C for 5 h was yielded CaO powder that could be used as the raw material for hydroxyapatite synthesis. The temperature and time treatments were not significantly different from the yield, total mass of calcium, and phosphate. However, the temperature and time treatments were significantly different on the mass of carbon and oxides.*

**Keywords:** crab shell, calcination, CaO powder

## 1. PENDAHULUAN

Cangkang rajungan merupakan hasil samping produksi pengolahan rajungan yang belum optimal dimanfaatkan. Dalam industri pengolahan rajungan di Indonesia, sebagian

45 besar rajungan dimanfaatkan dagingnya sebanyak 30,07% sampai 42,1% sebagai produk  
46 kaleng (Suharto, Romadhon, & Redjeki, 2016). Dari nilai tersebut, 50%nya merupakan  
47 cangkang rajungan yang merupakan limbah produksi. Padahal, cangkang rajungan memiliki  
48 kalsium karbonat ( $\text{CaCO}_3$ ) sekitar 40 sampai 70% (Suharto, Romadhon, and Redjeki 2016),  
49 yang berperan sebagai pembentuk kalsium untuk hidroksipapatit (Raya, Mayasari, Yahya,  
50 Syahrul, & Latunra, 2015). Hidroksipapatit merupakan anggota mineral apatit yang  
51 mengandung hidroksida dengan rumus kimia  $\text{Ca}_{10}(\text{PO}_4)_6(\text{OH})_2$  (Ngapa 2018), serta memiliki  
52 kadar basa atau netral sebagai komponen utama jaringan tulang yang bersifat rapuh (Yang  
53 et al. 2014). Kebutuhan hidroksipapatit dalam negeri masih sangat kurang. Dalam data BPPT  
54 (2015), Indonesia masih mengimpor hidroksipapatit dengan harga Rp. 1,5 miliar per 5 mg  
55 untuk perancah tulang (Henggu, Ibrahim, & Suptijah, 2019). Oleh karena itu, cangkang  
56 rajungan memiliki potensi untuk di ekstraksi kalsiumnya menjadi bahan baku hidroksipapatit  
57 dalam negeri.

58 Pada bidang farmasi, hidroksipapatit berfungsi sebagai *Drug Delivery System*, yaitu  
59 media penghantar obat lewat strukturnya yang berpori. Jadi obat-obatan dimasukkan dalam  
60 pori-pori hidroksipapatit dan mengirimkan ke area yang akan diobati untuk mencegah  
61 osteoporosis atau kerapuhan tulang (Bose, Tarafdel, Edgington, & Bandyopadhyay, 2011).  
62 Selain itu, hidroksipapatit berfungsi sebagai anti kanker pada penyakit kanker tulang, dimana  
63 hidroksipapatit akan memperbaiki tulang yang terkikis, serta mengisi jaringan tulang yang  
64 hilang (Kolmas, Krukowski, Laskus, & Jurkiewicz, 2016). Hidroksipapatit juga diaplikasikan  
65 sebagai keramik biokompatibel yang berkontak dengan jaringan tulang (*bone tissue*), dan  
66 sebagai pelapis (*coating*) pada implan tulang manusia (Harahap & Helwani 2015).  
67 Hidroksipapatit selanjutnya dimanfaatkan sebagai pasta IBS yang disintesis dengan  
68 menggunakan radiasi dan dapat digunakan sebagai graft biomaterial (Warastuti & Abbas  
69 2011).

70 Sebelum menjadi hidroksipapatit, cangkang rajungan perlu dijadikan tepung kalsium  
71 oksida ( $\text{CaO}$ ) untuk menghilangkan unsur karbonat pada  $\text{CaCO}_3$ . Keberadaan karbonat  
72 dalam cangkang rajungan harus didekomposisi karena akan menghambat pembentukan  
73 hidroksipapatit. Proses dekomposisi tersebut membantu menghasilkan kalsium atau tepung  
74  $\text{CaO}$  yang tinggi (Khoirudin, Yelmida, & Zultiniar, 2017). Tepung  $\text{CaO}$  merupakan salah satu  
75 prekursor kalsium pada hidroksipapatit yang direaksikan dengan fosfat sehingga membentuk  
76 rasio kalsium dan fosfat ( $\text{Ca}/\text{P}$ ). Salah satu tanda hidroksipapatit terbaik adalah adanya rasio  
77  $\text{Ca}/\text{P}$  dengan nilai 1,67 (Kantharia et al. 2014). Oleh karena itu perlu dilakukan metode  
78 perlakuan untuk mengubah cangkang rajungan menjadi tepung  $\text{CaO}$ .

79 Metode kalsinasi bertujuan melepaskan unsur-unsur karbonat pada cangkang  
80 rajungan. Metode ini merupakan reaksi endotermik, dimana membutuhkan panas dari luar  
81 untuk melepas kandungan air, senyawa organik, serta  $\text{CO}_2$  pada sampel (Supangat and  
82 Cahyaningrum 2017). Prinsip metode ini yaitu melakukan sistem pembakaran tanpa  
83 menggunakan udara untuk melepaskan zat yang mudah terbakar seperti  $\text{CO}$ ,  $\text{CH}_4$ ,  $\text{H}_2$ , serta  
84 yang tidak mudah terbakar seperti  $\text{CO}_2$  dan  $\text{H}_2\text{O}$ . Proses kalsinasi dapat dilakukan pada  
85 suhu 500 – 700 °C untuk temperatur rendah, suhu 700 – 900 °C untuk temperatur sedang,  
86 dan >900 °C untuk temperatur tinggi (Handayani, Zuhrayani, Putri, & Nanda, 2020). Oleh  
87 karena itu, temperatur kalsinasi sangat menentukan  $\text{CaO}$  yang dihasilkan, selain itu faktor  
88 bahan baku dan waktu pemanasan yang dipakai juga akan menentukan kualitas tepung  
89  $\text{CaO}$  tersebut.

90 Dalam penelitian sebelumnya, kalsinasi cangkang landak laut pada suhu 600 °C  
91 selama 2 jam, menghasilkan tepung  $\text{CaO}$  dengan kadar kalsium  $25,53 \pm 2,5\%$  (Cahyono,  
92 Jonas, Lalenoh, & Kota, 2019). Selanjutnya, pada cangkang kepiting yang dikalsinasi  
93 menjadi tepung  $\text{CaO}$  dengan suhu 1000 °C selama 6 dan 10 jam, menghasilkan warna yang  
94 putih dengan struktur kristal, tetapi tidak berbentuk amorf (Malau and Azzahra 2020). Pada  
95 penelitian cangkang rajungan Rizkayanti dan Yusuf (2019), telah dilakukan penelitian  
96 tentang kalsinasi  $\text{CaO}$  dengan suhu 1000 °C selama 3 jam, tetapi belum diketahui  
97 bagaimana karakteristik kadar kalsium, gugus fungsi yang terbentuk, serta derajat  
98 kristalinitasnya. Selain itu, belum ada penelitian yang menjelaskan hasil tepung  $\text{CaO}$  dari  
99 cangkang rajungan dengan pemakaian suhu sedang.

100 Oleh karena itu, penelitian ini mencoba mengetahui karakteristik tepung CaO dari  
101 cangkang rajungan, dengan perlakuan suhu di level sedang dengan waktu berbeda.  
102 Tujuannya adalah untuk mendapatkan tepung CaO terbaik dari 4 perlakuan kalsinasi  
103 terhadap rendemen, gugus fungsi, morfologi, kadar kalsium, fosfat, dan oksida, serta  
104 persentase kristalinitas sebagai bahan dasar hidroksiapatit.

## 105 **2. BAHAN DAN METODE**

### 106 **2.1. Bahan**

107 Bahan utama yang dipakai pada penelitian ini adalah cangkang rajungan yang berasal  
108 dari unit pengolahan rajungan di TPI Pasir Putih, Karawang Jawa Barat. Cangkang rajungan  
109 semi basah dikemas dalam karung untuk kemudian diangkut menuju Balai Besar Riset  
110 Pengolahan Produk dan Bioteknologi Kelautan dan Perikanan (BBRP2B-KP) di Jakarta.

### 111 **2.2. Metode**

112 Tahapan kalsinasi cangkang rajungan mengacu pada metode Rizkayanti dan Yusuf  
113 (2019). Cangkang rajungan semi basah dicuci menggunakan air bersih segera setelah  
114 sampai di Laboratorium. Cangkang dibersihkan dari kotoran dan sisa daging yang  
115 menempel dengan cara menyikat cangkang. Cangkang yang telah disikat kemudian dicuci  
116 kembali dengan air bersih. Cangkang yang telah bersih dijemur dengan menggunakan para  
117 hingga kering selama 2 hari. Cangkang kering selanjutnya dihancurkan dengan mesin  
118 blender HR2106 (*philips*, Belanda) dengan kecepatan 30 rpm. Tujuan pemakaian blender  
119 adalah proses nya yang cepat dan kapasitas mesin yang mampu menghancurkan cangkang  
120 rajungan sampai sedikit halus. Setelah dihancurkan, cangkang kemudian disaring dengan  
121 kertas saring 100 mesh.

122 Tepung cangkang rajungan selanjutnya dikalsinasi dengan mesin furnace 6000  
123 (*barnstead*, USA). Tujuan pemakaian mesin furnace ini karena mampu mengkalsinasi  
124 sampel sampai 1000 °C, selain itu, mesin ini aman dan mudah untuk digunakan. pada suhu  
125 level sedang, yaitu dengan suhu 700, dan 800 °C serta dengan variabel waktu selama 4 dan  
126 5 jam. Penggunaan kalsinasi tepung CaO dari cangkang rajungan dengan suhu sedang  
127 dikarenakan belum pernah dilakukan pada penelitian sebelumnya.

128 Setelah kalsinasi, suhu pada mesin furnace diturunkan sampai 300 °C, selanjutnya  
129 mesin furnace dimatikan, dan tepung CaO dibiarkan dalam furnace selama 5 jam. Tepung  
130 CaO yang dihasilkan kemudian dilakukan pengangkatan dengan spatula ke dalam  
131 desikator. Tepung CaO didiamkan selama 3 jam. Tepung CaO yang dihasilkan selanjutnya  
132 dilakukan perhitungan rendemen, analisa gugus fungsi, derajat kristalinitas, morfologi, dan  
133 kadar kalsium, fosfat, oksida, serta karbon.

### 134 **2.3. Analisa proksimat cangkang rajungan**

135 Cangkang rajungan yang sudah disaring, kemudian diambil sampel untuk dianalisa  
136 proksimat. Analisa proksimat meliputi kadar air (SNI 01-2354.2:2006), kadar lemak (SNI 01-  
137 2354.3-2006), kadar protein (SNI 01-2354.4-2006), dan kadar abu (SNI 2354.1:2010).

### 138 **2.4. Perhitungan Rendemen**

139 Perhitungan rendemen dilakukan dengan membandingkan berat tepung CaO,  
140 dibandingkan dengan tepung cangkang rajungan kering sebelum proses kalsinasi.  
141 Selanjutnya hasil pembagian dikalikan 100% untuk mendapatkan persentase rendemen  
142 tepung CaO.

### 143 **2.5. Analisa gugus fungsi**

144 Analisa gugus fungsi menggunakan instrument mesin *Spectrum One FTIR* (*fourier*  
145 *transform infrared spectroscopy*), seri C69526 (*Perkin Elmer Precisely*, Jerman) yang  
146 mampu membaca bilangan gelombang 4.000-400 cm<sup>-1</sup> dengan resolusi 4 cm<sup>-1</sup>. Sebelum  
147 dilakukan analisa gugus fungsi sampel dipelletkan dengan KBr. Sebanyak 2 mg sampel  
148 dicampur dengan pellet KBr dengan perbandingan 1/100, selanjutnya dimasukkan ke dalam

149 logam untuk dilakukan pengepresan dan pemvakuman dengan tekanan 7 ton selama 15  
150 menit.sampel yang sudah di vakum selanjutnya dimasukkan ke intrumen FTIR. Langkah  
151 selanjutnya adalah pembacaan gelombang gugus fungsi dengan aplikasi *spectrum* 9.

## 152 **2.6. Analisa morfologi**

153 Analisa morfologi menggunakan instrument SEM (*Scanning Electron Microscopy*).  
154 Tepung CaO diambil secara *swab*, diletakkan pada plat logam tembaga yang berbentuk  
155 bulat (*sample holder*). Selanjutnya, dilakukan proses pelapisan (*coating*) selama 1 menit  
156 dengan lapisan emas, agar sampel memiliki sifat konduktif. Mikrostruktur tepung CaO  
157 diamati menggunakan aplikasi software *JEOL 6000*, serta diambil gambarnya dengan  
158 perbesaran hingga 1000 kali. Proses pengukuran dilakukan pada akselerasi tegangan 20 kV.

## 159 **2.7. Analisa Persentase Kalsium, Fosfat, Karbon, dan Oksida**

160 Analisa persentase kadar kalsium, fosfat, dan oksida menggunakan SEM (*Scanning*  
161 *Electron Microscopy*), yang sudah dilengkapi EDS (*Energy Dispersive Spectroscopy*) untuk  
162 menentukan persentase kadar kalsium, fosfat, dan oksida. Tepung CaO diambil secara  
163 *swab*, diletakkan pada plat sampel (*sample holder*). tepung CaO diamati menggunakan  
164 aplikasi software *JEOL 6000*, dengan perbesaran 1000 kali. Proses pengukuran dilakukan  
165 pada akselerasi tegangan 20 kV. Selanjutnya objek diambil secara area, selanjutnya  
166 dilakukan analisa terhadap persentase kalsium, fosfor, dan oksida. Jumlah massa yang  
167 dihasilkan oleh software dijadikan dasar dalam perhitungan persentase kadar kalsium,  
168 fosfat, karbon, dan oksida.

## 169 **2.8. Analisa derajat kristalinitas**

170 Analisa persentase kristalinitas tepung CaO dilakukan di Laboratorium Pusat  
171 Penelitian Kimia, Lembaga Ilmu Pengetahuan Indonesia (LIPI), Serpong, Tangerang  
172 Selatan. Analisa persentase derajat kristalinitas dilakukan dengan metode kuantitatif  
173 menggunakan instrument *X-ray Difraction* tipe *Rigaku Smartlab* , selanjutnya hasil analisa  
174 dilakukan perhitungan dengan rumus di bawah ini berdasarkan Purwasasmita dan Gultom  
175 (2008).

$$176 \% \text{ Kristalinitas} = 1 - ((V110-I300)/I300) \times 100\%$$

177 Keterangan;

178 V110-I300 = puncak terendah antara puncak hasil difraksi 112 sampai 300

179 I300 = intensitas puncak yang dihasilkan V300

## 180 **2.9. Analisa Statistik**

181 Data diolah menggunakan dengan aplikasi SPSS seri 23 dalam mengolah nilai rata-  
182 rata, dan standar error pada analisa proksimat, perhitungan rendemen, serta analisa jumlah  
183 kadar kalsium, fosfat, karbon, dan oksida. Selanjutnya, pemakaian *analysis of varian*  
184 (*ANOVA*) one ways untuk perbedaan nyata atau tidaknya perhitungan rendemen, serta two  
185 ways untuk menganalisa perbedaan nyata atau tidaknya pada analisa jumlah kadar kalsium,  
186 fosfat, karbon, dan oksida.

## 187 **3. HASIL DAN PEMBAHASAN**

### 188 **3.1. Analisa Proksimat Cangkang Rajungan**

189 Hasil pengujian proksimat cangkang rajungan dapat dilihat pada Tabel 1. Hasil yang  
190 ditampilkan merupakan hasil analisa dari 3 kali ulangan dan standard error.

191 Tabel 1. Hasil Standar Error Analisa Proksimat Cangkang Rajungan

192 *Table 1. Results of Standard Error of Analysis of Proximate Of Crab Shell*

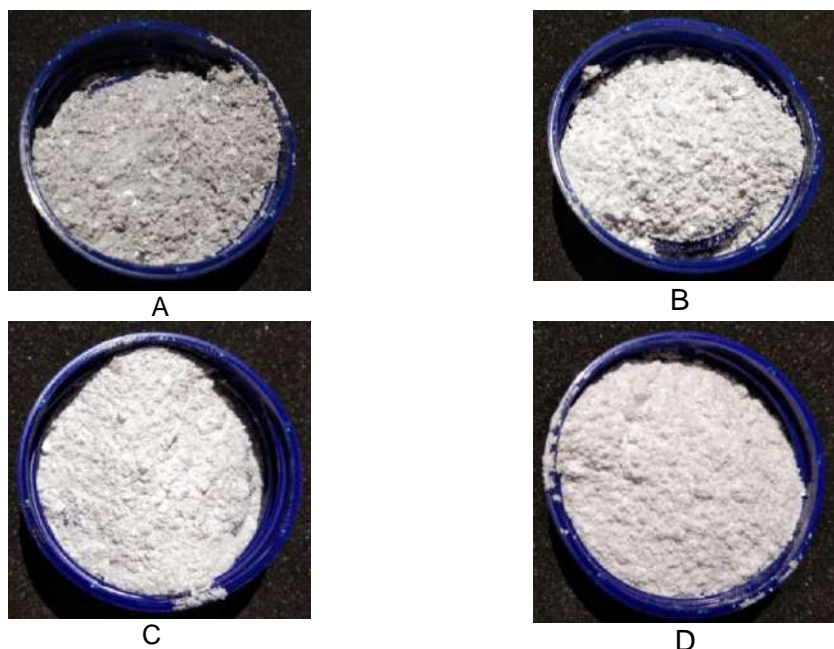
PROKSIMAT/ <i>Proximate</i>	Air/Moisture	Abu/Ash	Lemak/ Fat	Protein/ <i>Protein</i>
Nilai Rata-Rata dan Standar Error/ <i>Average Value and Standard Error (%)</i>	7.36±0.001	63.12±0.004	0.28±0.004	13.18±0.006

193 Ket: n = 3

194 Cangkang rajungan memiliki sedikit lemak dan air dengan rata-rata masing-masing  
195  $0,28 \pm 0,004\%$  dan  $7,36 \pm 0,001\%$ . Tetapi, cangkang rajungan memiliki kadar abu yang tinggi  
196 sekitar  $63,12 \pm 0,004\%$ . Sedangkan protein, hanya sekitar  $13,18 \pm 0,006\%$ . Tingginya kadar  
197 abu menggambarkan unsur mineral dan kekerasan cangkang rajungan. Kadar abu pada  
198 cangkang rajungan lebih besar dibandingkan dengan kadar proksimat lainnya. Hal tersebut  
199 juga dibuktikan pada penelitian Lubena et al. (2020), yang menyatakan cangkang rajungan  
200 mengandung kadar abu lebih besar 44,03%, daripada kadar protein 29,91%, dan kadar air  
201 0,45%. Semakin besar kadar abu dibandingkan kadar protein, maka cangkang rajungan  
202 semakin keras dan memiliki kandungan mineral yang tinggi (Kusumaningrum, Sutono, &  
203 Fajar, 2016). Dalam kandungan mineral terdapat mineral makro yaitu Ca, Mg, Na, dan K  
204 (Hafiludin 2015). Hal ini berarti cangkang rajungan dapat dijadikan sebagai tepung kalsium  
205 oksida (CaO) karena memiliki nilai kadar abu yang tinggi dibandingkan kadar protein, air,  
206 dan lemak. Artinya, kalsium pada cangkang rajungan memungkinkan dijadikan bubuk  
207 hidroksiapatit dengan menambahkan prekursor fosfat.

208 **3.2. Penampakan Tepung CaO Cangkang Rajungan**

209 Hasil penampakan tepung CaO dapat dilihat pada Gambar 1.



210 Gambar 1. Tepung CaO hasil kalsinasi tepung cangkang rajungan pada berbagai perlakuan  
211 suhu dan waktu kalsinasi; A. Perlakuan kalsinasi  $700\text{ }^{\circ}\text{C}$  selama 4 jam, B.  $700\text{ }^{\circ}\text{C}$   
212 selama 5 jam, C.  $800\text{ }^{\circ}\text{C}$  selama 4 jam, D.  $800\text{ }^{\circ}\text{C}$  selama 5 jam.

213 *Figure 1. CaO powder from calcination of crab shell powder with temperature and time  
214 treatments; A. calcination treatments of  $700\text{ }^{\circ}\text{C}$  for 4 hours, B.  $700\text{ }^{\circ}\text{C}$  for 5 hours,  
215 C.  $800\text{ }^{\circ}\text{C}$  for 4 hours, D.  $800\text{ }^{\circ}\text{C}$  for 5 hours.*

216 Hasil penampakan tepung CaO dengan suhu  $700\text{ }^{\circ}\text{C}$  selama 4 jam memiliki warna  
217 putih kehitaman, artinya belum sepenuhnya menghasilkan warna yang seragam. Selain itu,  
218 tekstur tepung CaO masih kasar dan belum sepenuhnya menjadi abu. Untuk suhu  $700\text{ }^{\circ}\text{C}$   
219 selama 5 jam, penampakan tepung CaO hampir seluruhnya putih, tetapi masih ada  
220 cangkang yang berwarna kehitaman.

221 Tepung CaO pada perlakuan suhu  $800\text{ }^{\circ}\text{C}$  selama 4 jam telah menjadi putih  
222 sedikit kemerahan. Sedangkan, pada saat dikalsinasi 5 jam, tekstur tepung CaO sangat  
223 halus dan mulai menunjukkan warna putih seragam. Menurut Kusrini dan Sontang (2012),  
224 warna tepung CaO setelah kalsinasi berwarna hitam, menandakan bahwa dekomposisi

matriks organik seperti protein dan kolagen tidak sempurna. Sedangkan warna putih menandakan sebaliknya dalam hal dekomposisi matriks organik yang sempurna (Rosalina, Pascawinata, & Roesnoer, 2017). Berdasarkan morfologi hasil kalsinasi tepung CaO, maka dipilih perlakuan 800 °C selama 5 jam yang menghasilkan warna putih dan tekstur halus.

### 3.3. Rendemen Tepung CaO

Berdasarkan jumlah perhitungan rendemen sebanyak 2 kali pengulangan proses, perlakuan suhu 700 °C selama 4 jam menghasilkan rendemen terbesar yaitu  $62,10 \pm 1,43\%$ , sedangkan pada perlakuan 800 °C selama 5 jam yaitu sebesar  $41,68 \pm 0,02\%$ . Rendemen 800 °C menjadi rendemen terkecil, hal ini disebabkan banyaknya berat karbon yang hilang pada cangkang, karena perlakuan suhu dan waktu kalsinasi. Semakin rendah persentase rendemen, maka semakin baik dekomposisi  $\text{CO}_2$  sehingga CaO yang dihasilkan sempurna (Handayani et al., 2020). Berdasarkan ANOVA one ways, perlakuan suhu 700 °C tidak berbeda nyata terhadap perhitungan rendemen, hal ini dibuktikan dengan nilai signifikan lebih dari 0,05 yaitu 0,434 ( $p < 0,05$ ), sedangkan pada perlakuan suhu 800 °C menunjukkan hasil berbeda nyata dibawah 0,05 yaitu 0,006. Oleh karena itu, untuk perhitungan rendemen terbaik didapatkan pada perlakuan suhu 800 °C. Hasil perhitungan rendemen tepung CaO sesudah kalsinasi, dapat dilihat pada Tabel 2.

Tabel 2. Hasil Perhitungan Standar Error Rendemen Tepung CaO Cangkang Rajungan

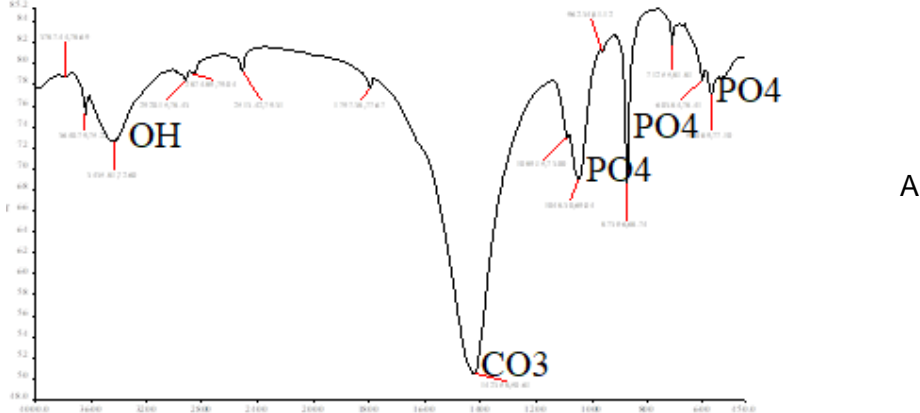
Table 2. Results of Calculation of Standard Error of Yield of Crab Shell CaO Powder

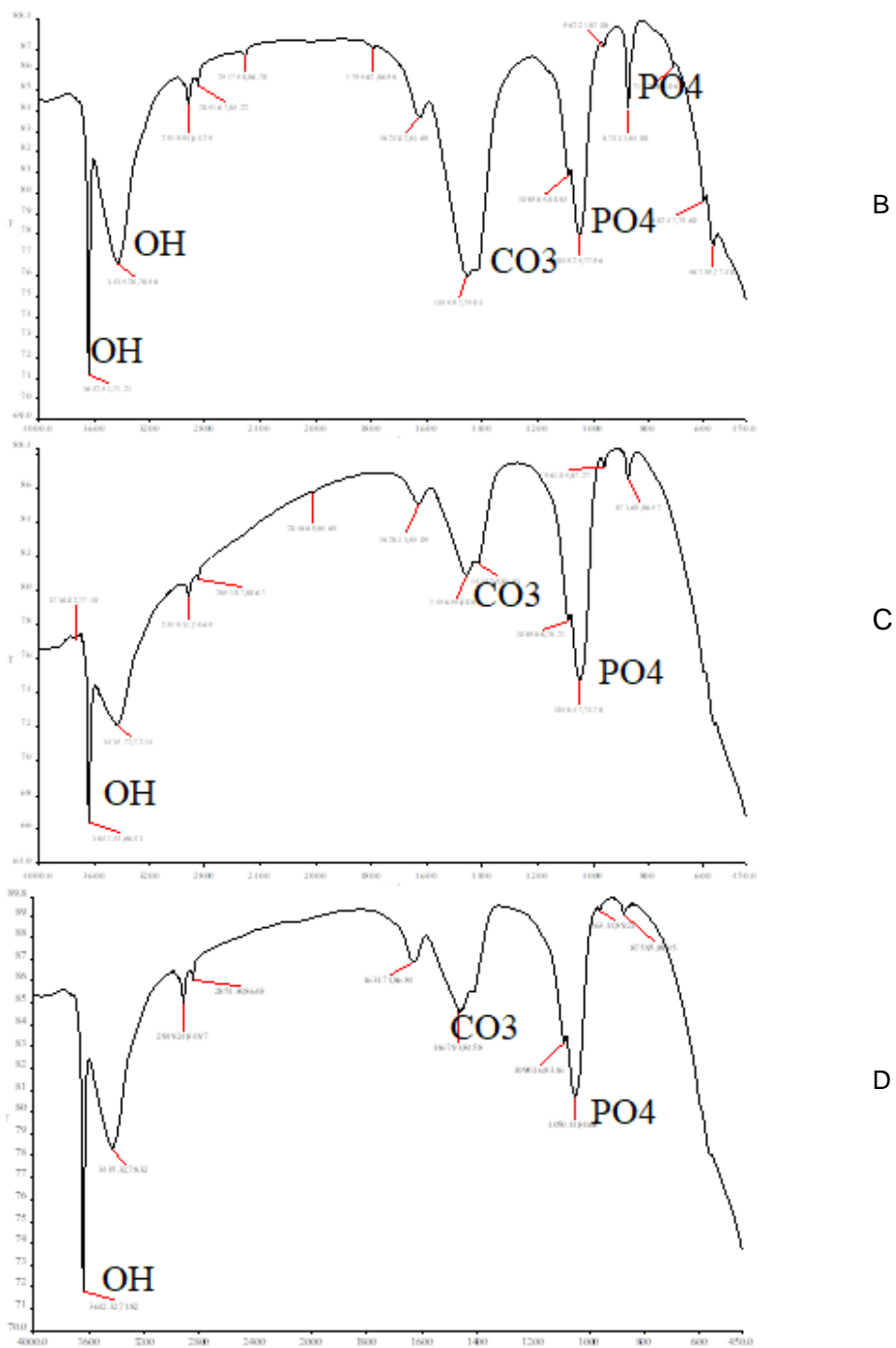
Suhu dan Waktu Kalsinasi/ Temperature and Time Of Calcination	700°C 4 jam/ 700°C 4 hours	700°C 5 jam/ 700°C 5 hours	800°C 4 jam/ 800°C 4 hours	800°C 5 jam/ 800°C 5 hours
Rata-rata dan Standar Error Rendemen/ Average and Standard Error of Yield (%)	$62.10 \pm 1.43$	$60.07 \pm 0.09$	$43.38 \pm 0.19$	$41.68 \pm 0.02$

Ket : n = 6 (n per proses = 3)

### 3.4. Analisa Karakteristik Gugus Fungsi Tepung CaO Cangkang Rajungan

Hasil analisa karakteristik gugus fungsi dapat dilihat pada Gambar 2.





247 Gambar 2. Hasil Analisa Gugus Fungsi Tepung Cao Cangkang Rajungan pada berbagai  
248 perlakuan suhu dan waktu kalsinasi; A. Perlakuan kalsinasi 700 °C selama 4 jam,  
249 B. 700 °C selama 5 jam, C. 800 °C selama 4 jam, D. 800 °C selama 5 jam.

250 *Figure 2. Results of Analysis of Molecule Groups of Cao Powder From Crab Shells with*  
251 *temperature and time treatments; A. calcination treatments of 700 °C for 4 hours,*  
252 *B. 700 °C for 5 hours, C. 800 °C for 4 hours, D. 800 °C for 5 hours.*

253 Hasil analisa gugus fungsi pada Gambar 2 menjelaskan bahwa, gugus fosfat ( $\text{PO}_4^{3-}$ )  
254 muncul pada perlakuan suhu 700 °C selama 4 jam terdeteksi sebanyak tujuh lengkungan  
255 tajam pada gelombang 1089,15; dan 1048,30  $\text{cm}^{-1}$ . Selanjutnya pada perlakuan 700 °C  
256 selama 5 jam masih terdapat tujuh lengkungan tajam, tetapi terjadi peningkatan pada  
257 gelombang  $\text{PO}_4^{3-}$  1089,85; dan 1049,25  $\text{cm}^{-1}$ . Sedangkan pada perlakuan 800 °C,  
258 berkurangnya lengkungan tajam menjadi empat yaitu pada saat 4 jam dengan gelombang  
259 1089,86; dan 1048,47  $\text{cm}^{-1}$ , serta saat 5 jam dengan gelombang 1090,16; dan 1050,11  $\text{cm}^{-1}$ .

Berkurangnya lengkungan tajam, menandakan bahwa kandungan fosfat pada tepung CaO berkurang. Pada empat perlakuan menandakan sudah ada unsur fosfat pada tepung CaO, karena pada hidroksiapatit dibentuk oleh fosfat dengan ditandai pada gelombang 1000-1100 cm<sup>-1</sup> (Riyanto & Maddu, 2014). Keberadaan gugus fosfat menandakan bahwa tepung CaO dapat dijadikan bahan baku hidroksiapatit (Supangat & Cahyaningrum, 2017). Oleh karena itu, keberadaan gugus PO<sub>4</sub><sup>3-</sup> pada perlakuan suhu 800 °C selama 5 jam mengindikasikan sebagai perlakuan terbaik sementara, dalam kalsinasi tepung CaO cangkang rajungan.

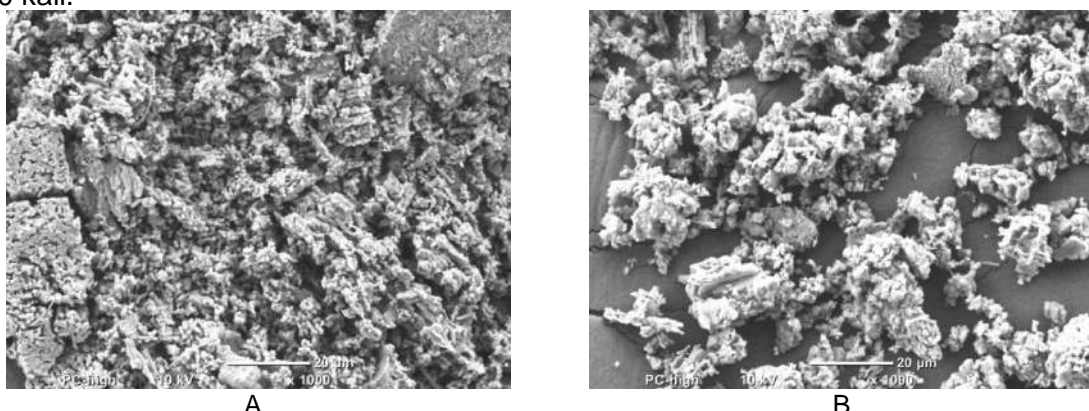
Masih terdapat gugus fungsi karbonat (CO<sub>3</sub><sup>2-</sup>) pada seluruh perlakuan. Indikasi adanya gugus fungsi karbonat terdapat pada gelombang 1400-1500 cm<sup>-1</sup> (Hanura, Trilaksani, & Suptijah, 2017). Hal ini ditandai dengan munculnya gelombang CO<sub>3</sub><sup>2-</sup> pada perlakuan 700 °C selama 4 jam sebesar 1423,58 cm<sup>-1</sup>, dan pada saat 5 jam sebesar 1455,97 cm<sup>-1</sup>. Sedangkan pada perlakuan suhu 800 °C selama 4 jam, gelombang CO<sub>3</sub><sup>2-</sup> sebesar 1456,55 cm<sup>-1</sup>, dan saat 5 jam sebesar 1467,93 cm<sup>-1</sup>. Munculnya gugus fungsi CO<sub>3</sub><sup>2-</sup> disebabkan munculnya karbon dioksida dari udara bebas saat pengangkatan tepung CaO dari furnace ke desikator. Selain itu, penggeraan di ruang terbuka menyebabkan karbon dioksida masuk ke dalam tepung CaO. Pengkalsinasi di ruangan bebas mengakibatkan munculnya karbon dioksida pada sampel hasil kalsinasi (Kurniawan, Hartini, & Cahyanti, 2019).

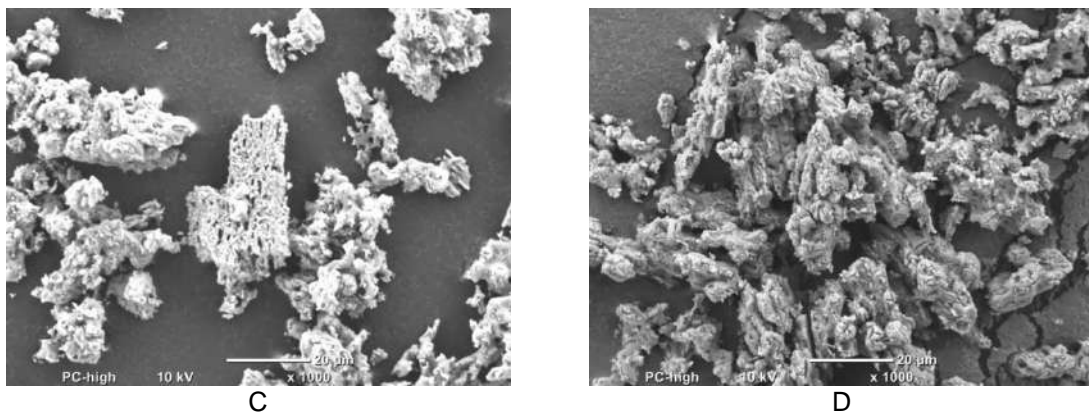
Gugus hidrosil (OH<sup>-</sup>) juga terjadi perlakuan kalsinasi pada suhu 700 °C selama 4 jam sekitar 3746,02; 3641,44; dan 3435,77 cm<sup>-1</sup>. Sedangkan pada waktu 5 jam, gelombang OH<sup>-</sup> 3642,32 dan 2919,24 cm<sup>-1</sup>. Untuk perlakuan kalsinasi cangkang rajungan pada suhu 800 °C selama 4 jam, gelombang OH<sup>-</sup> sekitar 3642,51 dan 3435,28 cm<sup>-1</sup>. Sedangkan pada waktu 5 jam, gelombang OH<sup>-</sup> 3787,44, dan 3640,79 cm<sup>-1</sup>. Pada suhu 800 °C selama 5 jam, terlihat bahwa lengkungan tajam pada gelombang 3640,79 cm<sup>-1</sup> masih ada. Hal ini menandakan bahwa pemanasan dalam pelepasan H<sub>2</sub>O kurang sempurna. Hilangnya lengkungan tajam pada gelombang 4000-3000 cm<sup>-1</sup>, menandakan bahwa dekomposisi H<sub>2</sub>O berjalan dengan baik (Sunardi, Utami Irawati, & Wianto 2011). Masih adanya gugus OH<sup>-</sup> disebabkan penyimpanan tepung CaO yang terlalu lama di dalam furnace selama 5 jam setelah furnace.

Berdasarkan hasil analisa gugus fungsi, maka variabel perlakuan kalsinasi 800 °C menjadi yang terbaik. Hal ini ditandai dengan rendahnya gugus OH<sup>-</sup>. akan tetapi, hal tersebut perlu dilakukan analisa morfologi dan kadar kalsium fosfat untuk memastikan perlakuan terbaik dari kalsinasi tepung CaO.

### 3.5. Analisa Morfologi Tepung CaO

Hasil analisa morfologi tepung CaO dapat dilihat pada Gambar 3 dengan pembesaran 1000 kali.





294 Gambar 3. Hasil Analisa Morfologi Tepung CaO pada perlakuan suhu dan waktu kalsinasi; A.  
295 Perlakuan kalsinasi 700 °C selama 4 jam, B. 700 °C selama 5 jam, C. 800 °C  
296 selama 4 jam, D. 800 °C selama 5 jam.

297 *Figure 3. Morphological Analysis Results of CaO Powder with temperature and time*  
298 *treatments; A. calcination treatments of 700 °C for 4 hours, B. 700 °C for 5 hours,*  
299 *C. 800 °C for 4 hours, D. 800 °C for 5 hours.*

300 Hasil analisa morfologi dengan pembesaran 1000 kali menunjukkan bahwa cangkang  
301 rajungan yang telah dikasinasi membentuk algomerasi atau gumpalan. Hal ini sesuai  
302 dengan (Ichsan, Helwani, & Zultiniar, 2015) bahwa setelah proses kalsinasi, moroflogi  
303 tepung CaO berbentuk gumpalan. Terdapat hampir kesamaan antara gambar a sampai c,  
304 dimana tepung kalsium berbentuk gumpalan datar berpori, serta masih terdapat granula  
305 yang tidak seragam. Permasalahan pada tepung CaO A sampai C adalah, bentuk morfologi  
306 partikelnya yang masih kasar. Hal ini terlihat berbeda dari tepung CaO D, dimana bentuk  
307 partikelnya mulai halus dan tidak kasar pada permukaannya. Morfologi CaO yang tajam  
308 dapat menyebabkan peradangan sampai melukai jaringan pada tubuh, sehingga  
309 memungkinkan membahayakan (Dorozhkin 2010). Untuk gambar d, terlihat bentuk sudah  
310 mulai halus dan pori sedikit kecil. Semakin besar suhu pemanasan, maka akan  
311 mengakibatkan pengecilan hingga penutupan pori-pori, serta akan menghilangnya batas-  
312 batas dari granula tersebut (Kurniawan, Nizar, Rijal, Bagas, & Setyarsih, 2014).

### 313 **3.6. Analisa Persentase Jumlah Massa Kalsium (Ca), Fosfat (P), dan Oksida (O), dan** 314 **Karbon (C) Tepung CaO Cangkang Rajungan**

315 Hasil analisa persentase jumlah massa kalsium, fosfat, oksida, dan karbon tepung  
316 CaO (Tabel 3) menunjukkan bahwa, persentase kadar kalsium mengalami kenaikan dari  
317 34,65% menjadi  $78,61 \pm 4,58\%$  setelah dikalsinasi dengan suhu 700 °C. Persentase kalsium  
318 mengalami kenaikan mulai dari suhu 700 °C sebesar  $78,61 \pm 4,58\%$  sampai dengan  
319 perlakuan 800 °C selama 5 jam hingga mencapai  $91,96 \pm 5,07\%$ . Hasil analisa statistik  
320 menunjukkan, suhu dan waktu kalsinasi tidak berbeda nyata pada jumlah massa kalsium  
321 tepung CaO ( $p > 0,05$ ).

322 Untuk persentase kadar fosfat, mengalami kenaikan dari 1,65% pada bahan baku  
323 sampai pada perlakuan 700 °C selama 5 jam menjadi  $5,12 \pm 3,54\%$ . Akan tetapi, pada  
324 perlakuan suhu 800 °C terjadi penurunan persentase kadar fosfat sebanyak  $5,09 \pm 2,72\%$ ,  
325 sehingga jika dipanaskan pada suhu tersebut, kandungan fosfat akan mengalami  
326 dekomposisi. Hasil Analisa statistik menunjukkan bahwa suhu dan waktu kalsinasi tidak  
327 berbeda nyata pada jumlah masa fosfat tepung CaO ( $p > 0,05$ ).

328 Kadar oksida, mengalami penurunan yang signifikan. Semakin tinggi perlakuan suhu  
329 dan waktu, maka semakin rendah kadar oksida, dari 11,07% pada bahan baku cangkang  
330 rajungan, menjadi  $2,63 \pm 1,27\%$  pada perlakuan 800 °C selama 5 jam. Hal ini disebabkan  
331 penguapan saat kalsinasi yang menyebabkan lepasnya kandungan oksida pada cangkang  
332 rajungan. Hasil stastistik juga menunjukkan bahwa suhu dan waktu kalsinasi berbeda nyata  
333 terhadap kenaikan oksida tepung CaO ( $p < 0,05$ ).

Persentase jumlah massa karbon menandakan pembakaran saat kalsinasi sempurna dalam hal mendekomposisi kandungan karbon pada cangkang rajungan. Persentase karbon terbesar terdapat pada suhu  $700^{\circ}\text{C}$  selama 4 jam sebanyak  $8,76\pm2,76\%$ . Sedangkan yang paling kecil kadar karbonnya terdapat pada suhu  $800^{\circ}\text{C}$  selama 5 jam sebesar  $3,14\pm1,49\%$ . Berdasarkan hasil uji statistik, suhu dan waktu kalsinasi berbeda nyata pada jumlah massa karbon tepung CaO ( $p < 0,05$ ).

Tabel 3. Hasil Standar Error Analisa Jumlah Massa Persentase Ca, P, dan O, Dan C Tepung CaO dengan Instrumen SEM Dengan 3 Kali Pengulangan

*Table 3. Results of Standard Error of Percentage Analysis of Ca, P, and O, and C CaO Powder with SEM Instruments With 3 Repetitions*

NO	Suhu/ Temperat ure (°C)	Jam /hour	Ca (%)	P (%)	O (%)	C (%)
1	Cangkang rajungan/ <i>Crab shell</i>		34.65	1.65	11.07	49.49
2	700	4	$78.61\pm4.58$	$3.84\pm1.52$	$8.79\pm4.93$	$8.76\pm2.76$
3	700	5	$80.36\pm2.27$	$5.12\pm3.54$	$6.60\pm0.90$	$4.33\pm0.32$
4	800	4	$89.88\pm0.39$	$2.40\pm0.39$	$4.21\pm0.99$	$3.51\pm0.31$
5	800	5	$91.96\pm5.07$	$5.09\pm2.72$	$2.63\pm1.27$	$3.14\pm1.49$
<b>Hasil/ Result ANOVA Two Ways</b>			0.06 ( $p>0.05$ )	0.17 ( $p>0.05$ )	0.008 ( $p<0.05$ )	0.02 ( $p<0.05$ )

Berdasarkan hasil analisa EDS, dapat disimpulkan perlakuan terbaik adalah pada suhu  $800^{\circ}\text{C}$  dengan waktu 5 jam karena menghasilkan kadar kalsium yang terbesar. Tepung CaO ini kemudian dapat diolah lebih lanjut menjadi bubuk hidroksipatit dengan dicampur prekursor fosfat. Fosfat jenis  $\text{H}_3\text{PO}_4$  berfungsi untuk menambahkan kadar fosfat pada reaksi sintesis hidroksipatit (Puspita and Cahyaningrum 2017).

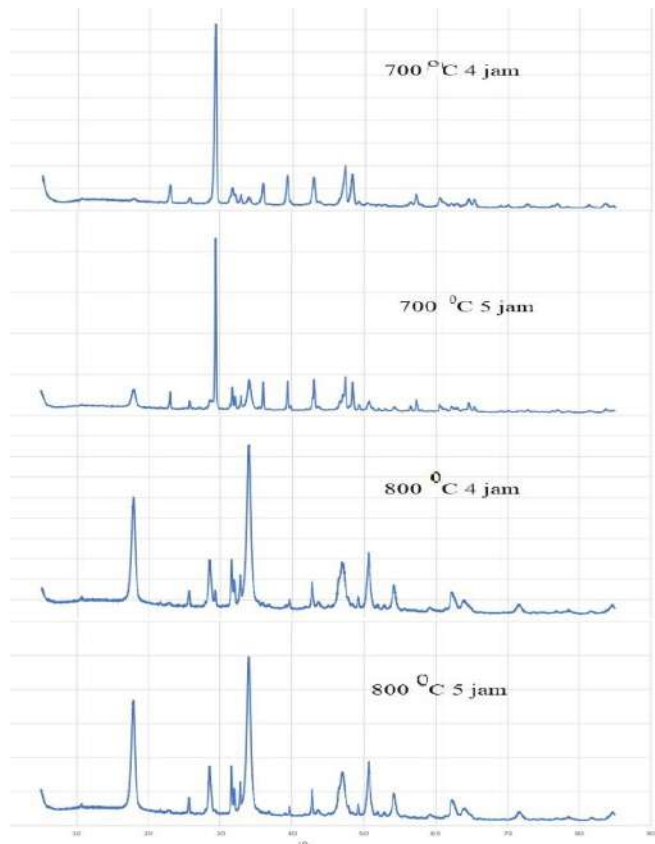
### 3.7. Analisa Persentase Derajat Kristalinitas Tepung CaO Cangkang Rajungan

Hasil perhitungan derajat kristalinitas tepung CaO dapat dilihat pada Tabel 4. Sedangkan analisa kualitatif terdapat pada Gambar 4.

Tabel 4. Hasil Perhitungan Rata-rata Derajat Kristalinitas Tepung CaO Cangkang Rajungan

*Table 4. Results of Calculation of Degree of Crystallinity of Crab Shell CaO Powder*

Suhu dan Kalsinasi/ Temperature and Time of Calcination	Waktu 700°C 4 jam/ 700°C 4 hours	700°C 5 jam/ 700°C 5 hours	800°C 4 jam/ 800°C 4 hours	800°C 5 jam/ 800°C 5 hours
Rata-rata Derajat Kristalinitas/ Average of Degree of Crystallinity (%)	64	70	71,67	75,71



355  
356 Gambar 4. Hasil Analisa Kualitatif XRD Tepung CaO  
357 *Figure 4. Results of Qualitative XRD Analysis of CaO Powder*

358 Berdasarkan Tabel 4, derajat kristalinitas terendah terdapat pada perlakuan suhu 700  
359 °C 4 jam dengan nilai 64%. Sedangkan pada perlakuan tertinggi terdapat pada suhu 800 °C  
360 selama 5 jam yaitu 75%. Sebagai material pembuatan hidroksipatit, perlakuan tepung CaO  
361 terpilih adalah pada derajat kristalinitas yang terbesar yaitu pada perlakuan 800 °C selama 5  
362 jam. Hasil derajar kristalinitas sebesar 75%, dapat dikatakan bahwa tepung CaO mampu  
363 menjadi prekursor kalsium untuk hidroksipatit. Hal ini dikarenakan hidroksipatit memiliki  
364 persentase derajat dengan nilai terbaik diatas 70% (Rana, Akhtar, Rahman, Jamil, &  
365 Asaduzzaman, 2017).

366 Pada Gambar 4, getaran gelombang kristalinitas masih terdapat pelebaran  
367 lengkungan getaran atau belum tajam. Hal tersebut menandakan pemanasan masih belum  
368 sepenuhnya sempurna menjadi hidroksipatit, artinya masih harus dilakukan pemanasan  
369 lanjutan. Hal tersebut dikatakan wajar karena masih berupa tepung CaO. Dengan drajat  
370 kristalinitas tepung CaO 75%, dapat dilakukan pemanasan lebih lanjut menjadi hidroksipatit  
371 sehingga pemanasan dapat menjadi sempurna. Selain itu, masih terdapat kontaminan pada  
372 tepung CaO. Jika puncak yang semakin tajam pada grafik, menandakan seluruh perlakuan  
373 hidroksipatit sudah menghasilkan kristal murni. Jika puncak melebar, maka masih terdapat  
374 kontaminan lain atau pemanasan saat kalsinasi atau sintering belum optimal (Negara dan  
375 Simpen 2018).

#### 376 **4. KESIMPULAN**

377 Tepung CaO terbaik terpilih pada perlakuan suhu 800 °C selama 5 jam dengan  
378 karakteristik morfologi penampakan yang halus, berkurangnya granula yang tidak seragam,  
379 dan pori yang lebih kecil, kadar kalsium  $91,96 \pm 5,07\%$ , serta persentase derajat kristalinitas  
380 sebesar 75%. Selanjutnya perlu dilakukan penelitian lanjutan untuk menaikkan suhu diatas  
381 800 °C, sehingga didapatkan morfologi tepung CaO yang lebih halus dan rasio Ca/P yang  
382 lebih rendah mendekati rasio Ca/P hidroksipatit 1,67.

383 **UCAPAN TERIMA KASIH**

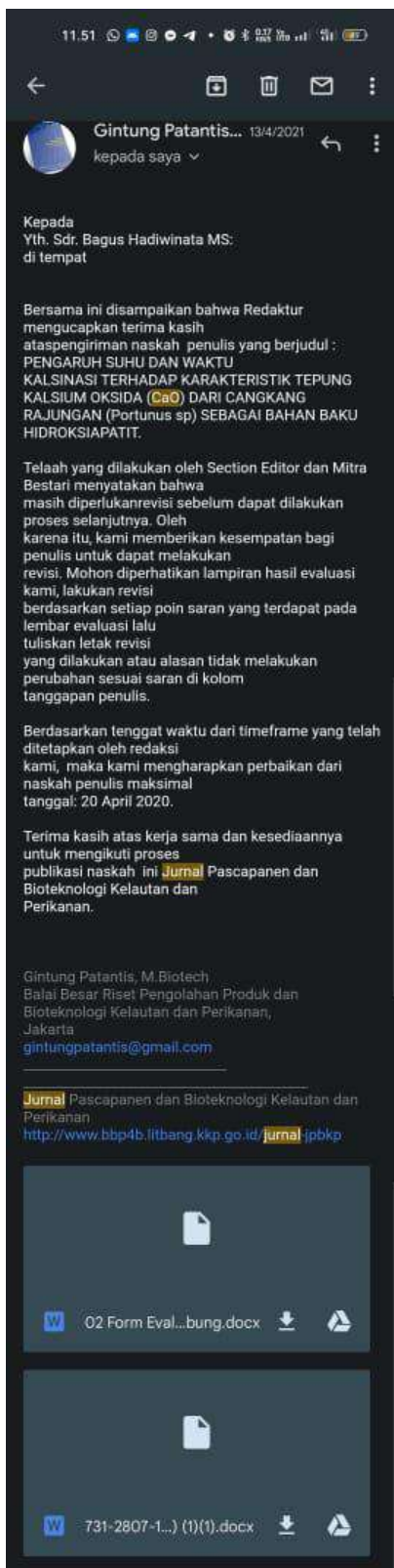
384 Ucapan terima kasih kepada pihak Balai Besar Riset Pengolahan Produk dan  
385 Bioteknologi Kelautan dan Perikanan atas dukungan finansial dan fasilitas dalam  
386 melaksanakan penelitian ini.

387 **DAFTAR PUSTAKA**

- 388 Bose, Susmita, Solaiman Tarafder, Joe Edgington, and Amit Bandyopadhyay. 2011.  
389 "Calcium Phosphate Ceramics in Drug Delivery." *Biomaterials for regenerative*  
390 *medicine Calcium* 63(4): 93–98. [www.tms.org/jom.html](http://www.tms.org/jom.html).
- 391 Cahyono, Eko, Juanita Fani Jonas, Bella Anjelika Lalenoh, and Nurfaida Kota. 2019.  
392 "Karakterisasi Kalsium Karbonat ( $\text{CaCO}_3$ ) Dari Cangkang Landak Laut (Diadema  
393 Setosum)." *Jurnal Fishtech* 8(1): 28–34.
- 394 Dorozhkin, Sergey V. 2010. "Bioceramics of Calcium Orthophosphates." *Biomaterials* 31(7):  
395 1465–85. <http://dx.doi.org/10.1016/j.biomaterials.2009.11.050>.
- 396 Hafiludin. 2015. "Analisis Kandungan Gizi Pada Ikan Bandeng Yang Berasal Dari Habitat  
397 Yang Berbeda." *Jurnal Kelautan* 8(1): 37–43.
- 398 Handayani, Lia, Reza Zuhrayani, Nadia Putri, and Riska Nanda. 2020. "Pengaruh Suhu  
399 Kalsinasi Terhadap Nilai Rendemen  $\text{CaO}$ ." *Jurnal TILAPIA* 1(1): 1–6.
- 400 Hanura, Aditya Bayu, Wini Trilaksani, and Pipih Suptijah. 2017. "Karakterisasi  
401 Nanohidroksipatit Tulang Tuna Thunnus Sp. Sebagai Sediaan Biomaterial." *Jurnal*  
402 *Ilmu dan Teknologi Kelautan Tropis* 9(2): 619–30.  
403 <http://journal.ipb.ac.id/index.php/jurnaliklt>.
- 404 Harahap, Ari Wibowo, and Zuchra Helwani. 2015. "Sintesis Hidroksipatit Melalui  
405 Precipitated Calcium Carbonate (PCC) Cangkang Kerang Darah Dengan Metode  
406 Hidrotermal Pada Variasi PH Dan Waktu Reaksi." *Jom FTEKNIK* 2(2).
- 407 Henggu, Krisman Umbu, Bustami Ibrahim, and Pipih Suptijah. 2019. "Hidroksipatit Dari  
408 Cangkang Sotong Sebagai Sediaan Biomaterial Perancah Tulang." *JPHPI, Masyarakat*  
409 *Pengolahan Hasil Perikanan Indonesia* 22(1): 1–13.
- 410 Ichsan, R.H.N.A, Zuchra Helwani, and Zultiniar. 2015. "Sintesis Hidroksipatit Melalui  
411 Precipitated Calcium Carbonate (PCC) Dari Cangkang Kerang Darah Dengan Metode  
412 Hidrotermal Pada Variasi Waktu Reaksi Dan Rasio Ca/P." *JOM FTEKNIK* 2(2): 1–9.
- 413 Kantharia, Nidhi et al. 2014. "Nano-Hydroxyapatite and Its Contemporary Applications." *Journal of Dental Research and Scientific Development* 1(1): 15.
- 415 Khoirudin, Mukhlis, Yelmida, and Zultiniar. 2017. "Sintesis Dan Karakterisasi Hidroksipatit  
416 Dari Kulit Kerang Darah (Anadara Granosa) Dengan Proses Hidrotermal." *Jom*  
417 *FTEKNIK* 2(2): 1–8.
- 418 Kolmas, Joanna, Sylwester Krukowski, Aleksandra Laskus, and Maria Jurkiewicz. 2016.  
419 "Synthetic Hydroxyapatite in Pharmaceutical Applications." *Ceramics International*  
420 42(2): 2472–87. <http://dx.doi.org/10.1016/j.ceramint.2015.10.048>.
- 421 Kurniawan, Akhmad et al. 2014. "Studi Pengaruh Variasi Suhu Kalsinasi Terhadap  
422 Kekerasan Bentuk Morfologi, Dan Analisis Porositas Nanokomposit  $\text{CaO/SiO}_2$  Untuk  
423 Aplikasi Bahan Biomaterial." *Jurnal Penelitian Fisika dan Aplikasinya (JPFA)* 4(2): 22.
- 424 Kurniawan, Asep Mufti, Sri Hartini, and Margareta Novian Cahyanti. 2019. "Pengaruh  
425 Konsentrasi Fosfat Terhadap Perbandingan Ca / P Hidroksipatit Dari Limbah Gipsum  
426 Industri Keramik." *Ilmu-ilmu MIPA* 19(1): 46–56.
- 427 Kusumaningrum, Indrati, Doddy Sutono, and Bagus Fajar. 2016. "Pemanfaatan Tulang Ikan  
428 Belida Sebagai Tepung Sumber Kalsium Dengan Metode Alkali." *Jphpi* 19(2): 148–55.
- 429 Malau, N.D., and S.F. Azzahra. 2020. "Pengaruh Waktu Kalsinasi Terhadap Karakteristik  
430 Kristal  $\text{CaO}$  Dari Limbah Cangkang Kepiting." *Jurnal Pendidikan, Matematika, dan*  
431 *Sains* 5(1): 83–92. <http://ejournal.uki.ac.id/index.php/edumatsains>.
- 432 Negara, I Made Sutha, and I Nengah Simpen. 2018. "Karakteristik Hidroksipatit Hasil  
433 Ekstraksi Termal Dari Tulang Limbah Dan Aplikasinya Untuk Adsorpsi Ion Selektif Biru  
434 Metilen." *Cakra Kimia* 6(2): 123–30.
- 435 Ngapa, Julius D. 2018. "Sintesis Dan Karakterisasi Hidroksipatit (HAp) Dari Limbah

- 436 Dengan Metode Basah Presipitasi." *Jurnal Dinamika Sains* 2(1): 67–72.
- 437 Purwasasmita, BS, and RS Gultom. 2008. "Sintesis Dan Karakterisasi Serbuk Hidroksiapitit  
438 Skala Sub Mikron Menggunakan Metode Presipitasi." *Jurnal Bionatura* 10(2): 155–67.
- 439 Puspita, Fenty Wiana, and Sari Edi Cahyaningrum. 2017. "Sintesis Dan Karakterisasi  
440 Hidroksiapitit Dari Cangkang Telur Ayam Ras (*Gallus Gallus*) Menggunakan Metode  
441 Pengendapan Basah." *UNESA Journal of Chemistry* 6(2): 100–106.
- 442 Rana, Masud et al. 2017. "Extraction of Hydroxyapatite from Bovine and Human Cortical  
443 Bone by Thermal Decomposition and Effect of Gamma Radiation: A Comparative  
444 Study." *International Journal of Complementary & Alternative Medicine* 8(3).
- 445 Raya, Indah et al. 2015. "Shynthesis and Characterizations of Calcium Hydroxyapatite  
446 Derived from Crabs Shells ( Portunus Pelagicus ) and Its Potency in Safeguard against  
447 to Dental Demineralizations." *International Journal of Biomaterials* 2015.
- 448 Rizkayanti, Yazida, and Yusril Yusuf. 2019. "In Press , Accepted Manuscript – Note to Users  
449 Optimization of the Temperature Synthesis of Hydroxyapatite from Indonesian Crab  
450 Shells In Press , Accepted Manuscript – Note to Users." *International Journal of  
451 Nanoelectronics and Materials* In.
- 452 Rosalina, Wenny, Andries Pascawinata, and Masra Roesnoer. 2017. "Karakteristik Scaffold  
453 Hidroksiapitit Dari Gigi Manusia Menggunakan Uji X-Ray Diffraction (XRD)." *Jurnal B-*  
454 *Dent* 4(2): 133–40.
- 455 Suharto, Slamet, Romadhon, and Sri Redjeki. 2016. "Analisis Susut Bobot Pengukusan Dan  
456 Rendaman Pengupasan Rajungan Berukuran Berbeda Dan Rajungan Bertelur."  
457 *Fisheries Science and Technology (IJFST)* 12(1): 47–51.
- 458 Sunardi, Utami Irawati, and Totok Wianto. 2011. "Karakterisasi Kaolin Lokal Kalimantan  
459 Selatan Hasil Kalsinasi." *Jurnal Fisika FLUX* Vol 8: 59–65.
- 460 Supangat, Dicky, and Sari Edi Cahyaningrum. 2017. "Sintesis Dan Karakterisasi  
461 Hidroksiapitit Dari Cangkang Kepiting (*Scylla Serrata*) Dengan Metode Pengendapan  
462 Basah." *UNESA Journal of Chemistry* 6(3): 143–49.
- 463 Warastuti, Yessy, and Basril Abbas. 2011. "Sintesis Dan Karakterisasi Pasta Injectable Bone  
464 Substitute Iradiasi Berbasis Hidroksiapitit." *A Scientific Journal for The Applications of  
465 Isotopes and Radiation* 7(2): 73–82.
- 466 Yang, Yushi et al. 2014. "Hydrothermal Synthesis of Hydroxyapatite with Different  
467 Morphologies : Influence of Supersaturation of the Reaction System Hydrothermal  
468 Synthesis of Hydroxyapatite with Different Morphologies: Influence of  
469 Supersaturation of the Reaction System." *American Chemical Society, Crystal Growth  
& Design* (January 2019). <https://www.researchgate.net/publication/272135311>.
- 471

Bukti Review Section Editor dan Mitra Bestari Tgl. 13/04.2021



# PENGARUH SUHU DAN WAKTU KALSINASI TERHADAP KARAKTERISTIK TEPUNG KALSIUM OKSIDA (CaO) DARI CANGKANG RAJUNGAN (*Portunus sp.*) SEBAGAI BAHAN BAKU HIDROKSIAPATIT

(Effect Of Temperature And Time Of Calcination On The Characteristics Of Calcium Oxide (CaO) Powder From Blue Swimming Crab (*Portunus Sp*) Shells As A Hydroxyapatite Raw Material)

## ABSTRAK

Penelitian ini bertujuan untuk mengkalsinasi cangkang rajungan (*Portunus sp.*) menjadi tepung kalsium oksida (CaO) sebagai bahan baku sintesis hidroksiapatit. Kalsinasi merupakan salah satu tahapan penting dalam sintesis hidroksiapatit, karena kemurnian tepung CaO sangat bergantung pada suhu dan waktu kalsinasi. Pada penelitian ini, cangkang rajungan dikalsinasi pada suhu 700 dan 800 °C selama 4 dan 5 jam. Tepung CaO kemudian diidentifikasi gugus fungsi, morfologi, komposisi dan kristalinitas dengan menggunakan *fourier-transform infrared spectroscopy* (FTIR), *scanning electron microscope* (SEM) dengan *energy dispersive spectroscopy* (EDS) dan *X-Ray diffraction* (XRD). Hasil penelitian menunjukkan bahwa kalsinasi pada suhu 800 °C selama 5 jam menghasilkan morfologi yang lebih seragam pada ukurannya, dan pori-pori yang lebih halus dan lebih kecil dibanding perlakuan lainnya. Selain itu, kadar kalsium yang dihasilkan pada perlakuan ini lebih besar ( $91,96 \pm 5,07\%$ ) dibanding dengan perlakuan lainnya. Hasil analisa XRD pada perlakuan ini menghasilkan derajat kristalinitas sebesar 75%. Dari beberapa hasil tersebut dapat disimpulkan bahwa proses kalsinasi pada suhu 800 °C selama 5 jam menghasilkan tepung CaO yang baik untuk dijadikan bahan baku sintesis hidroksiapatit. Berdasarkan ANOVA one way, perlakuan suhu dan waktu terhadap perhitungan rendemen, jumlah massa kalsium dan karbon menunjukkan nilai berbeda nyata ( $p < 0,05$ ). Sedangkan pada jumlah massa fosfat dan oksida menunjukkan nilai tidak berbeda nyata ( $p > 0,05$ ).

**Kata kunci :** Cangkang rajungan, Kalsinasi, Tepung CaO

## ABSTRACT

This study aims to calcine the crab shell (*Portunus sp.*) into calcium oxide (CaO) powder as a raw material for hydroxyapatite synthesis. Calcination is one of the important steps in hydroxyapatite synthesis because the purity of CaO powder is very dependent on the temperature and time of calcination. The crab shell calcination was carried out at 700 and 800 °C for 4 and 5 h. The CaO powder were identified its functional groups, morphology, composition and crystallinity using fourier-transform infrared spectroscopy (FTIR), scanning electron microscope (SEM) with energy dispersive spectroscopy (EDS) and X-Ray diffraction (XRD). The results showed calcination at 800 °C for 5 hours gave uniform size, and finer and smaller pores compare to others combination process. In addition, the total mass of calcium content produced in this treatment also higher ( $91.96 \pm 5.07\%$ ) compare to other treatments with 75% degree of crystallinity using XRD analysis. To be conclude, calcination at 800 °C for 5 h was yielded CaO powder that could be used as the raw material for hydroxyapatite synthesis. Based on one-way ANOVA, temperature and time treatment of yield calculations, the total mass of calcium and carbon showed significantly different values ( $p < 0.05$ ). Whereas the total mass of phosphate and oxide showed no significant difference ( $p > 0.05$ ).

**Keywords:** crab shell, calcination, CaO powder

## 1. PENDAHULUAN

Cangkang rajungan merupakan hasil samping produksi pengolahan rajungan yang belum optimal dimanfaatkan. Dalam industri pengolahan rajungan di Indonesia, sebagian

44 besar rajungan dimanfaatkan dagingnya sebanyak 30,07% sampai 42,1% sebagai produk  
45 kaleng (Suharto, Romadhon, & Redjeki, 2016). Dari nilai tersebut, 50%nya merupakan  
46 cangkang rajungan yang merupakan limbah produksi. Padahal, cangkang rajungan memiliki  
47 kalsium karbonat ( $\text{CaCO}_3$ ) sekitar 40 sampai 70% (Suharto, Romadhon, and Redjeki 2016),  
48 yang berperan sebagai pembentuk kalsium untuk hidroksipapatit (Raya, Mayasari, Yahya,  
49 Syahrul, & Latunra, 2015). Hidroksipapatit merupakan anggota mineral apatit yang  
50 mengandung hidroksida dengan rumus kimia  $\text{Ca}_{10}(\text{PO}_4)_6(\text{OH})_2$  (Ngapa 2018), serta memiliki  
51 kadar basa atau netral sebagai komponen utama jaringan tulang yang bersifat rapuh (Yang  
52 et al. 2014). Kebutuhan hidroksipapatit dalam negeri masih sangat kurang. Dalam data BPPT  
53 (2015), Indonesia masih mengimpor hidroksipapatit dengan harga Rp. 1,5 miliar per 5 mg  
54 untuk perancah tulang (Henggu, Ibrahim, & Suptijah, 2019). Oleh karena itu, cangkang  
55 rajungan memiliki potensi untuk di ekstraksi kalsiumnya menjadi bahan baku hidroksipapatit  
56 dalam negeri.

57 Pada bidang farmasi, hidroksipapatit berfungsi sebagai *Drug Delivery System*, yaitu  
58 media penghantar obat lewat strukturnya yang berpori. Jadi obat-obatan dimasukkan dalam  
59 pori-pori hidroksipapatit dan mengirimkan ke area yang akan diobati untuk mencegah  
60 osteoporosis atau kerapuhan tulang (Bose, Tarafdel, Edgington, & Bandyopadhyay, 2011).  
61 Selain itu, hidroksipapatit berfungsi sebagai anti kanker pada penyakit kanker tulang, dimana  
62 hidroksipapatit akan memperbaiki tulang yang terkikis, serta mengisi jaringan tulang yang  
63 hilang (Kolmas, Krukowski, Laskus, & Jurkiewicz, 2016). Hidroksipapatit juga diaplikasikan  
64 sebagai keramik biokompatibel yang berkontak dengan jaringan tulang (*bone tissue*), dan  
65 sebagai pelapis (*coating*) pada implan tulang manusia (Harahap & Helwani 2015).  
66 Hidroksipapatit selanjutnya dimanfaatkan sebagai pasta IBS yang disintesis dengan  
67 menggunakan radiasi dan dapat digunakan sebagai graft biomaterial (Warastuti & Abbas  
68 2011).

69 Sebelum menjadi hidroksipapatit, cangkang rajungan perlu dijadikan tepung kalsium  
70 oksida ( $\text{CaO}$ ) untuk menghilangkan unsur karbonat pada  $\text{CaCO}_3$ . Keberadaan karbonat  
71 dalam cangkang rajungan harus didekomposisi karena akan menghambat pembentukan  
72 hidroksipapatit. Proses dekomposisi tersebut membantu menghasilkan kalsium atau tepung  
73  $\text{CaO}$  yang tinggi (Khoirudin, Yelmida, & Zultiniar, 2017). Tepung  $\text{CaO}$  merupakan salah satu  
74 prekursor kalsium pada hidroksipapatit yang direaksikan dengan fosfat sehingga membentuk  
75 rasio kalsium dan fosfat ( $\text{Ca}/\text{P}$ ). Salah satu tanda hidroksipapatit terbaik adalah adanya rasio  
76  $\text{Ca}/\text{P}$  dengan nilai 1,67 (Kantharia et al. 2014). Oleh karena itu perlu dilakukan metode  
77 perlakuan untuk mengubah cangkang rajungan menjadi tepung  $\text{CaO}$ .

78 Metode kalsinasi bertujuan melepaskan unsur-unsur karbonat pada cangkang  
79 rajungan. Metode ini merupakan reaksi endotermik, dimana membutuhkan panas dari luar  
80 untuk melepas kandungan air, senyawa organik, serta  $\text{CO}_2$  pada sampel (Supangat and  
81 Cahyaningrum 2017). Prinsip metode ini yaitu melakukan sistem pembakaran tanpa  
82 menggunakan udara untuk melepaskan zat yang mudah terbakar seperti  $\text{CO}$ ,  $\text{CH}_4$ ,  $\text{H}_2$ , serta  
83 yang tidak mudah terbakar seperti  $\text{CO}_2$  dan  $\text{H}_2\text{O}$ . Proses kalsinasi dapat dilakukan pada  
84 suhu 500 – 700 °C untuk temperatur rendah, suhu 700 – 900 °C untuk temperatur sedang,  
85 dan >900 °C untuk temperatur tinggi (Handayani, Zuhrayani, Putri, & Nanda, 2020). Oleh  
86 karena itu, temperatur kalsinasi sangat menentukan  $\text{CaO}$  yang dihasilkan, selain itu faktor  
87 bahan baku dan waktu pemanasan yang dipakai juga akan menentukan kualitas tepung  
88  $\text{CaO}$  tersebut.

89 Dalam penelitian sebelumnya, kalsinasi cangkang landak laut pada suhu 600 °C  
90 selama 2 jam, menghasilkan tepung  $\text{CaO}$  dengan kadar kalsium  $25,53 \pm 2,5\%$  (Cahyono,  
91 Jonas, Lalenoh, & Kota, 2019). Selanjutnya, pada cangkang kepiting yang dikalsinasi  
92 menjadi tepung  $\text{CaO}$  dengan suhu 1000 °C selama 6 dan 10 jam, menghasilkan warna yang  
93 putih dengan struktur kristal, tetapi tidak berbentuk amorf (Malau and Azzahra 2020). Pada  
94 penelitian cangkang rajungan Rizkayanti dan Yusuf (2019), telah dilakukan penelitian  
95 tentang kalsinasi  $\text{CaO}$  dengan suhu 1000 °C selama 3 jam, tetapi belum diketahui  
96 bagaimana karakteristik kadar kalsium, gugus fungsi yang terbentuk, serta derajat  
97 kristalinitasnya. Selain itu, belum ada penelitian yang menjelaskan hasil tepung  $\text{CaO}$  dari  
98 cangkang rajungan dengan pemakaian suhu sedang.

99        Oleh karena itu, penelitian ini mencoba mengetahui karakteristik tepung CaO dari  
100      cangkang rajungan, dengan perlakuan suhu di level sedang dengan waktu berbeda.  
101      Tujuannya adalah untuk mendapatkan tepung CaO terbaik dari 4 perlakuan kalsinasi  
102      terhadap rendemen, gugus fungsi, morfologi, kadar kalsium, fosfat, dan oksida, serta  
103      persentase kristalinitas sebagai bahan dasar hidroksiapatit.

## 104     **2. BAHAN DAN METODE**

### 105     **2.1. Bahan**

106      Bahan utama yang dipakai pada penelitian ini adalah cangkang rajungan yang berasal  
107      dari unit pengolahan rajungan di TPI Pasir Putih, Karawang Jawa Barat. Cangkang rajungan  
108      semi basah dikemas dalam karung untuk kemudian diangkut menuju Balai Besar Riset  
109      Pengolahan Produk dan Bioteknologi Kelautan dan Perikanan (BBRP2B-KP) di Jakarta.

### 110     **2.2. Metode**

111      Tahapan kalsinasi cangkang rajungan mengacu pada metode Rizkayanti dan Yusuf  
112      (2019). Cangkang rajungan semi basah dicuci menggunakan air bersih segera setelah  
113      sampai di Laboratorium. Cangkang dibersihkan dari kotoran dan sisa daging yang  
114      menempel dengan cara menyikat cangkang. Cangkang yang telah disikat kemudian dicuci  
115      kembali dengan air bersih. Cangkang yang telah bersih dijemur dengan menggunakan para  
116      hingga kering selama 2 hari. Cangkang kering selanjutnya dihancurkan dengan mesin  
117      blender HR2106 (*philips*, Belanda) dengan kecepatan 30 rpm. Tujuan pemakaian blender  
118      adalah proses nya yang cepat dan kapasitas mesin yang mampu menghancurkan cangkang  
119      rajungan sampai sedikit halus. Setelah dihancurkan, cangkang kemudian disaring dengan  
120      kertas saring 100 mesh.

121      Tepung cangkang rajungan selanjutnya dikalsinasi dengan mesin furnace 6000  
122      (*barnstead*, USA). Tujuan pemakaian mesin furnace ini karena mampu mengkalsinasi  
123      sampel sampai 1000 °C, selain itu, mesin ini aman dan mudah untuk digunakan. pada suhu  
124      level sedang, yaitu dengan suhu 700, dan 800 °C serta dengan variabel waktu selama 4 dan  
125      5 jam. Penggunaan kalsinasi tepung CaO dari cangkang rajungan dengan suhu sedang  
126      dikarenakan belum pernah dilakukan pada penelitian sebelumnya.

127      Setelah kalsinasi, suhu pada mesin furnace diturunkan sampai 300 °C, selanjutnya  
128      mesin furnace dimatikan, dan tepung CaO dibiarkan dalam furnace selama 5 jam. Tepung  
129      CaO yang dihasilkan kemudian dilakukan pengangkatan dengan spatula ke dalam  
130      desikator. Tepung CaO didiamkan selama 3 jam. Tepung CaO yang dihasilkan selanjutnya  
131      dilakukan perhitungan rendemen, analisa gugus fungsi, derajat kristalinitas, morfologi, dan  
132      kadar kalsium, fosfat, oksida, serta karbon.

### 133     **2.3. Analisa proksimat cangkang rajungan**

134      Cangkang rajungan yang sudah disaring, kemudian diambil sampel untuk dianalisa  
135      proksimat. Analisa proksimat meliputi kadar air (SNI 01-2354.2:2006), kadar lemak (SNI 01-  
136      2354.3-2006), kadar protein (SNI 01-2354.4-2006), dan kadar abu (SNI 2354.1:2010).

### 137     **2.4. Perhitungan Rendemen**

138      Perhitungan rendemen dilakukan dengan membandingkan berat tepung CaO,  
139      dibandingkan dengan tepung cangkang rajungan kering sebelum proses kalsinasi.  
140      Selanjutnya hasil pembagian dikalikan 100% untuk mendapatkan persentase rendemen  
141      tepung CaO.

### 142     **2.5. Analisa gugus fungsi**

143      Analisa gugus fungsi menggunakan instrument mesin *Spectrum One FTIR* (*fourier*  
144      *transform infrared spectroscopy*), seri C69526 (*Perkin Elmer Precisely*, Jerman) yang  
145      mampu membaca bilangan gelombang 4.000-400 cm<sup>-1</sup> dengan resolusi 4 cm<sup>-1</sup>. Sebelum  
146      dilakukan analisa gugus fungsi sampel dipelletkan dengan KBr. Sebanyak 2 mg sampel  
147      dicampur dengan pellet KBr dengan perbandingan 1/100, selanjutnya dimasukkan ke dalam

148 logam untuk dilakukan pengepresan dan pemvakuman dengan tekanan 7 ton selama 15  
149 menit.sampel yang sudah di vakum selanjutnya dimasukkan ke intrumen FTIR. Langkah  
150 selanjutnya adalah pembacaan gelombang gugus fungsi dengan aplikasi spectrum 9.

## 151 **2.6. Analisa morfologi**

152 Analisa morfologi menggunakan instrument SEM (*Scanning Electron Microscopy*).  
153 Tepung CaO diambil secara *swab*, diletakkan pada plat logam tembaga yang berbentuk  
154 bulat (*sample holder*). Selanjutnya, dilakukan proses pelapisan (*coating*) selama 1 menit  
155 dengan lapisan emas, agar sampel memiliki sifat konduktif. Mikrostruktur tepung CaO  
156 diamati menggunakan aplikasi software *JEOL 6000*, serta diambil gambarnya dengan  
157 perbesaran hingga 1000 kali. Proses pengukuran dilakukan pada akselerasi tegangan 20 kV.

## 158 **2.7. Analisa Persentase Kalsium, Fosfat, Karbon, dan Oksida**

159 Analisa persentase kadar kalsium, fosfat, dan oksida menggunakan SEM (*Scanning*  
160 *Electron Microscopy*), yang sudah dilengkapi EDS (*Energy Dispersive Spectroscopy*) untuk  
161 menentukan persentase kadar kalsium, fosfat, dan oksida. Tepung CaO diambil secara  
162 *swab*, diletakkan pada plat sampel (*sample holder*). tepung CaO diamati menggunakan  
163 aplikasi software *JEOL 6000*, dengan perbesaran 1000 kali. Proses pengukuran dilakukan  
164 pada akselerasi tegangan 20 kV. Selanjutnya objek diambil secara area, selanjutnya  
165 dilakukan analisa terhadap persentase kalsium, fosfor, dan oksida. Jumlah massa yang  
166 dihasilkan oleh software dijadikan dasar dalam perhitungan persentase kadar kalsium,  
167 fosfat, karbon, dan oksida.

## 168 **2.8. Analisa derajat kristalinitas**

169 Analisa persentase kristalinitas tepung CaO dilakukan di Laboratorium Pusat  
170 Penelitian Kimia, Lembaga Ilmu Pengetahuan Indonesia (LIPI), Serpong, Tangerang  
171 Selatan. Analisa persentase derajat kristalinitas dilakukan dengan metode kuantitatif  
172 menggunakan instrument *X-ray Difraction* tipe *Rigaku Smartlab* , selanjutnya hasil analisa  
173 dilakukan perhitungan dengan rumus di bawah ini berdasarkan Purwasasmita dan Gultom  
174 (2008).

$$175 \% \text{ Kristalinitas} = 1 - ((V110-I300)/I300) \times 100\%$$

176 Keterangan;

177 V110-I300 = puncak terendah antara puncak hasil difraksi 112 sampai 300

178 I300 = intensitas puncak yang dihasilkan V300

## 179 **2.9. Analisa Statistik**

180 Data diolah menggunakan dengan aplikasi SPSS seri 23 (SPSS Inc., Chicago, III,  
181 USA) dalam mengolah nilai rata-rata, dan standar error pada analisa proksimat, perhitungan  
182 rendemen, serta analisa jumlah kadar kalsium, fosfat, karbon, dan oksida. Selanjutnya,  
183 pemakaian *analysis of varian* (ANOVA) one way untuk perbedaan nyata atau tidaknya  
184 perhitungan rendemen, serta two ways untuk menganalisa perbedaan nyata atau tidaknya  
185 pada analisa jumlah kadar kalsium, fosfat, karbon, dan oksida.

## 186 **3. HASIL DAN PEMBAHASAN**

### 187 **3.1. Analisa Proksimat Cangkang Rajungan**

188 Hasil pengujian proksimat cangkang rajungan dapat dilihat pada Tabel 1. Hasil yang  
189 ditampilkan merupakan hasil analisa dari 3 kali ulangan dan standard error.

190 Tabel 1. Analisa Proksimat Cangkang Rajungan

191 *Table 1. Analysis of Proximate Of Crab Shell*

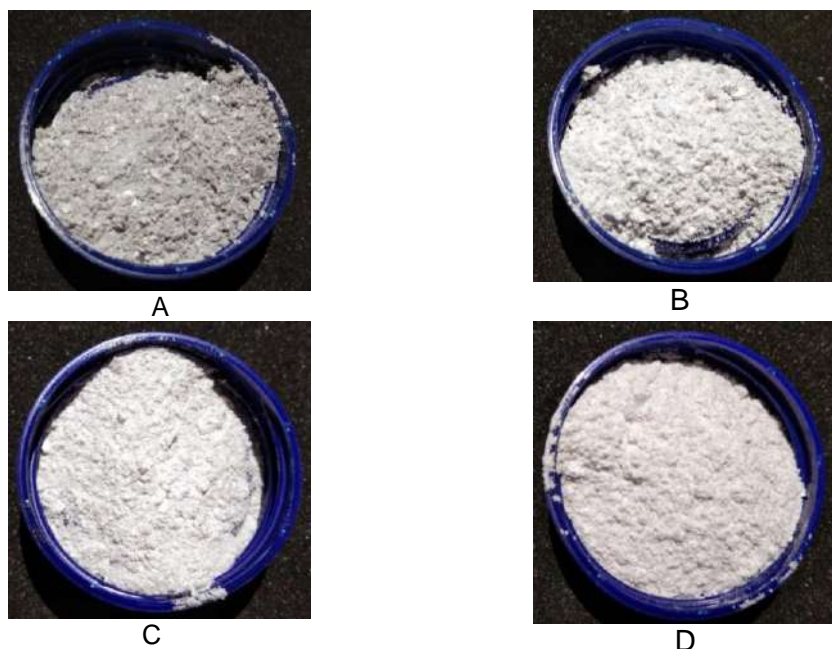
PROKSIMAT/ <i>Proximate</i>	Air/Moisture	Abu/Ash	Lemak/ Fat	Protein/ <i>Protein</i>
Nilai Rata-Rata dan Standar Error/ <i>Average Value and Standard Error (%)</i>	7.36±0.001	63.12±0.004	0.28±0.004	13.18±0.01

192 Ket: n = 3

193 Kadar abu pada cangkang rajungan lebih besar dibandingkan dengan kadar proksimat  
194 lainnya. Selanjutnya, masih adanya protein dalam cangkang rajungan, kemungkinan  
195 disebabkan suhu pemanasan yang masih dalam level sedang. Menurut penelitian Lubena et  
196 al. (2020) menyatakan, cangkang rajungan mengandung kadar abu lebih besar 44,03%,  
197 daripada kadar protein 29,91%, dan kadar air 0,45%. Semakin besar kadar abu  
198 dibandingkan kadar protein, maka cangkang rajungan semakin keras dan memiliki  
199 kandungan mineral yang tinggi (Kusumaningrum, Sutono, & Fajar, 2016). Dalam kandungan  
200 mineral terdapat mineral makro yaitu Ca, Mg, Na, dan K (Hafiludin 2015). Hal ini berarti  
201 cangkang rajungan dapat dijadikan sebagai tepung kalsium oksida (CaO) karena memiliki  
202 nilai kadar abu yang tinggi dibandingkan kadar protein, air, dan lemak. Artinya, kalsium pada  
203 cangkang rajungan memungkinkan dijadikan bubuk hidroksiapatit dengan menambahkan  
204 prekursor fosfat, karena hidroksiapatit merupakan anggota mineral apatit yang terdiri dari  
205 precursor kalsium dan fosfat (Ngapa 2018).

206 **3.2. Penampakan Tepung CaO Cangkang Rajungan**

207 Hasil penampakan tepung CaO dapat dilihat pada Gambar 1.



208 Gambar 1. Tepung CaO hasil kalsinasi tepung cangkang rajungan pada berbagai perlakuan  
209 suhu dan waktu kalsinasi; A. Perlakuan kalsinasi 700 °C selama 4 jam, B. 700 °C  
210 selama 5 jam, C. 800 °C selama 4 jam, D. 800 °C selama 5 jam.

211 *Figure 1. CaO powder from calcination of crab shell powder with temperature and time  
212 treatments; A. calcination treatments of 700 °C for 4 hours, B. 700 °C for 5 hours,  
213 C. 800 °C for 4 hours, D. 800 °C for 5 hours.*

214 Hasil penampakan tepung CaO dengan suhu 700 °C selama 4 jam memiliki warna  
215 putih kehitaman, artinya belum sepenuhnya menghasilkan warna yang seragam. Selain itu,  
216 tekstur tepung CaO masih kasar dan belum sepenuhnya menjadi abu. Untuk suhu 700 °C  
217 selama 5 jam, penampakan tepung CaO hampir seluruhnya putih, tetapi masih ada  
218 cangkang yang berwarna kehitaman.

219 Tepung CaO pada perlakuan suhu 800 °C selama 4 jam telah menjadi putih  
220 sedikit kemerahan. Sedangkan, pada saat dikalsinasi 5 jam, tekstur tepung CaO sangat  
221 halus dan mulai menunjukkan warna putih seragam. Menurut Kusrini dan Sontang (2012),  
222 warna tepung CaO setelah kalsinasi berwarna hitam, menandakan bahwa dekomposisi  
223 matriks organik seperti protein dan kolagen tidak sempurna. Sedangkan warna putih  
224 menandakan sebaliknya dalam hal dekomposisi matriks organik yang sempurna (Rosalina,

Pascawinata, & Roesnoer, 2017). Berdasarkan morfologi hasil kalsinasi tepung CaO, maka dipilih perlakuan 800 °C selama 5 jam yang menghasilkan warna putih dan tekstur halus.

### 3.3. Rendemen Tepung CaO

Kalsinasi pada suhu 700 °C selama 4 jam memberikan rendeman yang paling tinggi dibanding dengan perlakuan lainnya, sementara kalsinasi pada suhu 800 °C selama 5 jam mempunyai rendemen yang terendah (Tabel 1.). Rendahnya rendemen pada suhu 800 °C dimungkinkan terjadi karena semakin lama waktu dan semakin tinggi suhu kalsinasi. Hal tersebut menyebabkan semakin banyak karbon yang hilang, sehingga semakin baik dekomposisi CO<sub>2</sub>. Oleh karena itu, CaO yang dihasilkan tingkat kemurniannya semakin tinggi (Handayani et al., 2020)

Tabel 2. Rendemen tepung CaO

Table 2. Yield of Crab Shell CaO Powder

Suhu dan Waktu Kalsinasi/ Temperature and Time Of Calcination	700 °C , 4 jam/ hours	700 °C , 5 jam / hours	800 °C , 4 jam/ hours	800 °C , 5 jam/ hours
Nilai Rata-Rata dan Standar Error/ Average Value and Standard Error (%)	62.10±0.71 <sup>a</sup>	60.07±0.06 <sup>b</sup>	43.38±0.14 <sup>c</sup>	41.68±0.02 <sup>c</sup>

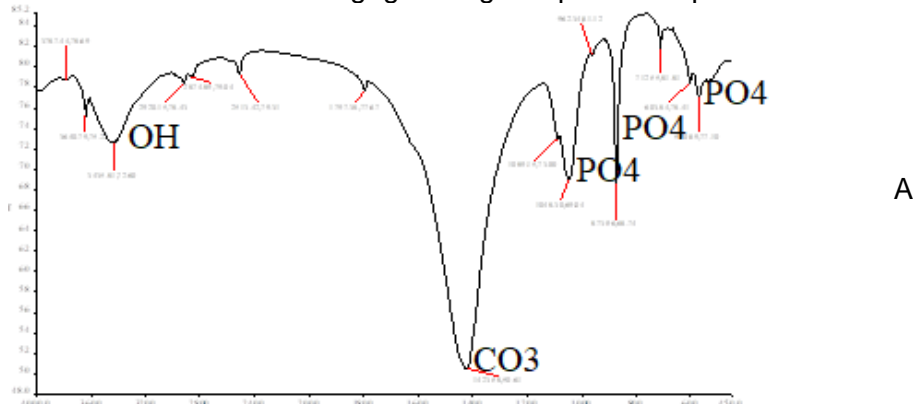
Ket/ info : n = 8 (n per proses = 2)

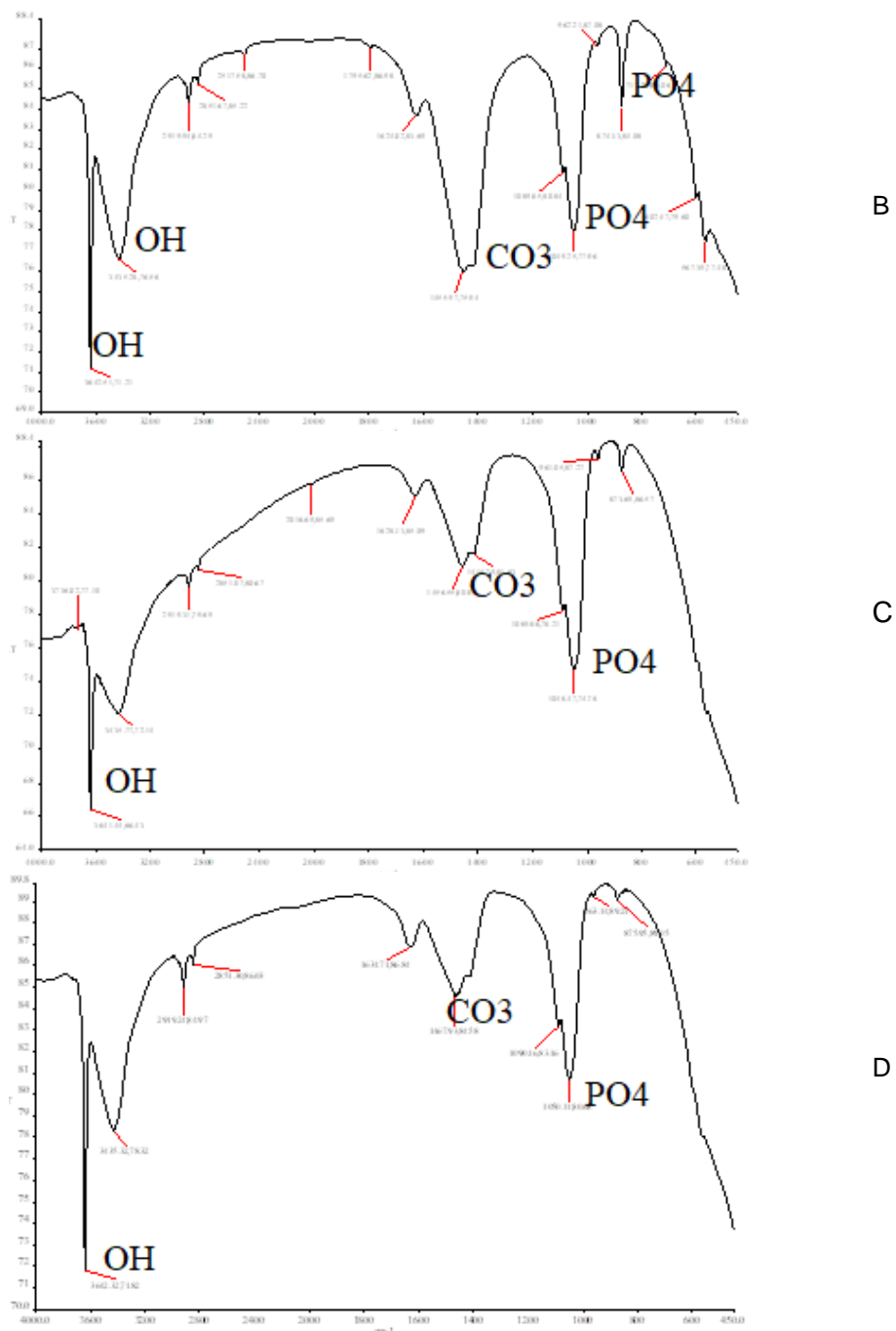
Notasi yang berbeda menunjukkan perbedaan yang signifikan terhadap perlakuan/ superscripts label denotes significant difference across treatments

Analisis statistik menunjukkan, perlakuan suhu dan waktu berpengaruh nyata terhadap rendemen ( $p<0,05$ ). Sedangkan pada hasil analisa lanjutan uji Tukey, perlakuan antara suhu 700 °C selama 4 jam dan 5 jam °C menunjukkan rata-rata rendemen berbeda nyata dengan perlakuan lainnya, dengan signifikan ( $p<0,05$ ). Akan tetapi, antara perlakuan suhu 800 °C selama 4 jam dengan 5 jam menunjukkan hasil rata-rata rendemen tidak berbeda nyata ( $p>0,05$ ).

### 3.4. Analisa Karakteristik Gugus Fungsi Tepung CaO Cangkang Rajungan

Hasil analisa karakteristik gugus fungsi dapat dilihat pada Gambar 2.





250 Gambar 2. Hasil Analisa Gugus Fungsi Tepung Cao Cangkang Rajungan pada berbagai  
 251 perlakuan suhu dan waktu kalsinasi; A. Perlakuan kalsinasi 700 °C selama 4 jam,  
 252 B. 700 °C selama 5 jam, C. 800 °C selama 4 jam, D. 800 °C selama 5 jam.

253 *Figure 2. Results of Analysis of Molecule Groups of Cao Powder From Crab Shells with*  
 254 *temperature and time treatments; A. calcination treatments of 700 °C for 4 hours,*  
 255 *B. 700 °C for 5 hours, C. 800 °C for 4 hours, D. 800 °C for 5 hours.*

256 Hasil analisa gugus fungsi pada Gambar 2 menjelaskan bahwa, gugus fosfat ( $\text{PO}_4^{3-}$ )  
 257 muncul pada perlakuan suhu 700 °C selama 4 jam terdeteksi sebanyak tujuh lengkungan  
 258 tajam pada gelombang 1089,15; dan 1048,30  $\text{cm}^{-1}$ . Selanjutnya pada perlakuan 700 °C  
 259 selama 5 jam masih terdapat tujuh lengkungan tajam, tetapi terjadi peningkatan pada  
 260 gelombang  $\text{PO}_4^{3-}$  1089,85; dan 1049,25  $\text{cm}^{-1}$ . Sedangkan pada perlakuan 800 °C,  
 261 berkurangnya lengkungan tajam menjadi empat yaitu pada saat 4 jam dengan gelombang  
 262 1089,86; dan 1048,47  $\text{cm}^{-1}$ , serta saat 5 jam dengan gelombang 1090,16; dan 1050,11  $\text{cm}^{-1}$ .  
 263 Berkurangnya lengkungan tajam, menandakan bahwa kandungan fosfat pada tepung CaO

berkurang. Pada empat perlakuan menandakan sudah ada unsur fosfat pada tepung CaO, karena pada hidroksiapatit dibentuk oleh fosfat dengan ditandai pada gelombang 1000-1100 cm<sup>-1</sup> (Riyanto & Maddu, 2014). Keberadaan gugus fosfat menandakan bahwa tepung CaO dapat dijadikan bahan baku hidroksiapatit (Supangat & Cahyaningrum, 2017). Oleh karena itu, keberadaan gugus PO<sub>4</sub><sup>3-</sup> pada perlakuan suhu 800 °C selama 5 jam mengindikasikan sebagai perlakuan terbaik sementara, dalam kalsinasi tepung CaO cangkang rajungan.

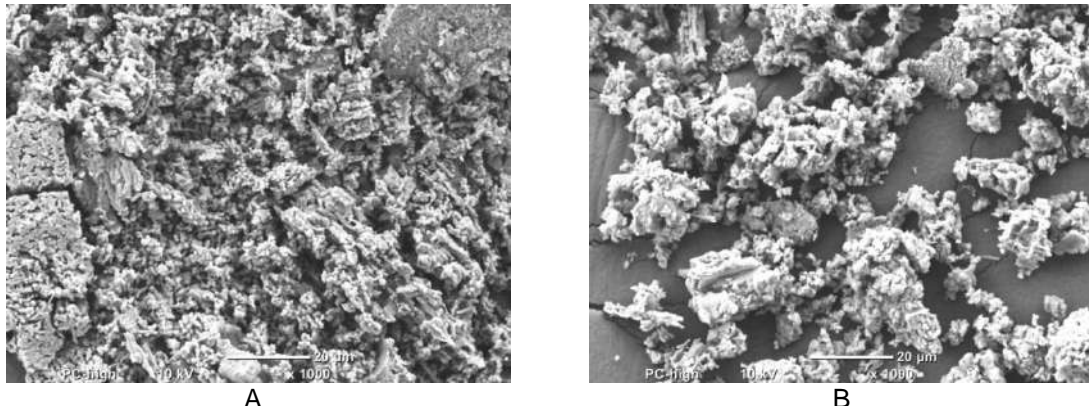
Masih terdapat gugus fungsi karbonat (CO<sub>3</sub><sup>2-</sup>) pada seluruh perlakuan. Indikasi adanya gugus fungsi karbonat terdapat pada gelombang 1400-1500 cm<sup>-1</sup> (Hanura, Trilaksani, & Suptijah, 2017). Hal ini ditandai dengan munculnya gelombang CO<sub>3</sub><sup>2-</sup> pada perlakuan 700 °C selama 4 jam sebesar 1423,58 cm<sup>-1</sup>, dan pada saat 5 jam sebesar 1455,97 cm<sup>-1</sup>. Sedangkan pada perlakuan suhu 800 °C selama 4 jam, gelombang CO<sub>3</sub><sup>2-</sup> sebesar 1456,55 cm<sup>-1</sup>, dan saat 5 jam sebesar 1467,93 cm<sup>-1</sup>. Munculnya gugus fungsi CO<sub>3</sub><sup>2-</sup> disebabkan munculnya karbon dioksida dari udara bebas saat pengangkatan tepung CaO dari furnace ke desikator. Selain itu, pengerjaan di ruang terbuka menyebabkan karbon dioksida masuk ke dalam tepung CaO. Pengkalsinasi di ruangan bebas mengakibatkan munculnya karbon dioksida pada sampel hasil kalsinasi (Kurniawan, Hartini, & Cahyanti, 2019).

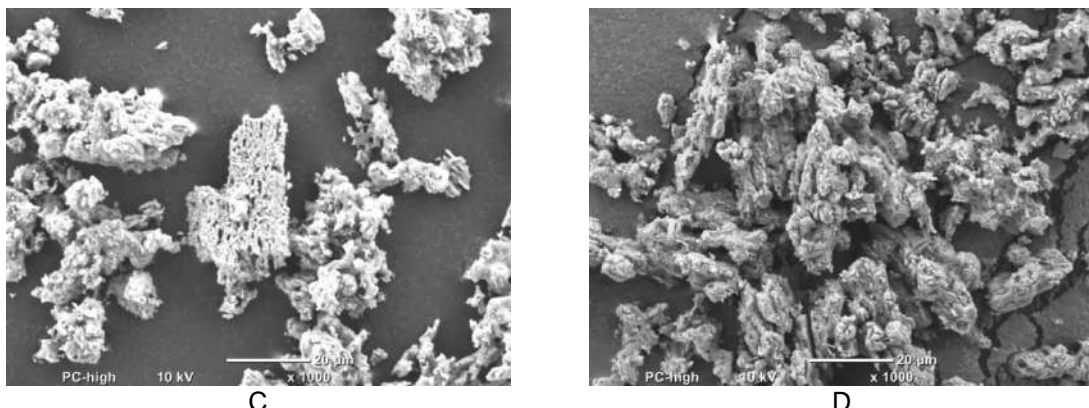
Gugus hidroksil (OH<sup>-</sup>) juga terjadi perlakuan kalsinasi pada suhu 700 °C selama 4 jam sekitar 3746,02; 3641,44; dan 3435,77 cm<sup>-1</sup>. Sedangkan pada waktu 5 jam, gelombang OH<sup>-</sup> 3642,32 dan 2919,24 cm<sup>-1</sup>. Untuk perlakuan kalsinasi cangkang rajungan pada suhu 800 °C selama 4 jam, gelombang OH<sup>-</sup> sekitar 3642,51 dan 3435,28 cm<sup>-1</sup>. Sedangkan pada waktu 5 jam, gelombang OH<sup>-</sup> 3787,44, dan 3640,79 cm<sup>-1</sup>. Pada suhu 800 °C selama 5 jam, terlihat bahwa lengkungan tajam pada gelombang 3640,79 cm<sup>-1</sup> masih ada. Hal ini menandakan bahwa pemanasan dalam pelepasan H<sub>2</sub>O kurang sempurna. Hilangnya lengkungan tajam pada gelombang 4000-3000 cm<sup>-1</sup>, menandakan bahwa dekomposisi H<sub>2</sub>O berjalan dengan baik (Sunardi, Utami Irawati, & Wianto 2011). Masih adanya gugus OH<sup>-</sup> disebabkan penyimpanan tepung CaO yang terlalu lama di dalam furnace selama 5 jam setelah furnace.

Berdasarkan hasil analisa gugus fungsi, maka variabel perlakuan kalsinasi 800 °C menjadi yang terbaik. Hal ini ditandai dengan rendahnya gugus OH<sup>-</sup>. akan tetapi, hal tersebut perlu dilakukan analisa morfologi dan kadar kalsium fosfat untuk memastikan perlakuan terbaik dari kalsinasi tepung CaO.

### 3.5. Analisa Morfologi Tepung CaO

Hasil analisa morfologi tepung CaO dapat dilihat pada Gambar 3 dengan pembesaran 1000 kali.





297 Gambar 3. Hasil Analisa Morfologi Tepung CaO pada perlakuan suhu dan waktu kalsinasi; A.  
298 Perlakuan kalsinasi 700 °C selama 4 jam, B. 700 °C selama 5 jam, C. 800 °C  
299 selama 4 jam, D. 800 °C selama 5 jam.

300 *Figure 3. Morphological Analysis Results of CaO Powder with temperature and time*  
301 *treatments; A. calcination treatments of 700 °C for 4 hours, B. 700 °C for 5 hours,*  
302 *C. 800 °C for 4 hours, D. 800 °C for 5 hours.*

303 Hasil analisa morfologi dengan pembesaran 1000 kali menunjukkan bahwa cangkang  
304 rajungan yang telah dikasinasi membentuk algomerasi atau gumpalan. Hal ini sesuai  
305 dengan (Ichsan, Helwani, & Zultiniar, 2015) bahwa setelah proses kalsinasi, morfologi  
306 tepung CaO berbentuk gumpalan. Terdapat hampir kesamaan antara gambar a sampai c,  
307 dimana tepung kalsium berbentuk gumpalan datar berpori, serta masih terdapat granula  
308 yang tidak seragam. Permasalahan pada tepung CaO A sampai C adalah, bentuk morfologi  
309 partikelnya yang masih kasar. Hal ini terlihat berbeda dari tepung CaO D, dimana bentuk  
310 partikelnya mulai halus dan tidak kasar pada permukaannya. Morfologi CaO yang tajam  
311 dapat menyebabkan peradangan sampai melukai jaringan pada tubuh, sehingga  
312 memungkinkan membahayakan (Dorozhkin 2010). Untuk gambar d, terlihat bentuk sudah  
313 mulai halus dan pori sedikit kecil. Semakin besar suhu pemanasan, maka akan  
314 mengakibatkan pengecilan hingga penutupan pori-pori, serta akan menghilangnya batas-  
315 batas dari granula tersebut (Kurniawan, Nizar, Rijal, Bagas, & Setyarsih, 2014).

### 316 **3.6. Analisa Persentase Jumlah Massa Kalsium (Ca), Fosfat (P), dan Oksida (O), dan** 317 **Karbon (C) Tepung CaO Cangkang Rajungan**

318 Hasil analisa persentase jumlah massa kalsium, fosfat, oksida, dan karbon tepung  
319 CaO dengan instrumen SEM dapat dilihat pada Tabel 3.

320 Tabel 3. Analisa Jumlah Massa Persentase Ca, P, O, Dan C Tepung CaO

321 *Table 3. Percentage Analysis of Ca, P, O, and C CaO Powder*

Unsur/ Element	Suhu dan Waktu Kalsinasi/ Temperature and Time Of Calcination	Rata-rata/ Average
Kalsium/ Calcium	700 °C selama 4 jam/ 700 °C for 4 hours	78.61±2.65 <sup>a</sup>
	700 °C selama 5 jam/ 700 °C for 5 hours	80.36 ± 1.31 <sup>a</sup>
	800 °C selama 4 jam/ 800 °C for 4 hours	89.88±0.22 <sup>b</sup>
	800 °C selama 5 jam/ 800 °C for 5 hours	91.96±2.93 <sup>b</sup>
Fosfat/ Phosphor	700 °C selama 4 jam/ 700 °C for 4 hours	3.84±1.81 <sup>a</sup>
	700 °C selama 5 jam/ 700 °C for 5 hours	5.12±2.04 <sup>a</sup>
	800 °C selama 4 jam/ 800 °C for 4 hours	2.40±0.23 <sup>a</sup>
	800 °C selama 5 jam/ 800 °C for 5 hours	5.09±1.57 <sup>a</sup>
Oksida/ Oxide	700 °C selama 4 jam/ 700 °C for 4 hours	8.79±2.85 <sup>a</sup>
	700 °C selama 5 jam/ 700 °C for 5 hours	6.60±0.52 <sup>a</sup>
	800 °C selama 4 jam/ 800 °C for 4 hours	4.21±0.58 <sup>a</sup>

<b>Unsur/ Element</b>	<b>Suhu dan Waktu Kalsinasi/ Temperature and Time Of Calcination</b>	<b>Rata-rata/ Average</b>
	800 °C selama 5 jam/ 800 °C for 5 hours	2.63±0.73 <sup>a</sup>
Karbon/ Carbon	700 °C selama 4 jam/ 700 °C for 4 hours	8.76±1.59 <sup>a</sup>
	700 °C selama 5 jam/ 700 °C for 5 hours	4.33±0.19 <sup>b</sup>
	800 °C selama 4 jam/ 800 °C for 4 hours	3.51±0.18 <sup>b</sup>
	800 °C selama 5 jam/ 800 °C for 5 hours	3.14±0.86 <sup>b</sup>

322 Catatan/ note;

323 Notasi yang berbeda menunjukkan perbedaan yang signifikan terhadap perlakuan/ *superscripts label*  
 324 *denotes significant difference across treatments.*

325 Pada Tabel 3, jumlah massa kalsium terkecil terdapat pada perlakuan 700 °C selama  
 326 4 jam, sedangkan yang terbesar terdapat pada perlakuan 800 °C selama 5 jam. Kemudian  
 327 pada jumlah massa fosfat, perlakuan 800 °C selama 4 jam memiliki fosfat terkecil,  
 328 sedangkan perlakuan 700 °C selama 5 jam menunjukkan fosfat terbesar. Selanjutnya,  
 329 jumlah massa oksida terkecil terdapat pada perlakuan 800 °C selama 5 jam, sedangkan  
 330 perlakuan 700 °C selama 4 jam menunjukkan jumlah oksida terbesar. Kemudian pada  
 331 jumlah massa karbon menandakan pembakaran saat kalsinasi sempurna dalam hal  
 332 mendekomposisi kandungan karbon pada cangkang rajungan, karena secara umum  
 333 kalsinasi merupakan proses pembakaran untuk mendekomposisi zat yang mudah terbakar  
 334 seperti karbon (Setiawan, 2016). Jumlah karbon terbesar terdapat pada perlakuan 700 °C  
 335 selama 4 jam. Sedangkan yang paling kecil jumlah karbonnya terdapat pada perlakuan 800  
 336 °C selama 5 jam.

337 Hasil statistik menunjukkan, suhu dan waktu kalsinasi berbeda nyata pada jumlah  
 338 massa kalsium tepung CaO ( $p<0,05$ ). Pada uji lanjutan Tukey menyatakan, jumlah massa  
 339 kalsium antara 700 °C selama 4 jam dengan 5 jam tidak berbeda nyata ( $p>0,05$ ), kemudian  
 340 antara perlakuan 800 °C selama 4 jam dan 5 jam menunjukkan jumlah massa kalsium tidak  
 341 berbeda nyata ( $p>0,05$ ). Sedangkan pada jumlah masa fosfat dan oksida menunjukkan  
 342 bahwa, suhu dan waktu kalsinasi tidak berbeda nyata tepung CaO ( $p>0,05$ ). Selanjutnya,  
 343 pada jumlah massa karbon tepung CaO menunjukkan hasil berbeda nyata ( $p<0,05$ ),  
 344 sehingga setelah uji lanjutan menyatakan, pada suhu 700 °C selama 4 jam, dengan  
 345 perlakuan lainnya menunjukkan jumlah massa yang berbeda nyata ( $p<0,05$ ), sedangkan  
 346 antara perlakuan suhu 700 °C selama 5 jam, 800 °C selama 4 jam, dan 5 jam menunjukkan  
 347 jumlah massa yang tidak berbeda nyata ( $p>0,05$ ).

348 Berdasarkan hasil analisa EDS, dapat disimpulkan perlakuan terbaik adalah pada  
 349 suhu 800 °C dengan waktu 5 jam karena menghasilkan kadar kalsium yang terbesar.  
 350 Tepung CaO ini kemudian dapat diolah lebih lanjut menjadi bubuk hidroksiapatit dengan  
 351 dicampur prekursor fosfat. Fosfat jenis H<sub>3</sub>PO<sub>4</sub> berfungsi untuk menambahkan kadar fosfat  
 352 pada reaksi sintesis hidroksiapatit (Puspita and Cahyaningrum 2017).

### 3.7. Analisa Persentase Derajat Kristalinitas Tepung CaO Cangkang Rajungan

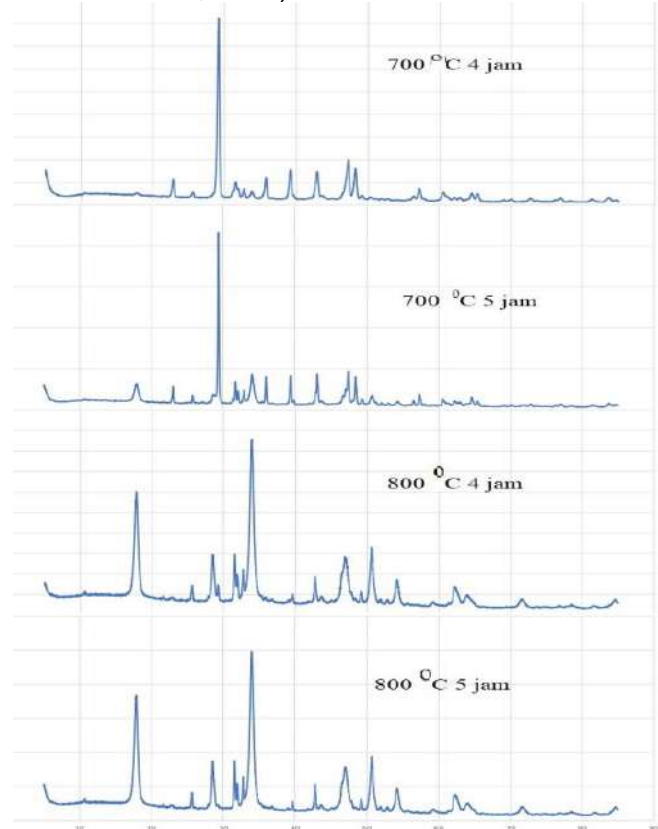
353 Hasil perhitungan derajat kristalinitas tepung CaO dapat dilihat pada Tabel 4.  
 354 Sedangkan analisa kualitatif terdapat pada Gambar 4.

355 Tabel 4. Hasil Perhitungan Rata-rata Derajat Kristalinitas Tepung CaO Cangkang Rajungan  
 356 *Table 4. Results of Calculation of Degree of Crystallinity of Crab Shell CaO Powder*

<b>Suhu dan Waktu Kalsinasi/ Temperature and Time of Calcination</b>	<b>700°C 4 jam/ 700°C 4 hours</b>	<b>700°C 5 jam/ 700°C 5 hours</b>	<b>800°C 4 jam/ 800°C 4 hours</b>	<b>800°C 5 jam/ 800°C 5 hours</b>
<b>Hasil Derajat Kristalinitas/ Result of Degree of Crystallinity (%)</b>	64	70	71,67	75,71

357 Berdasarkan Tabel 4, derajat kristalinitas terendah terdapat pada perlakuan suhu  
 358 700 °C 4 jam dengan nilai 64%. Sedangkan pada perlakuan tertinggi terdapat pada suhu  
 359

360 800 °C selama 5 jam yaitu 75%. Sebagai material pembuatan hidroksiapatit, perlakuan  
361 tepung CaO terpilih adalah pada derajat kristalinitas yang terbesar yaitu pada perlakuan 800  
362 °C selama 5 jam. Hasil derajar kristalinitas sebesar 75%, dapat dikatakan bahwa tepung  
363 CaO mampu menjadi prekursor kalsium untuk hidroksiapatit. Hal ini dikarenakan  
364 hidroksiapatit memiliki persentase derajat dengan nilai terbaik diatas 70% (Rana, Akhtar,  
365 Rahman, Jamil, & Asaduzzaman, 2017).



366  
367 Gambar 4. Hasil Analisa Kualitatif XRD Tepung CaO  
368 *Figure 4. Results of Qualitative XRD Analysis of CaO Powders*

369 Pada Gambar 4, getaran gelombang kristalinitas masih terdapat pelebaran  
370 lengkungan getaran atau belum tajam. Hal tersebut menandakan pemanasan masih belum  
371 sepenuhnya sempurna menjadi hidroksiapatit, artinya masih harus dilakukan pemanasan  
372 lanjutan. Hal tersebut dikatakan wajar karena masih berupa tepung CaO. Dengan drajat  
373 kristalinitas tepung CaO 75%, dapat dilakukan pemanasan lebih lanjut menjadi hidroksiapatit  
374 sehingga pemanasan dapat menjadi sempurna. Selain itu, masih terdapat kontaminan pada  
375 tepung CaO. Jika puncak yang semakin tajam pada grafik, menandakan seluruh perlakuan  
376 hidroksiapatit sudah menghasilkan kristal murni. Jika puncak melebar, maka masih terdapat  
377 kontaminan lain atau pemanasan saat kalsinasi atau sintering belum optimal (Negara dan  
378 Simpen 2018).

#### 379 **4. KESIMPULAN**

380 Tepung CaO terbaik terpilih pada perlakuan suhu 800 °C selama 5 jam dengan  
381 karakteristik morfologi penampakan yang halus, berkurangnya granula yang tidak seragam,  
382 dan pori yang lebih kecil, kadar kalsium  $91,96 \pm 5,07\%$ , serta persentase derajat kristalinitas  
383 sebesar 75%. Selanjutnya perlu dilakukan penelitian lanjutan untuk menaikkan suhu diatas  
384 800 °C, sehingga didapatkan morfologi tepung CaO yang lebih halus dan rasio Ca/P yang  
385 lebih rendah mendekati rasio Ca/P hidroksiapatit 1,67.

#### 386 **UCAPAN TERIMA KASIH**

387 Ucapan terima kasih kepada pihak Balai Besar Riset Pengolahan Produk dan  
388 Bioteknologi Kelautan dan Perikanan atas dukungan finansial dan fasilitas dalam  
389 melaksanakan penelitian ini.

## 390 DAFTAR PUSTAKA

- 391 Bose, Susmita, Solaiman Tarafder, Joe Edgington, and Amit Bandyopadhyay. 2011.  
392 "Calcium Phosphate Ceramics in Drug Delivery." *Biomaterials for regenerative*  
393 *medicine Calcium* 63(4): 93–98. [www.tms.org/jom.html](http://www.tms.org/jom.html).
- 394 Cahyono, Eko, Juanita Fani Jonas, Bella Anjelika Lalenoh, and Nurfaida Kota. 2019.  
395 "Karakterisasi Kalsium Karbonat (CaCO<sub>3</sub>) Dari Cangkang Landak Laut (Diadema  
396 Setosum)." *Jurnal Fishtech* 8(1): 28–34.
- 397 Dorozhkin, Sergey V. 2010. "Bioceramics of Calcium Orthophosphates." *Biomaterials* 31(7):  
398 1465–85. <http://dx.doi.org/10.1016/j.biomaterials.2009.11.050>.
- 399 Hafiludin. 2015. "Analisis Kandungan Gizi Pada Ikan Bandeng Yang Berasal Dari Habitat  
400 Yang Berbeda." *Jurnal Kelautan* 8(1): 37–43.
- 401 Handayani, Lia, Reza Zuhrayani, Nadia Putri, and Riska Nanda. 2020. "Pengaruh Suhu  
402 Kalsinasi Terhadap Nilai Rendemen CaO." *Jurnal TILAPIA* 1(1): 1–6.
- 403 Hanura, Aditya Bayu, Wini Trilaksani, and Pipih Suptijah. 2017. "Karakterisasi  
404 Nanohidroksiapatit Tulang Tuna Thunnus Sp. Sebagai Sediaan Biomaterial." *Jurnal*  
405 *Ilmu dan Teknologi Kelautan Tropis* 9(2): 619–30.  
<http://journal.ipb.ac.id/index.php/jurnalalikt>.
- 406 Harahap, Ari Wibowo, and Zuchra Helwani. 2015. "Sintesis Hidroksiapatit Melalui  
407 Precipitated Calcium Carbonate ( PCC ) Cangkang Kerang Darah Dengan Metode  
408 Hidrotermal Pada Variasi PH Dan Waktu Reaksi." *Jom FTEKNIK* 2(2).
- 409 Henggu, Krisman Umbu, Bustami Ibrahim, and Pipih Suptijah. 2019. "Hidroksiapatit Dari  
410 Cangkang Sotong Sebagai Sediaan Biomaterial Perancah Tulang." *JPHPI, Masyarakat*  
411 *Pengolahan Hasil Perikanan Indonesia* 22(1): 1–13.
- 412 Ichsan, R.H.N.A, Zuchra Helwani, and Zultiniar. 2015. "Sintesis Hidroksiapatit Melalui  
413 Precipitated Calcium Carbonate (PCC) Dari Cangkang Kerang Darah Dengan Metode  
414 Hidrotermal Pada Variasi Waktu Reaksi Dan Rasio Ca/P." *JOM FTEKNIK* 2(2): 1–9.
- 415 Kantharia, Nidhi et al. 2014. "Nano-Hydroxyapatite and Its Contemporary Applications."  
416 *Journal of Dental Research and Scientific Development* 1(1): 15.
- 417 Khoirudin, Mukhlis, Yelmida, and Zultiniar. 2017. "Sintesis Dan Karakterisasi Hidroksiapatit  
418 Dari Kulit Kerang Darah (Anadara Granosa) Dengan Proses Hidrotermal." *Jom*  
419 *FTEKNIK* 2(2): 1–8.
- 420 Kolmas, Joanna, Sylwester Krukowski, Aleksandra Laskus, and Maria Jurkiewicz. 2016.  
421 "Synthetic Hydroxyapatite in Pharmaceutical Applications." *Ceramics International*  
422 42(2): 2472–87. <http://dx.doi.org/10.1016/j.ceramint.2015.10.048>.
- 423 Kurniawan, Akhmad et al. 2014. "Studi Pengaruh Variasi Suhu Kalsinasi Terhadap  
424 Kekerasan Bentuk Morfologi, Dan Analisis Porositas Nanokomposit CaO/SiO<sub>2</sub> Untuk  
425 Aplikasi Bahan Biomaterial." *Jurnal Penelitian Fisika dan Aplikasinya (JPFA)* 4(2): 22.
- 426 Kurniawan, Asep Mufti, Sri Hartini, and Margareta Novian Cahyanti. 2019. "Pengaruh  
427 Konsentrasi Fosfat Terhadap Perbandingan Ca / P Hidroksiapatit Dari Limbah Gipsum  
428 Industri Keramik." *Ilmu-ilmu MIPA* 19(1): 46–56.
- 429 Kusumaningrum, Indrati, Doddy Sutono, and Bagus Fajar. 2016. "Pemanfaatan Tulang Ikan  
430 Belida Sebagai Tepung Sumber Kalsium Dengan Metode Alkali." *Jphpi* 19(2): 148–55.
- 431 Malau, N.D., and S.F. Azzahra. 2020. "Pengaruh Waktu Kalsinasi Terhadap Karakteristik  
432 Kristal CaO Dari Limbah Cangkang Kepiting." *Jurnal Pendidikan, Matematika, dan*  
433 *Sains* 5(1): 83–92. <http://ejournal.uki.ac.id/index.php/edumatsains>.
- 434 Negara, I Made Sutha, and I Nengah Simpen. 2018. "Karakteristik Hidroksiapatit Hasil  
435 Ekstraksi Termal Dari Tulang Limbah Dan Aplikasinya Untuk Adsorpsi Ion Selektif Biru  
436 Metilen." *Cakra Kimia* 6(2): 123–30.
- 437 Ngapa, Yulius D. 2018. "Sintesis Dan Karakterisasi Hidroksiapatit ( HAp ) Dari Limbah  
438 Dengan Metode Basah Presipitasi." *Jurnal Dinamika Sains* 2(1): 67–72.
- 439 Purwasasmita, BS, and RS Gultom. 2008. "Sintesis Dan Karakterisasi Serbuk Hidroksiapatit

- 441 Skala Sub Mikron Menggunakan Metode Presipitasi." *Jurnal Bionatura* 10(2): 155–67.  
442 Puspita, Fenty Wiana, and Sari Edi Cahyaningrum. 2017. "Sintesis Dan Karakterisasi  
443 Hidroksiapatit Dari Cangkang Telur Ayam Ras (*Gallus Gallus*) Menggunakan Metode  
444 Pengendapan Basah." *UNESA Journal of Chemistry* 6(2): 100–106.  
445 Rana, Masud et al. 2017. "Extraction of Hydroxyapatite from Bovine and Human Cortical  
446 Bone by Thermal Decomposition and Effect of Gamma Radiation: A Comparative  
447 Study." *International Journal of Complementary & Alternative Medicine* 8(3).  
448 Raya, Indah et al. 2015. "Shynthesis and Characterizations of Calcium Hydroxyapatite  
449 Derived from Crabs Shells ( *Portunus Pelagicus* ) and Its Potency in Safeguard against  
450 to Dental Demineralizations." *International Journal of Biomaterials* 2015.  
451 Rizkayanti, Yazida, and Yusril Yusuf. 2019. "In Press , Accepted Manuscript – Note to Users  
452 Optimization of the Temperature Synthesis of Hydroxyapatite from Indonesian Crab  
453 Shells In Press , Accepted Manuscript – Note to Users." *International Journal of  
454 Nanoelectronics and Materials* In.  
455 Rosalina, Wenny, Andries Pascawinata, and Masra Roesnoer. 2017. "Karakteristik Scaffold  
456 Hidroksiapatit Dari Gigi Manusia Menggunakan Uji X-Ray Diffraction (XRD)." *Jurnal B-  
457 Dent* 4(2): 133–40.  
458 Setiawan, Muhammad Arif. 2016. *Studi Variasi Ukuran Butir Proses Desulfurisasi Kokas  
459 Petroleum Yang Terkalsinasi*. Tugas Akhir Program Studi Teknik Material dan Metalurgi  
460 Institut Teknologi Sepuluh Novermber  
461 <http://dx.doi.org/10.1016/j.cirp.2016.06.001>  
462 <https://doi.org/10.1016/j.ijfatigue.2019.02.006>  
463 <https://doi.org/10.1016/j.matlet.2019.127252>  
464 Suharto, Slamet, Romadhon, and Sri Redjeki. 2016. "Analisis Susut Bobot Pengukusan Dan  
465 Rendaman Pengupasan Rajungan Berukuran Berbeda Dan Rajungan Bertelur."  
466 *Fisheries Science and Technology (IJFST)* 12(1): 47–51.  
467 Sunardi, Utami Irawati, and Totok Wianto. 2011. "Karakterisasi Kaolin Lokal Kalimantan  
468 Selatan Hasil Kalsinasi." *Jurnal Fisika FLUX* Vol 8: 59–65.  
469 Supangat, Dicky, and Sari Edi Cahyaningrum. 2017. "Sintesis Dan Karakterisasi  
470 Hidroksiapatit Dari Cangkang Kepiting (*Scylla Serrata*) Dengan Metode Pengendapan  
471 Basah." *UNESA Journal of Chemistry* 6(3): 143–49.  
472 Warastuti, Yessy, and Basril Abbas. 2011. "Sintesis Dan Karakterisasi Pasta Injectable Bone  
473 Substitute Iradiasi Berbasis Hidroksiapatit." *A Scientific Journal for The Applications of  
474 Isotopes and Radiation* 7(2): 73–82.  
475 Yang, Yushi et al. 2014. "Hydrothermal Synthesis of Hydroxyapatite with Different  
476 Morphologies : Influence of Supersaturation of the Reaction System Hydrothermal  
477 Synthesis of Hydroxyapatite with Different Morphologies : Influence of  
478 Supersaturation of the Reaction System." *American Chemical Society, Crystal Growth  
479 & Design* (January 2019). <https://www.researchgate.net/publication/272135311>.  
480

Bukti Permintaan Proofreading tgl 18/05/2021



## OPTIMASI WAKTU DAN SUHU KAL SINASI TEPUNG CANGKANG RAJUNGAN (*Portunus* sp.) SEBAGAI BAHAN BAKU HIDROKSIAPATIT

### ***The Optimization of Time and Temperature to Calcine The Crab Shell (*Portunus* sp.) Powder as Raw Material of Hydroxyapatite***

**Bagus Hadiwinata<sup>1\*</sup>, Fera Roswita Dewi<sup>2</sup>, Dina Fransiska<sup>2</sup>, dan Niken Dharmayanti<sup>3</sup>**

<sup>1</sup> Sekolah Usaha Perikanan Menengah Negeri Kotaagung,

Jl. Pantai Harapan, Ds. Way Gelang, Lampung, 35384, Indonesia

<sup>2</sup>Balai Besar Riset Pengolahan Produk dan Bioteknologi Kelautan dan Perikanan,

Jl. KS Tubun, Petamburan VI, Jakarta Pusat, DKI Jakarta, 10260, Indonesia

<sup>3</sup> Politeknik Ahli Usaha Perikanan, Jl. Raya Pasar Minggu, Jakarta Selatan, DKI Jakarta, 12520, Indonesia

\*Korespondensi penulis : bagushadiwinatams@gmail.com,

Diterima: 1 Februari 2021; Direvisi: 13 April 2021; Disetujui: 11 Juni 2021

#### ABSTRAK

Kalsinasi merupakan salah satu tahapan penting dalam sintesis hidroksiapatit, karena kemurnian tepung CaO sangat tergantung pada suhu dan waktu kalsinasi. Penelitian ini bertujuan untuk mendapatkan waktu dan suhu optimum pada kalsinasi tepung cangkang rajungan (*Portunus* sp.) pada pembuatan tepung kalsium oksida (CaO). Pada penelitian ini, cangkang rajungan dikalsinasi pada suhu 700 dan 800°C selama 4 dan 5 jam. Hasil penelitian menunjukkan bahwa perlakuan suhu dan waktu kalsinasi berpengaruh terhadap rendemen, jumlah massa kalsium, dan karbon dari tepung CaO ( $p<0,05$ ). Sedangkan jumlah massa fosfor dan oksida tidak dipengaruhi oleh perlakuan kalsinasi ( $p>0,05$ ). Tepung CaO kemudian diidentifikasi gugus fungsi, morfologi, komposisi, dan kristalinitasnya menggunakan *Fourier Transform Infrared Spectroscopy* (FTIR), *Scanning Electron Microscope* (SEM) dengan *Energy Dispersive Spectroscopy* (EDS), dan *X-Ray Diffraction* (XRD). Hasil pengamatan menunjukkan tepung CaO terbaik diperoleh dari perlakuan kalsinasi pada suhu 800°C selama 5 jam, menghasilkan morfologi tepung dengan ukuran yang lebih seragam serta pori-pori yang lebih halus dan lebih kecil dibandingkan perlakuan lainnya. Selain itu, kadar kalsium dan derajat kristalinitas yang dihasilkan pada perlakuan tersebut lebih besar dibandingkan dengan perlakuan lainnya, yaitu berturut-turut  $91,96\pm5,07\%$  dan 75%. Dengan demikian dapat disimpulkan bahwa proses kalsinasi pada suhu 800°C selama 5 jam menghasilkan tepung CaO yang paling optimum dan dapat dijadikan bahan baku sintesis hidroksiapatit.

**KATA KUNCI:** cangkang rajungan, kalsinasi, tepung CaO, hidrokisapatit

#### ABSTRACT

*Calcination is one of the important steps in the synthesis of hydroxyapatite because the purity of CaO powder is highly dependent on the temperature and time of calcination. This study aimed to optimize the time and temperature of calcination on the production of *Portunus* sp. calcium oxide (CaO) powder. In this study, crab shells were calcined at 700 and 800°C for 4 and 5 hours. The results showed that the temperature and time of calcination affected the yield, total mass of calcium, and carbon of CaO powder ( $p<0.05$ ). Meanwhile, the mass amount of phosphor and oxide was not affected by the calcination treatment ( $p>0.05$ ). The CaO powder was identified its functional groups, morphology, composition, and crystallinity using Fourier Transform Infrared Spectroscopy (FTIR), Scanning Electron Microscope (SEM) with Energy Dispersive Spectroscopy (EDS), and X-Ray Diffraction (XRD), respectively. The results showed the best CaO powder was obtained from the calcination treatment at a temperature of 800°C for 5 hours. The CaO morphology was uniform in size, finer, and smaller pores than that of other treatments. In addition, the calcium content and degree of crystallinity produced by this treatment were greater than other treatments, i.e.  $91.96\pm5.07\%$  and 75%, respectively. It can be concluded that the calcination process at 800°C for 5 hours produces the best CaO powder and can be used as raw material for the synthesis of hydroxyapatite.*

**KEYWORDS:** crab shell, calcination, CaO powder, hydroxyapatite

## PENDAHULUAN

Cangkang rajungan merupakan hasil samping pengolahan rajungan yang belum optimal pemanfaatannya. Industri pengolahan rajungan di Indonesia memanfaatkan 30,07% sampai 42,1% bagian rajungan untuk diambil dagingnya, terutama untuk produk kaleng (Suharto, Romadhon, & Redjeki, 2016). Sekitar 50% cangkang rajungan menjadi limbah dan dilaporkan memiliki kandungan kalsium karbonat ( $\text{CaCO}_3$ ) sekitar 40 sampai 70% (Suharto et al., 2016) yang dapat dimanfaatkan sebagai kalsium pada sintesis hidroksiapatit (Raya, Mayasari, Yahya, Syahrul, & Latunra, 2015). Tingginya kandungan kalsium karbonat menjadikan cangkang rajungan memiliki potensi untuk diekstrak kalsiumnya menjadi bahan baku hidroksiapatit dalam negeri.

Hidroksiapatit merupakan anggota mineral apatit yang mengandung hidroksida dengan rumus kimia  $\text{Ca}_{10}(\text{PO}_4)_6(\text{OH})_2$  (Ngapa, 2018), serta memiliki kadar basa mendekati netral sebagai komponen utama jaringan tulang yang bersifat rapuh (Yang et al., 2014). Produksi hidroksiapatit dalam negeri masih sangat kurang, sehingga Indonesia masih harus mengimpor dengan harga Rp. 1,5 miliar per 5 mg untuk perancah tulang (Henggu, Ibrahim, & Suptijah, 2019). Pada bidang farmasi, hidroksiapatit berfungsi sebagai *drug delivery system*, yaitu media penghantar obat melalui strukturnya yang berpori (Bose, Tarafder, Edgington, & Bandyopadhyay, 2011).

Hidroksiapatit juga dapat berfungsi sebagai anti kanker pada penyakit kanker tulang, yaitu untuk memperbaiki tulang yang terkikis serta mengisi jaringan tulang yang hilang (Kolmas, Krukowski, Laskus, & Jurkiewicz, 2016). Hidroksiapatit dapat diaplikasikan sebagai biokeramik yang kontak dengan jaringan tulang (*bone tissue*) dan sebagai pelapis (*coating*) pada implan tulang (Harahap & Helwani, 2015). Hidroksiapatit juga bermanfaat sebagai pasta *injectable bone substitute* (IBS) yang disintesis dengan radiasi dan dapat digunakan sebagai *graft biomaterial* (Warastuti & Abbas, 2011).

Untuk menjadi hidroksiapatit, cangkang rajungan perlu diproses menjadi tepung kalsium oksida ( $\text{CaO}$ ) terlebih dahulu guna menghilangkan unsur karbonat pada  $\text{CaCO}_3$ . Keberadaan karbonat harus didekomposisi karena akan menghambat pembentukan hidroksiapatit. Proses dekomposisi tersebut berguna untuk menghasilkan tepung  $\text{CaO}$  dengan kandungan kalsium tinggi (Khoirudin, Yelmida, & Zultiniar, 2015). Tepung  $\text{CaO}$  merupakan salah satu prekursor kalsium pada sintesis hidroksiapatit.  $\text{CaO}$  direaksikan dengan fosfor sehingga membentuk rasio kalsium dan fosfor ( $\text{Ca}/\text{P}$ ) yang diinginkan. Salah satu kriteria hidroksiapatit yang baik adalah rasio  $\text{Ca}/\text{P}$

sebesar 1,67 (Kantharia et al., 2014). Oleh karena itu perlu dilakukan optimasi pada proses pengolahan cangkang rajungan menjadi tepung  $\text{CaO}$  untuk mendapatkan tepung  $\text{CaO}$  dengan karakteristik yang diinginkan.

Kalsinasi merupakan proses untuk melepaskan unsur-unsur karbonat pada cangkang rajungan. Proses kalsinasi dapat dilakukan pada suhu 500-700°C untuk temperatur rendah, 700-900°C untuk temperatur sedang, dan >900°C untuk temperatur tinggi (Handayani, Zuhrayani, Putri, & Nanda, 2020). Keberhasilan proses kalsinasi cangkang rajungan dapat dipengaruhi oleh karakteristik bahan baku, temperatur, dan waktu kalsinasi. Pada penelitian cangkang rajungan sebelumnya telah dilakukan kalsinasi  $\text{CaO}$  dengan suhu 1.000°C selama 3 jam, tetapi belum diketahui bagaimana karakteristik kalsium, gugus fungsi yang terbentuk, serta derajat kristalinitasnya (Rizkayanti & Yusuf, 2019).

Saat ini, belum ada penelitian yang menjelaskan hasil tepung  $\text{CaO}$  dari cangkang rajungan dengan pemakaian suhu sedang. Penelitian ini melakukan kalsinasi tepung cangkang rajungan dengan suhu sedang, yaitu 700°C selama 4 dan 5 jam, serta 800°C selama 4 dan 5 jam. Selanjutnya dilakukan analisis karakteristik tepung  $\text{CaO}$  dari cangkang rajungan, dengan perlakuan suhu kalsinasi pada kategori sedang dengan waktu berbeda. Tujuannya adalah untuk mendapatkan tepung  $\text{CaO}$  dengan karakteristik terbaik dengan melihat parameter pendukung sebagai bahan dasar hidroksiapatit.

## BAHAN DAN METODE

### Bahan

Bahan utama yang dipakai pada penelitian ini adalah cangkang rajungan (*Portunus sp.*) yang berasal dari unit pengolahan rajungan di TPI Pasir Putih, Karawang, Jawa Barat. Cangkang rajungan semi basah dikemas dalam karung untuk kemudian diangkut pada suhu 3-5°C menuju Balai Besar Riset Pengolahan Produk dan Bioteknologi Kelautan dan Perikanan (BBRP2B-KP) di Jakarta.

### Metode

Tahapan kalsinasi cangkang rajungan mengacu pada metode Rizkayanti dan Yusuf (2019). Cangkang rajungan semi basah dicuci menggunakan air bersih segera setelah sampai di laboratorium untuk membersihkan kotoran dan sisa daging dengan menyikat cangkang kemudian dibilas kembali dengan air bersih. Cangkang yang telah bersih dijemur hingga kering selama 2 hari. Cangkang kering selanjutnya

dihancurkan dengan blender HR2106 (*Philips*) dengan kecepatan 30 rpm. Hancuran cangkang kemudian disaring dengan saringan plastik berukuran 100 mesh. Cangkang rajungan yang sudah disaring kemudian dianalisis kandungan proksimatnya yang meliputi kadar air (BSN, 2006a), lemak (BSN, 2006b), protein (BSN, 2006c), dan abu (BSN, 2010).

Tepung cangkang rajungan dikalsinasi dalam *furnace* 6000 (*barnstead*, USA) pada suhu 700 dan 800°C selama 4 dan 5 jam. Setelah kalsinasi, suhu furnace diturunkan sampai 300°C, selanjutnya dimatikan, dan tepung CaO dibiarkan dalam *furnace* selama 5 jam. Tepung CaO yang dihasilkan kemudian dipindahkan ke dalam desikator dan didiamkan selama 3 jam. Selanjutnya dilakukan perhitungan rendemen tepung CaO, analisis gugus fungsi, derajat kristalinitas, morfologi, kadar kalsium, fosfor, oksida, serta karbon. Rendemen dihitung dengan membandingkan berat tepung CaO dengan tepung cangkang rajungan kering sebelum proses kalsinasi.

### **Analisis gugus fungsi**

Analisis gugus fungsi dilakukan menggunakan instrumen *Spectrum One FTIR (Fourier Transform Infrared Spectroscopy)* seri C69526 (*Perkin Elmer*) yang mampu membaca pada bilangan gelombang 4.000-400 cm<sup>-1</sup> dengan resolusi 4 cm<sup>-1</sup>. Sebelum dilakukan analisis gugus fungsi, sampel dipeletkan dengan KBr. Sebanyak 2 mg sampel dicampur dengan KBr pada perbandingan 1/100 kemudian dibuat pelet dengan tekanan 7 ton selama 15 menit. Spektrum yang dihasilkan dianalisis gugus fungsinya berdasarkan Warastuti dan Abbas (2011).

### **Analisis morfologi**

Morfologi tepung CaO dianalisis menggunakan instrumen SEM (*Scanning Electron Microscopy*). Tepung CaO diambil secara *swab* kemudian dilakukan proses pelapisan (*coating*) dengan logam emas (Au) selama 1 menit. Mikrostruktur tepung CaO diamati menggunakan software *JEOL 6000* serta didokumentasikan gambarnya dengan perbesaran hingga 1000 kali. Proses pengukuran dilakukan pada akselerasi tegangan 20 kV.

### **Analisis persentase kalsium, fosfor, karbon, dan oksida**

Analisis komposisi kalsium, fosfor, dan oksida dilakukan menggunakan SEM yang dilengkapi EDS (*Energy Dispersive Spectroscopy*) untuk menentukan persentase kadar kalsium, fosfor, dan oksida. Tepung CaO diambil secara *swab*, diletakkan pada plat sampel (*sample holder*), lalu diamati menggunakan software *JEOL 6000* pada perbesaran 1000 kali. Proses pengukuran dilakukan pada

akselerasi tegangan 20 kV. Selanjutnya dilakukan analisis terhadap persentase kalsium, fosfor, dan oksida mengacu pada metode Anitha dan Pandya (2014). Jumlah massa hasil perhitungan oleh *software* dijadikan dasar dalam perhitungan persentase kadar kalsium, fosfor, karbon, dan oksida.

### **Analisis derajat kristalinitas**

Analisis kristalinitas tepung CaO dilakukan dengan metode kuantitatif menggunakan instrumen *X-ray Difraction* tipe *Rigaku Smartlab*. Perhitungan kristalinitas dilakukan dengan rumus yang digunakan oleh Landi, Tampieri, Celotti, dan Spiro (2000) dalam hasil penelitian Purwasasmita dan Gultom (2008) sebagai berikut:

$$\% \text{ Kristalinitas} = 1 - [(V110-I300)/I300] \times 100\%$$

dimana:

$$V110-I300 = \text{puncak terrendah antara puncak hasil difraksi 112 dan 300}$$
$$I300 = \text{intensitas puncak yang dihasilkan}$$
$$V300$$

### **Analisis statistik**

Penelitian ini menggunakan rancangan percobaan dengan 4 perlakuan dan 2 ulangan proses. Untuk melihat pengaruh perlakuan terhadap rendemen, serta jumlah kadar kalsium, fosfor, karbon, dan oksida, dilakukan *analysis of varian (ANOVA) oneway* menggunakan aplikasi SPSS seri 23 (SPSS Inc., Chicago, Ill, USA). Selanjutnya, terhadap parameter perlakuan yang berbeda nyata dilakukan uji lanjut Tukey.

## **HASIL DAN PEMBAHASAN**

### **Kandungan Proksimat Cangkang Rajungan**

Hasil pengujian proksimat cangkang rajungan menunjukkan kadar air  $7,36 \pm 0,001\%$ ; abu  $63,12 \pm 0,004\%$ ; lemak  $1,28 \pm 0,004\%$ , dan protein  $13,18 \pm 0,01\%$ . Kadar abu cangkang rajungan pada penelitian ini menunjukkan prosentase yang paling besar diantara parameter proksimat lainnya. Hal ini selaras dengan hasil penelitian Lubena, Naidir, Andrian, dan Sandi, (2020) yang menyatakan bahwa cangkang rajungan mengandung abu 44,03%, protein 29,91%, dan air 0,45%. Tingginya kadar abu pada cangkang rajungan menandakan kandungan mineral yang tinggi.

Menurut Kusumaningrum, Sutono, dan Pamungkas (2016) semakin besar kadar abu pada tulang ikan dibandingkan kadar proteinnya, maka tulang tersebut semakin keras dan memiliki

kandungan mineral yang tinggi. Tinginya kandungan mineral pada cangkang rajungan mengindikasikan bahwa bahan alam ini berpotensi sebagai tepung kalsium oksida (CaO). Kalsium dari cangkang rajungan ini berpotensi sebagai bubuk hidroksiapatit dengan menambahkan prekursor fosfor. Hidroksiapatit merupakan anggota mineral apatit yang terdiri atas prekursor kalsium dan fosfor (Ngapa, 2018).

### **Kenampakan Tepung CaO Cangkang Rajungan**

Proses kalsinasi dengan suhu dan waktu berbeda menghasilkan kenampakan tepung CaO yang berbeda (Gambar 1). Tepung CaO dari perlakuan suhu 700°C selama 4 jam memiliki kenampakan yang belum seragam, yaitu berwarna putih kehitaman. Selain itu, tekstur tepung CaO masih kasar dan belum sepenuhnya menjadi abu, sedangkan perlakuan suhu 700°C selama 5 jam menghasilkan kenampakan tepung CaO hampir seluruhnya putih, tetapi masih ada cangkang yang berwarna kehitaman. Tepung CaO

pada perlakuan suhu 800°C selama 4 jam telah menjadi putih sedikit kemerahan. Selanjutnya, pada saat dikalsinasi 5 jam, tekstur tepung CaO sudah sangat halus dan mulai menunjukkan warna putih seragam.

Menurut Rosalina, Pascawinata, dan Roesnoer (2017), warna tepung CaO setelah kalsinasi yang berwarna hitam menandakan dekomposisi matriks organik seperti protein dan kolagen tidak sempurna. Sementara itu, warna putih CaO menandakan sebaliknya, yaitu dekomposisi matriks organik yang sempurna (Rosalina et al., 2017). Berdasarkan morfologi hasil kalsinasi tepung CaO, maka perlakuan 800°C selama 5 jam merupakan kondisi kalsinasi optimum yang menghasilkan tepung CaO dengan warna putih dan tekstur halus.

### **Rendemen Tepung CaO**

Secara umum, perlakuan kalsinasi berpengaruh terhadap rendemen tepung CaO (Tabel 1). Hasil analisis lanjutan uji Tukey menunjukkan perlakuan



Gambar 1. Tepung CaO hasil kalsinasi tepung cangkang rajungan pada berbagai perlakuan suhu dan waktu kalsinasi; a. Perlakuan kalsinasi 700 °C selama 4 jam, b. 700 °C selama 5 jam, c. 800 °C selama 4 jam, d. 800 °C selama 5 jam

Figure 1. *CaO powder from calcination of crab shell powder with temperature and time variation; a. calcination treatments of 700 °C for 4 hours, b. 700 °C for 5 hours, c. 800 °C for 4 hours, d. 800 °C for 5 hours*

Tabel 1. Rendemen tepung CaO cangkang rajungan

Table 1. Yield of crab shell CaO powder

<b>Kalsinasi/Calcination</b>		<b>Rendemen/Yield (%)</b>
<b>Waktu/Time (Jam/Hours)</b>	<b>Suhu/Temperature (°C)</b>	
4	700	62.10 ± 0.71 <sup>a</sup>
5	700	60.07 ± 0.06 <sup>b</sup>
4	800	43.38 ± 0.14 <sup>c</sup>
5	800	41.68 ± 0.02 <sup>c</sup>

Keterangan/*Note*: n = 8 (n per proses = 2/n per process = 2)

Notasi yang berbeda menunjukkan perbedaan yang signifikan terhadap perlakuan/*Different superscripts label denotes significant difference across treatments*

antara suhu 700°C selama 4 jam dan 5 jam menghasilkan rata-rata rendemen berbeda nyata dengan perlakuan lainnya ( $p<0,05$ ). Akan tetapi, antara perlakuan suhu 800°C selama 4 jam dengan 5 jam menghasilkan rendemen tidak berbeda nyata ( $p>0,05$ ).

Kalsinasi pada suhu 700°C selama 4 jam menghasilkan rendeman yang paling tinggi dibanding dengan perlakuan lainnya, sementara kalsinasi pada suhu 800°C selama 5 jam menghasilkan rendemen terendah. Rendahnya rendemen pada suhu 800 °C terjadi karena semakin banyak karbon yang hilang dalam proses dekomposisi CO<sub>2</sub>. Semakin sedikit kandungan karbon dan komponen lain setelah proses kalsinasi, tepung CaO yang dihasilkan memiliki tingkat kemurnian yang semakin tinggi (Handayani et al., 2020).

### **Karakteristik Gugus Fungsi Tepung CaO Cangkang Rajungan**

Hasil analisis gugus fungsi pada Gambar 2 menunjukkan bahwa semua tepung CaO hasil perlakuan suhu dan waktu kalsinasi terdeteksi adanya gugus fosfor (PO<sub>4</sub><sup>3-</sup>). Hal ini ditandai dengan adanya gugus fungsi fosfor pada bilangan gelombang 1000-1100 cm<sup>-1</sup> (Riyanto & Maddu, 2014). Pada perlakuan suhu 700°C selama 4 jam terdeteksi adanya gugus PO<sub>4</sub><sup>3-</sup> sebanyak tujuh lengkungan tajam pada gelombang 1089,15 dan 1048,30 cm<sup>-1</sup>. Selanjutnya, pada perlakuan 700°C selama 5 jam masih terdapat tujuh lengkungan tajam, tetapi terjadi peningkatan pada gelombang PO<sub>4</sub><sup>3-</sup> 1089,85 dan 1049,25 cm<sup>-1</sup>. Pada perlakuan 800°C, lengkungan tajam gugus PO<sub>4</sub><sup>3-</sup> berkurang menjadi empat. Berkurangnya lengkungan tajam menandakan bahwa kandungan fosfor pada tepung CaO berkurang. Keberadaan gugus fosfor menandakan bahwa tepung CaO dapat dijadikan bahan baku hidroksiapatit (Supangat & Cahyaningrum, 2017).

Berdasarkan profil gugus fungsi terlihat bahwa tepung hasil kalsinasi masih mengandung karbonat (CO<sub>3</sub><sup>2-</sup>). Hal ini ditandai dengan munculnya gugus karbonat pada bilangan gelombang 1400-1500 cm<sup>-1</sup> (Hanura, Trilaksani, & Suptijah, 2017). Gugus CO<sub>3</sub><sup>2-</sup> pada perlakuan 700°C selama 4 jam terdeteksi pada 1423,58 cm<sup>-1</sup>, dan 5 jam pada 1455,97 cm<sup>-1</sup>. Sedangkan pada perlakuan suhu 800°C selama 4 jam, gugus CO<sub>3</sub><sup>2-</sup> muncul pada 1456,55 cm<sup>-1</sup>, dan yang 5 jam pada 1467,93 cm<sup>-1</sup>. Munculnya gugus fungsi CO<sub>3</sub><sup>2-</sup> pada tepung CaO dapat disebabkan adanya karbon dioksida dari udara bebas saat pengangkutan tepung CaO dari furnace ke desikator. Selain itu, pengrajan di ruang terbuka dapat menyebabkan karbon dioksida

masuk ke dalam tepung CaO (Kurniawan, Hartini, & Cahyanti, 2019).

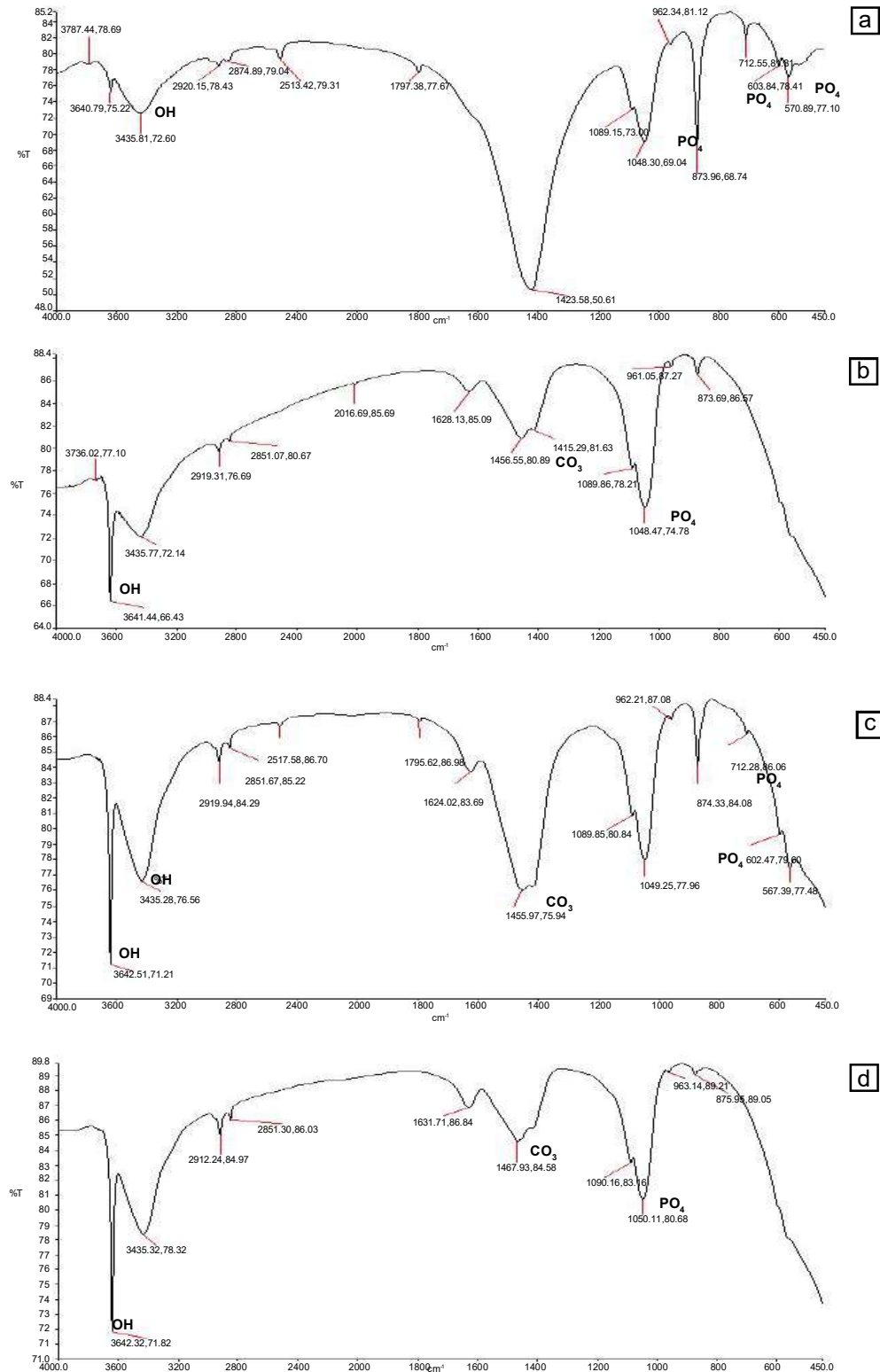
Hasil analisis gugus fungsi menunjukkan masih terdapat hidrosil (OH<sup>-</sup>). Hal ini terlihat pada hasil perlakuan kalsinasi pada suhu 700°C selama 4 jam yang muncul pada 3746,02; 3641,44 dan 3435,77 cm<sup>-1</sup>. Sedangkan pada perlakuan 5 jam, gugus OH<sup>-</sup> terlihat pada 3642,32 dan 2919,24 cm<sup>-1</sup>. Untuk perlakuan kalsinasi cangkang rajungan pada suhu 800°C selama 4 jam, gelombang OH<sup>-</sup> berada pada sekitar 3642,51 dan 3435,28 cm<sup>-1</sup>. Sedangkan pada waktu 5 jam gugus OH<sup>-</sup>, muncul pada 3787,44 dan 3640,79 cm<sup>-1</sup>. Pada perlakuan 800°C selama 5 jam, terlihat lengkungan tajam pada gelombang 3640,79 cm<sup>-1</sup>. Hal ini menandakan bahwa pemanasan kurang sempurna dalam pelepasan H<sub>2</sub>O. Dekomposisi H<sub>2</sub>O berjalan dengan baik ditandai dengan hilangnya lengkungan tajam pada gelombang 4000-3000 cm<sup>-1</sup> (Sunardi, Irawati, & Wianto, 2011). Masih adanya gugus OH<sup>-</sup> pada tepung CaO hasil penelitian ini kemungkinan juga dapat disebabkan penyimpanan tepung CaO yang terlalu lama di dalam furnace selama 5 jam setelah proses kalsinasi selesai.

### **Morfologi Tepung CaO**

Hasil analisis morfologi tepung CaO menunjukkan bahwa cangkang rajungan yang telah dikalsinasi membentuk algomerasi atau gumpalan (Gambar 3). Hal ini sesuai dengan hasil penelitian Ichsan, Helwani, dan Zultiniar (2015) yang menyatakan bahwa setelah proses kalsinasi, morfologi tepung CaO berbentuk gumpalan. Terdapat kesamaan antara Gambar 3a sampai 3c, tepung kalsium berbentuk gumpalan datar berpori serta masih terdapat granula yang tidak seragam dan kasar. Hal berbeda terlihat dari tepung CaO pada Gambar 3D, yaitu bentuk partikelnya halus dan tidak kasar . Halusnya partikel pada perlakuan suhu 800°C selama 5 jam dapat disebabkan tingginya suhu kalsinasi. Semakin tinggi suhu pemanasan, dapat menyebabkan pengecilan hingga penutupan pori-pori tepung, serta menghilangnya batas-batas dari granula tersebut (Kurniawan, Nizar, Rijal, Bagas, & Setyarsih, 2014). Morfologi tepung CaO yang halus lebih aman untuk diaplikasikan pada manusia. Morfologi CaO yang kasar/tajam dapat menyebabkan peradangan hingga melukai jaringan pada tubuh sehingga berpotensi menyebabkan bahaya (Dorozhkin, 2010).

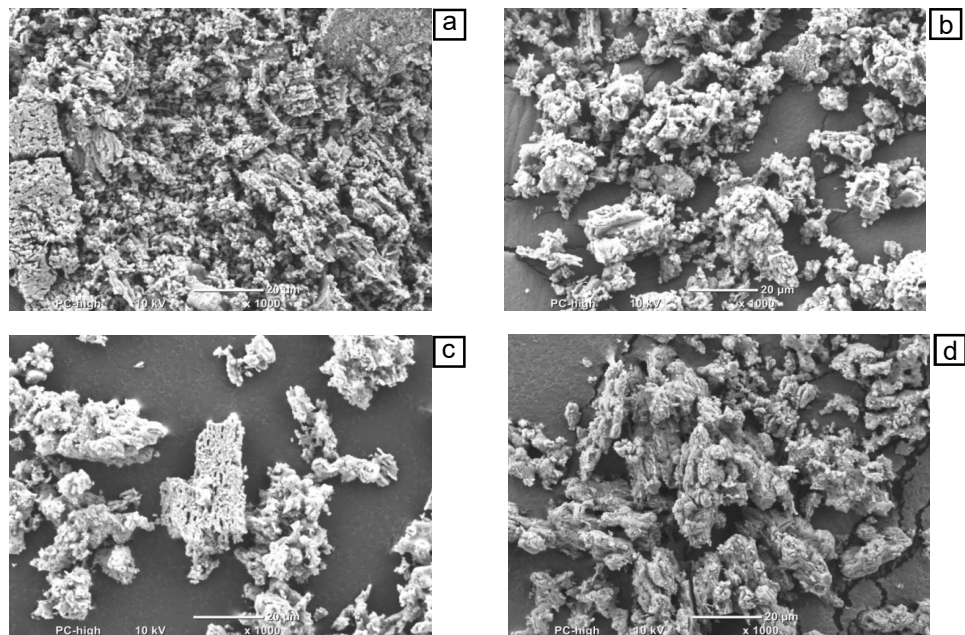
### **Persentase Jumlah Massa Kalsium (Ca), Fosfor(P), dan Oksigen(O), dan Karbon (C) Tepung CaO Cangkang Rajungan**

Hasil analisis persentase jumlah massa kalsium, fosfor, oksigen, dan karbon tepung CaO dengan



Gambar 2. Hasil analisis gugus fungsi tepung CaO cangkang rajungan pada berbagai perlakuan suhu dan waktu kalsinasi; a. Perlakuan kalsinasi 700°C selama 4 jam, b. 700°C selama 5 jam, c. 800°C selama 4 jam, d. 800°C selama 5 jam.

Figure 2. Results of functional groups analysis of CaO powder from crab shells with temperature and time variation; a. calcination treatments of 700°C for 4 hours, b. 700°C for 5 hours, c. 800°C for 4 hours, d. 800°C for 5 hours.



Gambar 3. Hasil analisis morfologi tepung CaO pada perlakuan suhu dan waktu kalsinasi; a. Perlakuan kalsinasi 700°C selama 4 jam, b. 700°C selama 5 jam, c. 800°C selama 4 jam, d. 800°C selama 5 jam.

*Figure 3. Morphological analysis results of CaO powder with temperature and time variation; a. calcination treatments of 700°C for 4 hours, b. 700°C for 5 hours, c. 800°C for 4 hours, d. 800°C for 5 hours.*

instrumen SEM dapat dilihat pada Tabel 2. Hasil analisa statistik menunjukkan suhu dan waktu kalsinasi berpengaruh nyata pada jumlah massa kalsium tepung CaO ( $p<0,05$ ). Akan tetapi, pada uji lanjut Tukey menunjukkan bahwa jumlah massa kalsium tepung CaO pada perlakuan waktu pada suhu yang sama tidak berbeda nyata. Jumlah massa kalsium tepung CaO terkecil terdapat pada perlakuan 700°C

selama 4 jam, sedangkan yang terbesar terdapat pada perlakuan 800°C selama 5 jam. Sebaliknya perlakuan suhu dan waktu kalsinasi tidak perpengaruh pada jumlah massa fosfor dan oksigen tepung CaO. Perlakuan 800°C selama 4 jam menghasilkan tepung dengan fosfor terkecil, sedangkan perlakuan 700°C selama 5 jam menghasilkan fosfor tepung terbesar. Selanjutnya, jumlah massa oksigen tepung CaO

Tabel 2 Persentase kandungan Ca, P, O, dan C pada tepung CaO

*Table 2. Percentage of Ca, P, O, and C of CaO powder*

Kalsinasi/Calcination		Kandungan Unsur/Element Content (%)			
Waktu/Time (Jam/Hours)	Suhu/Temperature (°C)	Kalsium/Calcium	Fosfor/Phosphor	Oksida/Oxide	Karbon/Carbon
4	700	78.61 ± 2.65 <sup>a</sup>	3.84 ± 1.81 <sup>a</sup>	8.79 ± 2.85 <sup>a</sup>	8.76 ± 1.59 <sup>a</sup>
5	700	80.36 ± 1.31 <sup>a</sup>	5.12 ± 2.04 <sup>a</sup>	6.60 ± 0.52 <sup>a</sup>	4.33 ± 0.19 <sup>b</sup>
4	800	89.88 ± 0.22 <sup>b</sup>	2.40 ± 0.23 <sup>a</sup>	4.21 ± 0.58 <sup>a</sup>	3.51 ± 0.18 <sup>b</sup>
5	800	91.96 ± 2.93 <sup>b</sup>	5.09 ± 1.57 <sup>a</sup>	2.63 ± 0.73 <sup>a</sup>	3.14 ± 0.86 <sup>b</sup>

Keterangan/Notes:

Notasi yang berbeda menunjukkan perbedaan yang signifikan terhadap perlakuan/*Different superscripts label denotes significant difference across treatments.*

terkecil terdapat pada perlakuan 800°C selama 5 jam, sedangkan perlakuan 700°C selama 4 jam menghasilkan jumlah oksigen tepung terbesar.

Jumlah massa karbon tepung CaO dipengaruhi oleh perlakuan kalsinasi ( $p<0,05$ ). Hasil uji lanjut menunjukkan perlakuan suhu 700°C selama 4 jam dengan perlakuan lainnya menghasilkan jumlah massa karbon yang berbeda nyata ( $p<0,05$ ), sedangkan antara perlakuan suhu 700°C selama 5 jam dengan 800°C selama 4 jam dan 5 jam menunjukkan jumlah massa karbon yang tidak berbeda nyata ( $p>0,05$ ). Jumlah karbon terbesar terdapat pada perlakuan 700°C selama 4 jam, sedangkan yang paling kecil pada perlakuan 800°C selama 5 jam. Berkurangnya jumlah massa karbon hasil kalsinasi menandakan pembakaran berjalan sempurna, dalam hal ini mendekomposisi kandungan karbon pada cangkang rajungan. Secara umum, kalsinasi merupakan proses pembakaran untuk mendekomposisi zat yang mudah terbakar, seperti karbon (Setiawan, 2016).

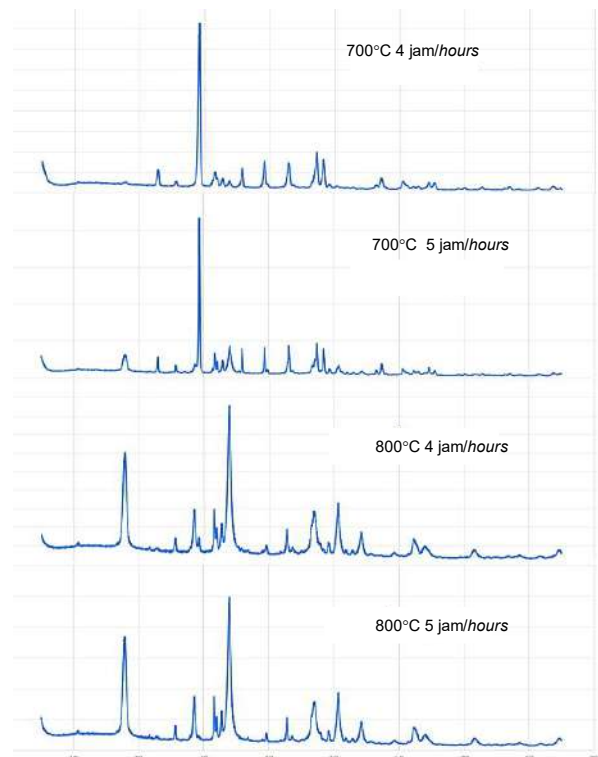
Berdasarkan hasil analisis EDS dapat disimpulkan bahwa perlakuan terbaik adalah kalsinasi pada suhu 800°C dengan waktu 5 jam, karena menghasilkan kadar kalsium yang terbesar. Tepung CaO ini kemudian dapat diolah lebih lanjut menjadi bubuk hidroksiapatit

dengan dicampur prekursor fosfor. Fosfor jenis H<sub>3</sub>PO<sub>4</sub> berfungsi untuk menambahkan kadar fosfor pada reaksi sintesis hidroksiapatit (Puspita & Cahyaningrum, 2017).

#### Persentase Derajat Kristalinitas Tepung CaO Cangkang Rajungan

Hasil analisa kualitatif derajat kristalinitas terdapat pada Gambar 4. Hasil XRD menunjukkan pola difraksi kristalinitas masih terdapat puncak yang melebar atau belum tajam. Hal tersebut menandakan tepung CaO yang diperoleh belum sempurna menjadi hidroksiapatit sehingga masih harus dilakukan pemanasan lanjutan. Selain itu, puncak yang melebar juga menandakan masih terdapat kontaminan lain pada saat proses kalsinasi. Tepung CaO dilaporkan memiliki gelombang kristalisasi yang lebar, dengan pemanasan lanjutan dapat diperoleh hidroksiapatit yang memiliki gelombang kristalinitas tajam (Negara & Simpen, 2018).

Berdasarkan Tabel 3, derajat kristalinitas tepung CaO terendah terdapat pada perlakuan suhu 700°C selama 4 jam dengan nilai 64%, sedangkan yang tertinggi ditunjukkan pada perlakuan suhu 800°C selama 5 jam, yaitu 75%. Tepung CaO hasil perlakuan suhu 800°C selama 4 dan 5 jam dapat dikategorikan



Gambar 4. Hasil analisis kualitatif XRD tepung CaO  
Figure 4. Qualitative XRD analysis of CaO powders

Tabel 3. Rata-rata derajat kristalinitas tepung CaO cangkang rajungan

Table 3. Crystallinity degree of crab shell CaO powder

Kalsinasi/Calcination		Derajat Kristalinitas/ Degree of Crystallinity (%)
Waktu/Time (Jam/Hours)	Suhu/Temperature (°C)	
4	700	64.05
5	700	70.16
4	800	71.67
5	800	75.71

sebagai material bahan hidroksiapatit karena menghasilkan derajat kristalinitas di atas 70% (Rana, Akhtar, Rahman, Jamil, & Asaduzzaman, 2017). Walaupun demikian, hasil kedua perlakuan tersebut perlu memperhatikan hasil analisa yang lainnya seperti morfologi, gugus fungsi, dan rendemennya.

## KESIMPULAN

Tepung CaO terbaik dihasilkan dari kalsinasi pada suhu 800°C selama 5 jam dengan karakteristik morfologi penampakan yang halus, berkurangnya granula yang tidak seragam, pori yang lebih kecil, kadar kalsium  $91,96 \pm 5,07\%$ , serta presentase derajat kristalinitas sebesar 75%. Disarankan untuk dilakukan penelitian lanjutan untuk menaikkan suhu di atas 800°C, sehingga diperoleh morfologi tepung CaO yang lebih halus, derajat kristalinitas, dan jumlah massa kalsium yang lebih tinggi sebagai prekursor hidroksiapatit.

## UCAPAN TERIMA KASIH

Penelitian ini dibiayai oleh DIPA BBRP2BKP Tahun 2020. Dalam penyusunan makalah ini, Fera Roswita Dewi dan Bagus Hadiwinata bertindak sebagai kontributor utama.

## DAFTAR PUSTAKA

- Anitha, P., & Pandya. H. M. (2014). Synthesis, characterization and antimicrobial Activity of nano hydroxyapatite via sol-gel method. *Journal of Nanotechnology Research and Practice*. 3(3), 120-125.
- Badan Standardisasi Nasional (BSN). (2006a). *Pengujian Kadar Air pada Produk Perikanan*. SNI No. 01-2354.2.2006. Badan Standardisasi Nasional
- Badan Standardisasi Nasional (BSN). (2006b). *Pengujian Kadar Lemak pada Produk Perikanan*. SNI No. 01-2354.3.2006. Badan Standardisasi Nasional.
- Badan Standardisasi Nasional (BSN). (2006c). *Pengujian Kadar Protein pada Produk Perikanan*. SNI No. 01-2354.4.2006. Badan Standardisasi Nasional.
- Badan Standardisasi Nasional (BSN). (2010). *Pengujian Kadar Abu pada Produk Perikanan*. SNI No. 01-2354.1-2010. Badan Standardisasi Nasional.
- Bose, S., Tarafder, S., Edgington, J., & Bandyopadhyay, A. (2011). Calcium phosphate ceramics in drug delivery. *Biomaterials for Regenerative Medicine*, 63(4), 93-98. doi: 0.1007/s11837-011-0065-7
- Dorozhkin, S. V. (2010). Bioceramics of Calcium Orthophosphates. *Biomaterials*, 31(7), 1465-85. doi:10.1016/j.biomaterials.2009.11.050.
- Handayani, L., Zuhrayani, R., Putri, N., & Nanda, R. (2020). Pengaruh suhu kalsinasi terhadap nilai rendemen CaO. *Jurnal Tilapia*, 1(1), 1-6. doi: 10.30601/tilapia.v1i1.1007
- Hanura, A. B., Trilaksani, W., & Suptijah, P. (2017). Karakterisasi nanohidroksiapatit tulang tuna *Thunnus* sp. sebagai sediaan biomaterial. *Jurnal Ilmu dan Teknologi Kelautan Tropis*, 9(2), 619-30. doi: 10.29244/jitkt.v9i2.19296
- Harahap, A. W., & Helwani, Z. (2015). Sintesis hidroksiapatit melalui precipitated calcium carbonate (PC ) cangkang kerang darah dengan metode hidrotermal pada variasi pH dan waktu reaksi. *Jurnal Online Mahasiswa Fakultas Teknik Universitas Riau*, 2(2), 1-8.
- Henggu, K. U., Ibrahim, B., & Suptijah, P. (2019). Hidroksiapatit dari cangkang sotong sebagai sediaan biomaterial perancah tulang. *Jurnal Pengolahan Hasil Perikanan Indonesia*, 22(1), 1-13. doi: 10.17844/jphpi.v22i1.25869
- Ichsan, R. H. N. A., Helwani, Z., & Zultiniar. (2015). Sintesis hidroksiapatit melalui precipitated calcium carbonate (PCC) dari cangkang kerang darah dengan metode hidrotermal pada variasi waktu reaksi dan rasio Ca/P. *Jurnal Online Mahasiswa Fakultas Teknik Universitas Riau*, 2(2), 1-9.
- Kantharia, N., Naik, S., Apte, S., Kheur, M., Kheur, S., & Kale, B., (2014). Nano-Hydroxyapatite and its contemporary applications. *Journal of Dental Research and Scientific Development*, 1(1), 15. doi: 10.4103/2348-3407.126135

- Khoirudin, M., Yelmida, & Zultiniar. (2015). Sintesis dan karakterisasi hidroksiapatit dari kulit kerang darah (*Anadara granosa*) dengan proses hidrotermal. *Jurnal Online Mahasiswa Fakultas Teknik*, 2(2), 1-8.
- Kolmas, J., Krukowski, S., Laskus, A., & Jurkiewicz, M. (2016). Synthetic hydroxyapatite in pharmaceutical applications. *Ceramics International*, 42(2), 2472-87. doi:10.1016/j.ceramint.2015.10.048.
- Kurniawan, A., Nizar, M., Rijal, M., Bagas, R., & Setyarsih, W. (2014). Studi pengaruh variasi suhu kalsinasi terhadap kekerasan bentuk morfologi, dan analisis porositas nanokomposit CaO/SiO<sub>2</sub> untuk aplikasi bahan biomaterial. *Jurnal Penelitian Fisika dan Aplikasinya (JPFA)*, 4(2), 22. doi: 10.26740/jpfa.v4n2.p22-26
- Kurniawan, A. M., Hartini, S., & Cahyanti, M. N. (2019). Pengaruh konsentrasi fosfat terhadap Perbandingan Ca/P hidroksiapatit dari limbah gipsum industri keramik. *EKSAKTA*, 19(1), 46-56.
- Kusumaningrum, I., Sutono, D., & Pamungkas, B. F. (2016). Pemanfaatan tulang ikan belida sebagai tepung sumber kalsium dengan metode alkali. *Jurnal Pengolahan Hasil Perikanan Indonesia*, 19(2), 148-155. doi: 10.17844/jphpi.2016.19.2.148
- Landi, E., Tampieri, A., Celotti, G. & Spiro, S. (2000). Densification behaviour and mechanisms of synthetic hydroxyapatite. *Journal of European Ceramics Society*.
- Lubena, L., Naidir, F., Andrian, B., & Sandi, A. D. (2020). Penurunan Turbidity, PH, Kadar Fe Menggunakan Biokoagulan Kitosan Dari Cangkang Rajungan (*Portunus pelagicus*). *Jurnal Konversi*, 9(1), 7-16. doi:10.24853/konversi.9.1.10
- Negara, I. M. S., & Simpen, I. M. (2018). Karakteristik hidroksiapatit hasil ekstraksi termal dari tulang limbah dan aplikasinya untuk adsorpsi ion selektif biru metilen. *Cakra Kimia*, 6(2), 123-30.
- Ngapa, Y. D. (2018). Sintesis dan karakterisasi hidroksiapatit ( HA<sub>p</sub> ) dari limbah dengan metode basah presipitasi. *Jurnal Dinamika Sains*, 2(1), 67-72.
- Purwasasmita, B., & Gultom, R. S. (2008). Sintesis dan karakterisasi serbuk hidroksiapatit skala sub mikron menggunakan metode presipitasi. *Jurnal Bionatura*, 10(2), 155–67.
- Puspita, F. W., & Cahyaningrum, S. E. (2017). Sintesis dan karakterisasi hidroksiapatit dari cangkang telur ayam ras (*Gallus gallus*) menggunakan metode pengendapan basah. *UNESA Journal of Chemistry*, 6(2), 100-106.
- Rana, M., Akhtar, M., Rahman, S., Jamil, H. M., & Asaduzzaman, S. (2017). Extraction of hydroxyapatite from bovine and human cortical bone by thermal decomposition and effect of gamma radiation: a comparative study. *International Journal of Complementary & Alternative Medicine*, 8(3). doi: 10.15406/ijcam.2017.08.00263
- Raya, I., Mayasari, E., Yahya, A., Syahrul, M., & Latunra, A. I. (2015). Shynthesis and characterizations of calcium hydroxyapatite derived from crabs shells ( *Portunus pelagicus* ) and its potency in safeguard against to dental demineralizations. *International Journal of Biomaterials*, 2015. doi: 10.1155/2015/469176
- Riyanto, B., & Maddu, A. 2014. Material of Hydroxyapatite-Based Bioceramics from Tuna Fishbone. *Jurnal Pengolahan Hasil Perikanan Indonesia*, 16(2). 119-32.
- Rizkayanti, Y., & Yusuf, Y. (2019). Optimization of the temperature synthesis of hydroxyapatite from Indonesian crab shells, *International Journal of Nanoelectronics and Materials*, 12(1), 85-92.
- Rosalina, W., Pascawinata, A., & Roesnoer, M. (2017). Karakteristik scaffold hidroksiapatit dari gigi manusia menggunakan uji X-Ray Diffraction (XRD). *Jurnal B-Dent.*, 4(2), 133-40.
- Setiawan, M. A. (2016). Studi Variasi Ukuran Butir Proses Desulfurisasi Kokas Petroleum Yang Terkalsinasi. *Tugas Akhir*. Program Studi Teknik Material dan Metalurgi: Institut Teknologi Sepuluh November
- Suharto, S., Romadhon, & Redjeki, S. (2016). Analisis Susut Bobot Pengukusan Dan Rendaman Pengupasan Rajungan Berukuran Berbeda Dan rajungan bertelur. *Fisheries Science and Technology (IJFST)*, 12(1), 47-51. doi: 10.14710/ijfst.12.1.47-51
- Sunardi, Irawati, U., & Wianto, T. (2011). Karakterisasi kaolin lokal Kalimantan Selatan hasil kalsinasi. *Jurnal Fisika FLUX*, 8, 59-65.
- Supangat, D., & Cahyaningrum, S. E. (2017). Sintesis dan karakterisasi hidroksiapatit dari cangkang kepiting (*Scylla serrata*) dengan metode pengendapan basah. *UNESA Journal of Chemistry*, 6(3), 143-49.
- Warastuti, Y., & Abbas, B. (2011). Sintesis dan karakterisasi pasta injectable bone substitute Iradiasi berbasis hidroksiapatit. *A Scientific Journal for The Applications of isotopes and Radiation*, 7(2), 73-82.
- Yang, Y., Wu, Q., Wang, M., Long, J., Mao, Z., & Chen, X. (2014). Hydrothermal synthesis of hydroxyapatite with different morphologies: influence of supersaturation of the reaction system. *Crystal Growth & Design*, 14(9). doi: 10.1021/cg501063j